



รายงานวิจัยฉบับสมบูรณ์

เรื่อง การเพิ่มประสิทธิภาพการทำความเย็นของท่อใต้ดินที่ใช้ในโรงเรือนเกษตรโดยวิธีเพิ่มความชื้นในดิน

Enhancement the cooling performance of earth tube system in agricultural greenhouse by increasing soil moisture

ได้รับการจัดสรรงบประมาณวิจัย

ประจำปี 2557

จำนวน 50,000 บาท

หัวหน้าโครงการ

ผู้ร่วมโครงการ

นางสาวสุกัญญา มงคล

นายstrarawut พลวงษ์ศรี

งานวิจัยเสร็จลืนสมบูรณ์

30 เมษายน 2558

กิตติกรรมประกาศ

ข้าพเจ้าขอขอบคุณสำนักวิจัยและส่งเสริมวิชาการเกย์ตร มหาวิทยาลัยแม่โจ้ ที่สนับสนุน
ทุนวิจัยประจำปีงบประมาณ 2557 ทำให้โครงการเพิ่มประสิทธิภาพการทำความเข้าใจใน
ดินที่ใช้ในโรงเรือนเกษตร โดยวิธีเพิ่มความชื้นในดินให้สำเร็จลุล่วง ขอขอบคุณผู้อำนวยการ
วิทยาลัยพัฒนาคนทดแทน ที่ให้ความอนุเคราะห์ใช้สถานที่ในวิทยาลัยพัฒนาคนทดแทน มหาวิทยาลัย
แม่โจ้ในการทำวิจัย และขอขอบคุณคณาจารย์ บุคลากร และนักศึกษาวิทยาลัยพัฒนาคนทดแทนทุก
ท่าน ที่มีส่วนช่วยเหลือในงานวิจัยให้สำเร็จลุล่วงมา ณ ที่นี่

สุลักษณา มงคล และสาวุช พลวงษ์หรี

สารบัญ

หน้า

สารบัญตาราง

ค

สารบัญภาพ

ง

บทคัดย่อ

น

Abstract

ช

คำนำ

1

วัตถุประสงค์ของการวิจัย

2

ประโยชน์ที่คาดว่าจะได้รับ

2

การตรวจเอกสาร

3

อุปกรณ์และวิธีการ

20

ผลการวิจัย

27

วิจารณ์ผลการวิจัย

47

สรุปผลการวิจัย

50

เอกสารอ้างอิง

51

ภาคผนวก

53

สารบัญตาราง

หน้า

ตารางที่ 1 จำแนกคิดตามส่วนประกอบเป็นปอร์เซนต์ตามน้ำหนักอันภาคของคิน	5
ตารางที่ 2 ค่าความถ่วงจำเพาะของคินชนิดต่างๆ	8
ตารางที่ 3 สมบัติของคิน ณ บริเวณทำการทดลอง	23
ตารางที่ 4 อุปกรณ์และเครื่องมือที่ใช้	25
ตารางที่ 5 ความเร็วของอากาศในห้องใต้ดินจากการปฏิวัต์ที่มูนต่างๆ	27
ตารางที่ 6 เมริยบเทียบความเร็วของอากาศต่างๆ เพื่อนำมาใช้กับระบบห้องใต้ดิน	33
ตารางที่ 7 ความชื้นของคินในกรณีดินมีความชื้นน้อยที่สุด	36
ตารางที่ 8 ความชื้นของคินในกรณีดินมีความชื้นปานกลาง	37
ตารางที่ 9 ความชื้นของคินใน กรณีดินมีความชื้นมากที่สุด	38
ตารางที่ 10 ค่าอุณหภูมิอากาศในการทดสอบกรณีความชื้นคินต่างๆ	42

สารบัญภาพ

หน้า

ภาพที่ 1 องค์ประกอบของดิน	3
ภาพที่ 2 สัดส่วนการกระจายตัวของอุณหภูดิน	4
ภาพที่ 3 การเปลี่ยนแปลงอุณหภูมิที่ความลึกต่างๆ ในช่วง 1 วัน	10
ภาพที่ 4 ท่อได้ดินแบบระบบเปิด (Open loop mode)	11
ภาพที่ 5 ท่อได้ดินแบบระบบปิด (Closed loop)	12
ภาพที่ 6 กระบวนการแลกเปลี่ยนความร้อนของท่อได้ดินเมื่อเพิ่มความชื้น ให้กับดินบริเวณรอบท่อ	13
ภาพที่ 7 การใช้ระบบท่อได้ดินทำความเย็นในโรงเรือนของ Mongkon et al. (2013)	15
ภาพที่ 8 ผลการเปลี่ยนแปลงอุณหภูมิในโรงเรือนที่มีการผึ้งท่อได้ดินในดินที่ต่างชนิดกัน ของ Glosal and Tiwari (2006)	16
ภาพที่ 9 โรงเรือนเกษตรที่ใช้ระบบทำความเย็นท่อได้ดินของ Tiwari et al. (2006)	16
ภาพที่ 10 ผลการเปลี่ยนแปลงความชุความร้อนจำเพาะและค่าการแพร่ความร้อนของดิน ในงานวิจัยของ Abu-Hamdeh (2003)	17
ภาพที่ 11 ความสัมพันธ์ระหว่างอุณหภูมิดินและความชุความร้อนจำเพาะของดิน ที่ระดับความลึกต่างๆ ในงานวิจัยของ Poulovassilis et al. (1998)	18
ภาพที่ 12 ประสิทธิภาพสมรรถนะของระบบ (COP) กับความเร็วอากาศ งานวิจัยของ Dubey et al. (2013)	19
ภาพที่ 13 ชุดทดสอบ U-tube heat exchanger	21
ภาพที่ 14 อุปกรณ์สำหรับ测量ความหนาแน่นและความชื้นของดิน	22
ภาพที่ 15 จุดวัดอุณหภูมิบริเวณต่างๆ ของท่อ	24
ภาพที่ 16 ขั้นตอนการทดลอง	26
ภาพที่ 17 สมมประสิทธิ์การพาความร้อนในท่อได้ดิน ณ ความเร็วต่างๆ	28
ภาพที่ 18 อุณหภูมิอากาศในท่อได้ดิน ณ ความลึก 1 m กรณีหากความเร็วอากาศที่เหมาะสม	30
ภาพที่ 19 อุณหภูมิอากาศในท่อได้ดิน กรณีหากความเร็วอากาศที่เหมาะสม	32
ภาพที่ 20 อุณหภูมิอากาศที่ให้หลักเข้าและออกท่อได้ดิน กรณีหากความเร็วอากาศที่เหมาะสม	35
ภาพที่ 21 อุณหภูมิดินในกรณีที่ดินมีความชื้นต่างๆ	39
ภาพที่ 22 อุณหภูมิอากาศที่ให้หลักเข้าและให้หลอกจากท่อ ในกรณีที่ดินมีความชื้นต่างๆ	41
ภาพที่ 23 ความร้อนที่ถ่ายเทสู่ดิน ในกรณีที่ดินมีความชื้นต่างๆ	44

สารบัญภาพ (ต่อ)

หน้า

ภาพที่ 24 สัมประสิทธิ์สมรรถนะของระบบห่อได้ดีน ในการนีกีดินมีความซึ้งต่างๆ	45
ภาพที่ 25 ผลต่างอุณหภูมิของอากาศที่ไหล่เข้าห่อและผิวห่อเทียบกับผลต่างอุณหภูมิของอากาศที่ไหล่ออกจากห่อและผิวห่อ การนีกีดินมีความซึ้งต่างๆ	48

การเพิ่มประสิทธิภาพการทำความเย็นของท่อไ媳ในโรงเรือนเกษตร
โดยวิธีเพิ่มความชื้นในดิน

Enhancement the cooling performance of earth tube system in agricultural greenhouse
by increasing soil moisture

สุลักษณา มงคล และสารวุฒิ พลวงศ์ศรี

Sulaksana Mongkon and Sarawut Polvongsri

วิทยาลัยพลังงานทดแทน มหาวิทยาลัยแม่โจ้ จ.เชียงใหม่ 50290

บทคัดย่อ

งานวิจัยนี้มีจุดนุ่งหมายศึกษาความเป็นไปได้ของการเพิ่มประสิทธิภาพการทำความเย็นโดยใช้ท่อไ媳เพื่อการประยุกต์ใช้ในโรงเรือนเกษตร โดยใช้วิธีเพิ่มความชื้นให้แก่ดิน ท่อไ媳ที่ศึกษาเป็นท่อไ媳แบบตัวยู (U-tube heat exchanger) ทำจากท่อพลาสติกโพลีไวนิลคลอริด (PVC) เส้นผ่านศูนย์กลาง 0.08 m ความยาว 12.5 m ฝั่งไ媳ดิน ณ ความลึก 1 m ทดสอบ ณ วิทยาลัยพลังงานทดแทน มหาวิทยาลัยแม่โจ้ การทดสอบกระทำภายใต้สภาวะอากาศร้อนชื้นในฤดูฝนทางภาคเหนือของประเทศไทย

จากการศึกษาพบว่า ท่อไ媳แบบตัวยูสามารถลดอุณหภูมิอากาศและทำความเย็นได้เฉพาะช่วงเวลากลางวันที่มีอุณหภูมิอากาศที่ไหล่เข้าท่อค่อนข้างสูง โดยท่อไ媳ที่ทดสอบสามารถทำงานได้ตั้งแต่เวลา 9.00-15.00 น. ทั้งนี้ความสามารถในการลดอุณหภูมิของท่อไ媳จะขึ้นอยู่กับอุณหภูมิแวดล้อมซึ่งได้รับผลจากค่ารังสีอาทิตย์ สำหรับการวิเคราะห์หาค่ามุมการเปิด瓦ล์วที่เหมาะสม พบว่า ค่ามุมวาล์วน้อยจะสามารถลดอุณหภูมิได้ดีกว่าค่ามุมที่กว้างกว่า และการเปิดมุมวาล์วที่ 45° จะสามารถลดอุณหภูมิของอากาศที่ไหล่ผ่านท่อได้มากที่สุด จากนั้นจึงทำการทดสอบสมรรถนะการทำความเย็นที่เงื่อนไขความชื้นดินต่างๆ กัน พบว่า หากความชื้นดินมากจะสามารถลดอุณหภูมิดินได้ไม่เกิน 1 °C และมีผลต่อการเพิ่มสัมประสิทธิ์สมรรถนะการทำความเย็นหรือค่า COP น้อยเมื่อเปรียบเทียบผลที่เกิดจากการเพิ่มผลต่างอุณหภูมิอากาศที่ไหล่เข้าท่อ กับอุณหภูมิดินซึ่งกรณีดินที่มีความชื้นน้อยจะให้สมรรถนะการทำความเย็นของระบบมากกว่าดินที่มีความชื้นมาก

คำสำคัญ: ระบบท่อไ媳/ท่อไ媳แบบตัวยู/โรงเรือนเกษตร/ความชื้นในดิน

Abstract

This research proposes to study the cooling possibility of earth tube system (ETS) by increasing soil moisture for the agricultural greenhouse application. The study was undertaken during the raining season of northern Thailand. The type of ETS was the U-tube heat exchanger that made from polyvinylchloride (PVC). The tube diameter and length were 0.08 m and 12.5 m, respectively embedded horizontally at a depth of 1 m at School of Renewable Energy, Maejo University.

The results found that the air temperature would be cooled only during daytime which had a relatively high temperature of inlet air. The U-tube heat exchanger could operate in cooling mode from 9 a.m. to 3 p.m. The ability of air temperature reducing was depends on the ambient temperature which was affected by solar radiation. The valve opening considering for airflow control into the U-tube heat exchanger showed that the less angles could reduce air temperature better than the wide angle. The suitable angle of valve opening was 45° which the blower temperature was increased in the acceptable range. For the performance study of various soil moistures, the performance of U-tube heat exchanger at the highest moisture could slightly reduce soil temperature not exceed 1 °C and had a few effect of COP. While the temperature difference between inlet air and 1 m depth of soil had more resulted than soil moisture variation. The COP of lowest soil moisture showed be the greater than other conditions.

Keywords: Earth tube system/U-tube heat exchanger/Agricultural greenhouse/Soil moisture

คำนำ

การทำความเย็นโดยใช้ท่อใต้ดิน (Earth tube cooling system) เป็นการทำความเย็นโดยวิธีธรรมชาติ (Passive cooling) ประเภทหนึ่งซึ่งใช้พลังงานน้อยและไม่ทำลายสิ่งแวดล้อม โดยธรรมชาติของดินมี Thermal mass ที่สะสมพลังงานได้มากและมีอุณหภูมิคงที่ ในภูมิอากาศแบบเบตเตอรอนอย่างเช่นประเทศไทย ในช่วงเวลากลางวันอุณหภูมิของดินที่ระดับความลึกต่างๆ จะมีค่าต่ำกว่าอุณหภูมิบรรยายอากาศแวดล้อม ดังนั้นจึงสามารถใช้ดินเป็นแหล่งดูดกลืนความร้อน (Heat sink) ได้เป็นอย่างดี การนำประโยชน์จากดินมาใช้ทำความเย็นในโรงเรือนเกย์ตรีมีอย่างหลากหลายเช่นสามารถออกแบบระบบให้ใช้งานได้ง่ายโดยอาศัยหลักการการแลกเปลี่ยนความร้อน (Heat exchanger) ระหว่างผนังห้องที่ฝังลงใต้ดิน (Earth tubes) และอากาศร้อนที่ไหลผ่านท่อ (Working fluid) ซึ่งเคลื่อนที่โดยใช้พัดลมดูดอากาศจากในโรงเรือนเคลื่อนที่ผ่านท่อใต้ดิน จะได้อากาศที่มีอุณหภูมิต่ำกว่าอากาศที่ไหลเข้าสู่ห้อง และสามารถนำอากาศเย็นหรือลมเย็นนี้ไปใช้ลดอุณหภูมิอากาศในโรงเรือนได้ การศึกษาการใช้งานของห้องใต้ดินในโรงเรือนเกย์ตรีมีอย่างแพร่หลายทั่วในต่างประเทศและในประเทศไทย สำหรับการศึกษาในประเทศไทยนั้น Mongkon *et al.* (2013) และ Mongkon *et al.* (2014) พบว่า การใช้ห้องใต้ดินทำความเย็นในโรงเรือนสามารถลดอุณหภูมิในโรงเรือนได้ดีในระดับหนึ่งและเมื่อนำไปประยุกต์ใช้กับพืชที่ปลูกในโรงเรือนจะให้ผลดีกว่ากุณภาพของพืชที่ปลูกในโรงเรือนที่ไม่มีการทำความเย็น อย่างไรก็ตามความร้อนจากการรังสีอาทิตย์ที่เข้าสู่โรงเรือนมีค่าสูงมาก จึงทำให้ผลต่างอุณหภูมิในโรงเรือนที่ลดลงได้มีค่าน้อยกว่าการใช้ห้องใต้ดินในเขตภูมิอากาศแบบอื่น เช่น เขตตอนอุ่น หรือเขตหนาว เมื่อทำการประเมินค่าสัมประสิทธิ์สมรรถนะของระบบ (Coefficient of performance) ห้องใต้ดินที่นำมาใช้งานพบว่า มีค่าต่ำกว่าสัมประสิทธิ์สมรรถนะของเครื่องปรับอากาศโดยคิดเป็น 74.74 % จึงจำเป็นต้องหาวิธีการเพิ่มประสิทธิภาพการแลกเปลี่ยนความร้อนของห้องใต้ดินขึ้น (Mongkon *et al.*, 2013)

อีกปัจจัยหนึ่งที่นำมาพิจารณาในการศึกษานี้ คือ การพิจารณาสมบัติทางฟิสิกส์ของดิน ซึ่งดินในแต่ละแห่งแต่ละสถานที่ย่อมมีสมบัติทางฟิสิกส์ที่แตกต่างกันและส่งผลต่อการถ่ายเทความร้อนระหว่างดินกับห้องใต้ดินโดยตรง ความชื้นในดินเป็นสมบัติทางฟิสิกส์ของดินสมบัตินี้ที่ค่อนข้างมีผลต่อสมบัติทางความร้อนของดินหลายตัวแปร ได้แก่ ค่าการนำความร้อน (Thermal conductivity) และค่าจุลความร้อนโดยปริมาตร (Volumetric specific heat) สมบัติทางความร้อนต่างๆ จะมีค่าเพิ่มขึ้นเมื่อดินมีความชื้นมากขึ้น และมีค่าลดลงในดินที่เป็นดินแห้ง นอกจากนี้เมื่อพิจารณาในชั้นหน้าตัดดินตามธรรมชาติ ความชื้นในดินจะมีผลต่อการเปลี่ยนแปลงของอุณหภูมิในด้านของการเพิ่มความต่อเนื่องในการถ่ายเทความร้อน เพิ่มพื้นที่ในการนำความร้อนภายในชั้นหน้าตัดดิน

และยังสามารถรักษาเสถียรภาพการเปลี่ยนแปลงอุณหภูมิดิน ได้ดีโดยเฉพาะเมื่อдинอื่นอีกตัวไปด้วยน้ำ (Miller and Donahue, 1995), (Smith and Mullins, 2001)

จากประโยชน์ของการใช้ท่อใต้ดินในการทำความเย็นในโรงเรือนเกยตร และประโยชน์ของความชื้นที่มีต่อสมบัติทางความร้อนของดิน จึงมีความสนใจที่จะทำการศึกษาและหาแนวทางการเพิ่มประสิทธิภาพการถ่ายเทความร้อนของท่อใต้ดิน โดยเพิ่มความชื้นให้แก่ดินบริเวณที่มีการฝังท่อ ซึ่งการศึกษาจะกระทำภายใต้ชุดทดสอบท่อใต้ดินแบบตัวยู หรือ U-tube heat exchanger ภายใต้ภูมิอากาศของจังหวัดเชียงใหม่

วัตถุประสงค์ของการวิจัย

1. เพื่อหาแนวทางการเพิ่มประสิทธิภาพการถ่ายเทความร้อนของท่อใต้ดินที่มีการประยุกต์ใช้ในโรงเรือนเกยตร โดยเลือกใช้วิธีเพิ่มความชื้นให้แก่ดิน
2. เพื่อพัฒนาแบบจำลองทางคณิตศาสตร์เพื่อวิเคราะห์ถึงการถ่ายเทความร้อนในท่อที่ทำการศึกษา และสามารถนำไปประยุกต์ใช้ได้กับท่อใต้ดินและโรงเรือนเกยตรที่ตั้งอยู่ในพื้นที่ต่างๆ ได้

ประโยชน์ที่คาดว่าจะได้รับ

จากการวัตถุประสงค์ของงานวิจัยที่ตั้งไว้ ผู้วิจัยคาดว่า ผลลัพธ์ของโครงการหลังการดำเนินเสร็จสิ้นจะก่อให้เกิดประโยชน์ดังนี้

1. ได้แนวทางเพื่อปรับปรุงประสิทธิภาพการทำความเย็นโดยใช้ท่อใต้ดินให้ดีขึ้น และสามารถนำไปแก้ไขปัญหาเมื่อนำท่อใต้ดินไปใช้งานจริงในโรงเรือนเกยตร หรือสามารถนำไปประยุกต์ใช้ในอาคารได้
2. สามารถดึงศักยภาพการความเย็นจากดินมาใช้ให้เกิดประโยชน์มากขึ้น เนื่องจากดินเป็นแหล่งรับความร้อนที่มีศักยภาพสูง
3. พัฒนาและต่อยอดงานวิจัยด้านพลังงานทดแทนเนื่องจากการใช้พลังงานจากดินถือเป็นพลังงานทางเลือกอย่างหนึ่ง
4. เมยแพร่ผลงานวิจัยในการสำรวจสารวิชาการ งานประชุมวิชาการ และบทความทั่วไป เพื่อนำไปใช้ประโยชน์สำหรับเกยตรกร นักวิชาการ หรือผู้ที่สนใจต่อไป

การตรวจเอกสาร

ทฤษฎีที่เกี่ยวข้อง

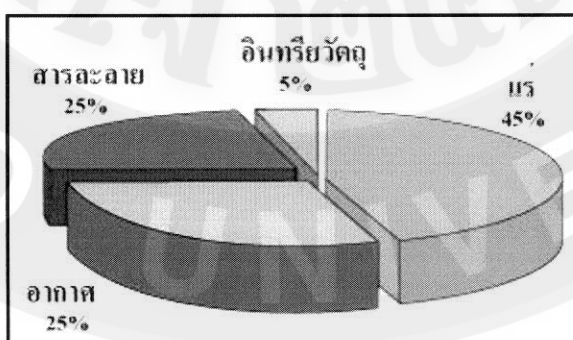
ในหัวข้อนี้จะกล่าวถึงทฤษฎีที่เกี่ยวข้องกับงานวิจัย ซึ่งเกี่ยวข้องดิน และคุณสมบัติของดิน เช่น ความชื้นในดิน สมบัติทางความร้อนของดิน อุณหภูมิดิน และประสิทธิภาพการทำความเย็นในเทอมของค่าสัมประสิทธิ์สมรรถนะดิน ดังต่อไปนี้

1. ดิน

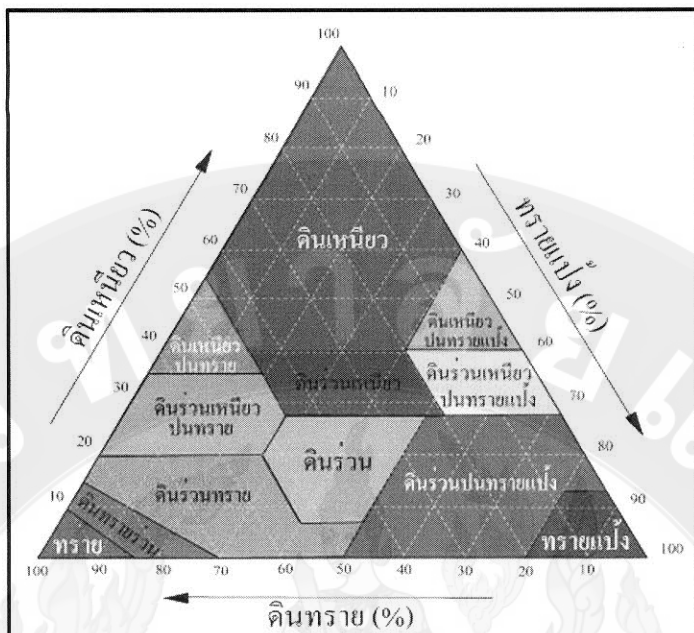
ดิน (Soil) คือ วัตถุธรรมชาติที่ประกอบด้วยหินและแร่ และอินทรีย์วัตถุสมศักดิ์ที่มีส่วนประกอบดังนี้ (วัฒนา และวินิต, 2532)

1. อินทรีย์วัตถุ (Mineral matter) ได้แก่ ส่วนของแร่ต่างๆ ภายในหินซึ่งผุพังสึกกร่อน เป็นชิ้นเล็กชิ้นน้อย โดยทางเคมี พลิกส์ และชีวเคมี
2. อินทรีย์วัตถุ (Organic matter) ได้แก่ ส่วนที่เกิดจากการเน่าเปื่อยผุพังหรือถลายตัวของชากพืชจากสัตว์ที่ทับถมกัน มีอยู่ประมาณ
3. น้ำหรือสารละลาย ซึ่งพบอยู่ในช่องระหว่างเม็ดดิน (Aggregate) หรืออนุภาคดิน (Particle)
4. อยู่ในที่ว่างระหว่างเม็ดดินหรืออนุภาคดิน ก้าชส่วนใหญ่ที่พบทั่วไปในดิน ได้แก่ ในโครงสร้าง ออกซิเจน และคาร์บอน ไนโตรเจน

ปริมาตรของแต่ละส่วนประกอบของดิน โดยทั่วไปจะมีแร่ 45 % อินทรีย์วัตถุ 5 % น้ำ 25 % และอากาศ 25 % ดังแสดงในภาพที่ 1



ภาพที่ 1 องค์ประกอบของดิน



ภาพที่ 2 สัดส่วนการกระจายตัวของอนุภาคดิน

ในภาพที่ 2 สามารถจำแนกประเภทของดินได้จากสัดส่วนของอนุภาคต่างๆ ซึ่งปกติจะแบ่งดินออกเป็น 3 ประเภท ได้แก่ (วัฒนา และ วนิต, 2532)

1. ดินหนึ่งวัน เป็นดินที่มีเนื้อละเอียด ในสภาพดินแห้งจะแตกออกเป็นก้อนแข็งมาก เมื่อเปียกน้ำแล้วจะมีความยืดหยุ่น สามารถบี้นเป็นก้อนหรือคลึงเป็นเส้นยาวได้ เหนียวเหนอะหนะติดมือ เป็นดินที่มีการระบายน้ำและอากาศไม่ดี

2. ดินร่วน เป็นดินที่เนื้อดินค่อนข้างละเอียดนุ่มนือในสภาพดินแห้งจะจับกันเป็นก้อนแข็งพอประมาณ ในสภาพดินชื้นจะยืดหยุ่นได้บ้าง เมื่อสัมผัสรหรือคลึงดินจะรู้สึกนุ่มนือแต่อาจจะรู้สึกหากมืออยู่นานเล็ก น้อย เมื่อกำdinให้แน่นในฝ่ามือแล้วคลายมือออก ดินจะจับกันเป็นก้อนไม่แตกออกจากกัน เป็นดินที่มีการระบายน้ำได้ปานกลาง

3. ดินราย เป็นดินที่มีอนุภาคขนาดใหญ่เป็นองค์ประกอบอยู่มากกว่า 85 % เนื้อดินมีการเกาะตัวกันหลวมๆ มองเห็นเป็นเม็ดเดียวๆ ได้ ถ้าสัมผัสดินที่อยู่ในสภาพแห้งจะรู้สึกหากมือเมื่อลองกำdinที่แห้งนี้ไว้ในอุ่น มือแล้วคลายมือออกdin ก็จะแตกออกจากกันได้ แต่ถ้ากำdinที่อยู่ในสภาพชื้นจะสามารถทำให้เป็นก้อนหลวมๆ ได้ แต่พอสัมผัสดังแตกออกจากกันทันที ดินรายเป็นดินที่มีการระบายน้ำและอากาศดีมาก มีความสามารถในการอุ่นน้ำต่อ

นักปรัชพิทยาแบ่งดินออกเป็น 12 ชนิด โดยการศึกษาสัดส่วนการกระจายอนุภาคของดิน ตามรูปที่ 2.2 เช่น ดินรายร่วนประกอบด้วยอนุภาคราย 80 %, อนุภาครายเป็น 10 %, อนุภาคดินหนึ่งวัน 10 %, ดินร่วนประกอบด้วยอนุภาคราย 40 %, อนุภาครายเป็น 40 %, อนุภาคดิน

เหนีyaw 20 % และ ดินเหนีyawประกอบด้วยอนุภาคทราย 20 %, อนุภาคทรายแป้ง 20 %, อนุภาคดินเหนี 60 % เป็นต้น การจำแนกดิน ช่วยให้ทราบถึงลักษณะของดินแต่ละประเภท ได้แก่ ความสามารถในการกักเก็บน้ำ และการถ่ายเทพลังงานความร้อน ซึ่งสามารถนำไปใช้ประโยชน์ในทางเกษตรกรรม และวิศวกรรมได้ (วัฒนา และ วนิต, 2532)

จากภาพที่ 2 สัดส่วนการกระจายตัวของอนุภาคดิน เพื่อให้เข้าใจได้ง่ายยิ่งขึ้น สามารถดูจากตารางที่ 1

ตารางที่ 1 จำแนกดินตามส่วนประกอบเป็นแปอร์เซ็นต์ตามน้ำหนักอนุภาคของดิน (ส่งฯ, 2541)

ชื่อดิน	ส่วนประกอบเป็นแปอร์เซ็นต์โดยน้ำหนัก		
	ทราย	ทรายแป้ง	ดินเหนีyaw
ดินทราย	85-100	0-15	0-10
ดินทรายปนร่วน	70-100	0-30	10-15
ดินร่วนปนทราย	50-100	0-50	15-20
ดินร่วน	50-72	28-50	48-75
ดินร่วนปนทรายแป้ง	10-50	73-88	50-100
ดินร่วนเหนีyawปนทราย	45-80	0-28	20-55
ดินร่วนปนเหนีyaw	20-45	16-53	28-40
ดินร่วนเหนีyawปนทรายแป้ง	0-20	40-73	28-40
ดินทรายแป้ง	0-20	80-100	0-12
ดินเหนีyawปนทราย	35-55	0-20	35-55
ดินเหนีyawปนทรายแป้ง	0-20	40-60	40-60
ดินเหนีyaw	55-100	0-40	40-100

2. สมบัติของดิน

สมบัติของดินจะมีผลกระทบทางตรงและทางอ้อมต่ออุณหภูมิดินที่ความลึกต่างๆ ดินในแต่ละแห่งอาจมีความแตกต่างขององค์ประกอบในดินแต่ละชั้น เช่น สัดส่วนของเนื้อดินที่แตกต่างกัน สัดส่วนของสารอินทรีย์ และสารอนินทรีย์ต่างๆ ทำให้สมบัติของดินเปลี่ยนไป ในที่นี้ สมบัติของดินที่ทำการรวมเป็นสมบัติทางฟิสิกส์ของดิน (Physical properties of soil) หรืออาจเรียกว่าเป็นสมบัติเชิงวิศวกรรม (Engineering properties) ประกอบด้วย คุณสมบัติด้านปริมาตร สมบัติด้านน้ำหนัก คุณสมบัติด้านความถ่วงจำเพาะ และ ความหนาแน่นของดิน (ชูศักดิ์, 2554), (ส่งฯ, 2549)

สมบัติทางด้านปริมาตร

ปริมาตรของคิน โดยแท้จริงแล้ว ไม่ว่าคินจะอยู่ในสภาพธรรมชาติ แห้ง หรืออืดตัว ปริมาตรส่วนที่เป็นของแข็งมักจะมีช่องว่างเล็กปракถูญ์เสมอไม่ใช่ของแข็ง 100% คุณสมบัติที่สำคัญทางด้านปริมาตรมีดังนี้

ก. อัตราส่วนช่องว่าง (Void ratio) คือ อัตราส่วนของปริมาตรห้องหมดของช่องว่างระหว่างเม็ดคินต่อปริมาตรห้องหมดของเม็ดคินดังสมการที่ 1

$$e = \frac{V_v}{V_s} \quad (1)$$

ข. ความพรุน (Porosity) คือ อัตราส่วนของปริมาตรห้องหมดของช่องว่างระหว่างเม็ดคินต่อปริมาตรห้องเนื้อดิน ดังสมการที่ 2

$$n = \frac{V_v}{V} \quad (2)$$

ค. ระดับความอืดตัว (Degree of saturation) คือ อัตราส่วนของปริมาตรของน้ำในช่องว่างระหว่างเม็ดคินต่อปริมาตรห้องหมดของช่องว่างระหว่างเม็ดคินในเนื้อดิน ดังสมการที่ 3

$$S_r = \frac{V_w}{V_v} \quad (3)$$

ง. ปริมาณอากาศ (Air content) อัตราส่วนของปริมาณอากาศในช่องว่างระหว่างเม็ดคินต่อปริมาตรห้องเนื้อดิน ดังสมการที่ 4

$$A = \frac{V_a}{V} \quad (4)$$

จ. เปอร์เซ็นต์อากาศในช่องว่าง (Percent air void) คือ อัตราส่วนของปริมาณอากาศในช่องว่างระหว่างเม็ดคินต่อปริมาตรห้องหมดของช่องว่างระหว่างเม็ดคินในเนื้อดิน ดังสมการที่ 5

$$A_c = \frac{V_a}{V_v} \quad (5)$$

โดยที่	e	คือ อัตราส่วนช่องว่าง
	n	คือ ความพรุนของคิน
	S _r	คือ ระดับความอืดตัวของดิน

A	คือ ปริมาณของอากาศ
A_c	คือ เปอร์เซ็นต์อากาศในช่องว่าง
V	คือ ปริมาตรเนื้อดิน (m^3)
V_w	คือ ปริมาตรน้ำ (m^3)
V_v	คือ ปริมาตรของช่องว่าง (m^3)
V_s	คือ ปริมาตรเม็ดดิน (m^3)
V_a	คือ ปริมาณอากาศในช่องว่าง (m^3)

สมบัติทางด้านน้ำหนัก

ความชื้นของดิน คือ สัดส่วนระหว่างปริมาณของน้ำกับดินที่น้ำนั้นบรรจุอยู่ น้ำในดินอาจอยู่ในรูปของเหลวหรือไอ้น้ำและถูกคิดเป็นอยู่ในรูปของพิล์มน้ำๆ ความชื้นโดยมวลหาได้จากสมการที่ 6 (ส.ง. 2549) เป็นสมการหาความชื้นดินแบบมาตรฐานแห้ง (Dry basis)

$$\theta_m = m_w/m_s \quad (6)$$

โดยที่	θ_m	คือ ระดับความชื้นโดยมวล
	m_w	คือ มวลของน้ำในดิน (kg)
	m_s	คือ มวลของดินแห้งสนิท ที่ผ่านการอบแห้งในเตาอบที่อุณหภูมิ $100-110^\circ C$ จนมีมวลคงที่ (kg)

สำหรับระดับความชื้นโดยปริมาตรหาได้จากสมการที่ 7

$$\theta_v = V_w/V_b \quad (7)$$

โดยที่	θ_v	คือ ระดับความชื้นโดยปริมาตร
	V_w	คือ ปริมาตรของน้ำในดิน (m^3)
	V_b	คือ ปริมาตรรวมของดิน (m^3)

สมบัติด้านความถ่วงจำเพาะ

ค่าความถ่วงจำเพาะของเม็ดดินของมวลดินใดๆ ก็ตามถือว่าเป็นค่าเฉลี่ยของความถ่วงจำเพาะของมวลดินนั้น ซึ่งค่าความถ่วงจำเพาะของมวลดินมีความสำคัญต่อการหาคุณสมบัติอย่างอื่นของดิน ค่าความถ่วงจำเพาะของเม็ดดินหาได้จากการนำค่าน้ำหนักของเม็ดดินแห้งมา

เปรียบเทียบกับน้ำหนักน้ำที่อุณหภูมิ 4°C และมีปริมาตรเท่ากับปริมาตรของเม็ดดินแห้งดังสมการที่ 8 (ส.จ.า, 2549)

$$G_s = \frac{W_s}{V_s \gamma_w} = \frac{\gamma_d}{\gamma_w} \quad (8)$$

โดยที่ G_s คือ ความถ่วงจำเพาะของดิน
 V_s คือ ปริมาตรเม็ดดิน (m^3)

ตารางที่ 2 ค่าความถ่วงจำเพาะของดินชนิดต่างๆ (มา乍, 2535)

ชนิดของดิน	ความถ่วงจำเพาะ (G_s), (ไม่มีหน่วย)
ทรายแร่ควอตซ์ (Quartz Sand)	2.64 – 2.66
ดินตะกอน/ตะกอนทราย (Silt)	2.67 – 2.73
ดินเหนียว (Clay)	2.70 – 2.90
ดินชอล์ก (Chalk)	2.60 – 2.75
ดินลมทอป (Loess)	2.65 – 2.73
ดินพีท (Peat)	1.30 – 1.90

ความหนาแน่นของดิน

เป็นอัตราส่วนของน้ำหนักของเนื้อดินต่อปริมาตรของเนื้อดินนั้น จะขึ้นอยู่กับสภาพต่างๆ ของมวลดิน เช่น แห้ง อิ่มตัว หรือไขมัน ซึ่งความหนาแน่นแต่ละแบบหากัดงี้

ก. ความหนาแน่นรวมของดิน คือ มวลของเนื้อดินต่อปริมาตรของเนื้อดิน ดังสมการที่ 9

$$\rho = \frac{G_s + S_r e}{1 + e} \quad (9)$$

ข. ความหนาแน่นอิ่มตัวของดิน คือ ความสัมพันธ์ระหว่างความหนาแน่นอิ่มตัวกับความหนาแน่นของน้ำกับอัตราส่วนของว่างและความถ่วงจำเพาะของเม็ดดินดังสมการที่ 10

$$\rho_{\text{sat}} = \frac{G_s + S_r e}{1 + e} \rho_w \quad (10)$$

ค. ความหนาแน่นของดินแห้ง คือ ความสัมพันธ์ระหว่างความหนาแน่นแห้งกับความหนาแน่นของน้ำกับอัตราส่วนของว่างและความถ่วงจำเพาะของเม็ดดินดังสมการที่ 11

$$\rho_d = \frac{G_s}{1+e} \rho_w \quad (11)$$

โดยที่

ρ คือ ความหนาแน่นรวมของดิน (kg/m^3)

ρ_{sat} คือ ความหนาแน่นอิ่มตัวของดิน (kg/m^3)

ρ_d คือ ความหนาแน่นของดินแห้ง (kg/m^3)

ความจุความร้อนเชิงปริมาตรของดิน

ความจุความร้อนจำเพาะ โดยปริมาตรของดินหาได้จากสมการความสัมพันธ์ระหว่างความหนาแน่นของอนุภาคของดินที่สัมพันธ์กับค่าความร้อนจำเพาะของน้ำ (Anderaland and Ladanyi, 2004)

$$C_v = \left(\frac{\rho_d}{\rho_w} \right) \left(0.17 + 1.0 \frac{W}{100} C_{vw} \right) \quad (12)$$

โดยที่

C_v = ค่าความจุความร้อนเชิงปริมาตรของดิน ($\text{J}/\text{m}^3\text{-K}$)

W = ค่าความชื้นดิน (%)

ρ_w = ความหนาแน่นของน้ำ (kg/m^3)

C_{vw} = ความจุความร้อนเชิงปริมาตรของน้ำในดิน ($\text{J}/\text{m}^3\text{-K}$)

ความการนำความร้อนของดิน

ค่าการนำความร้อนของดิน คือ ความร้อนที่ถูกส่งผ่านตัวกลางที่มีหน้าตัดหนึ่งหน่วยต่อหนึ่งเวลาและต่อหนึ่งหน่วยความชันของอุณหภูมิ การหาค่าการนำความร้อนของดินจะเกี่ยวข้องกับชนิดของเนื้อดินและแร่ธาตุที่อยู่ในดิน เช่นเดียวกับการหาค่าความจุความร้อน สำหรับการหาค่าการนำความร้อนของดินตามธรรมชาติโดยประเมินจากค่าความหนาแน่นของดิน และความชื้นภายในดินนั้นๆ (Anderaland and Ladanyi, 2004)

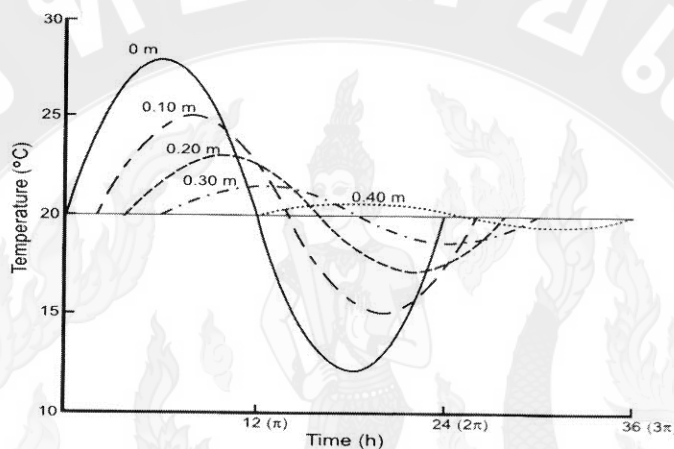
$$k = 0.1142 \left[(0.9 \log W - 0.2) * 10^{0.6243} * \frac{\rho_d}{1000} \right] \quad (13)$$

โดยที่

k คือ ค่าการนำความร้อนของดิน ($\text{W}/\text{m}\text{-K}$)

3. การเปลี่ยนแปลงอุณหภูมิในวัน

ลักษณะการเปลี่ยนแปลงอุณหภูมิจะอยู่ในแบบของ Sine wave ซึ่งในรอบหนึ่งวันนั้น อุณหภูมิอากาศแผลดีอมมีค่าการเปลี่ยนแปลงสูง แต่อุณหภูมิในดินจะมีการเปลี่ยนแปลงที่น้อยกว่า อุณหภูมิอากาศ และมีแนวโน้มลดลงตามระดับความลึกของดินเนื่องจากดินที่อยู่ลึกมากขึ้น เนื่องจากค่าแรงเฉื่อยทางความร้อน (Thermal inertia) ของดินสูงมากขึ้น ทำให้เกิด Time lag ของ อุณหภูมิในแต่ละชั้นดังภาพที่ 3



ภาพที่ 3 การเปลี่ยนแปลงอุณหภูมิที่ความลึกต่างๆ ในช่วง 1 วัน

เมื่อพิจารณาที่ผิวดิน ($z = 0$) จะสามารถหาอุณหภูมิผิวดินได้จากการสัมพันธ์ระหว่าง อุณหภูมิเฉลี่ยที่ผิวดินและค่า Amplitude โดยพิจารณาในรูปของ Harmonic of time ดังสมการที่ 14

$$T(0,t) = T_{ave} + A_o \sin \Omega t \quad (14)$$

โดยที่	$T(0,t)$	คือ อุณหภูมิที่ผิวดิน ($^{\circ}\text{C}$)
	T_{ave}	คือ อุณหภูมิเฉลี่ยที่ผิวดินรายปี ($^{\circ}\text{C}$)
	A_o	คือ Amplitude ของอุณหภูมิที่ผิวดิน ($^{\circ}\text{C}$)
	Ω	คือ $\frac{2\pi}{t}$ หรือ Radial frequency (Radian)

และเมื่อพิจารณาที่ความลึกใดๆ ของดิน จะสามารถหาอุณหภูมิในดินได้จากการที่ 15

$$T(z,t) = T_{ave} + A_o e^{-z/d} \sin (\Omega(t-\delta) - z/d - \phi) \quad (15)$$

โดยที่	d	คือ Damping depth (m)
	ϕ	คือ Phase constant (hr)

Damping depth เป็นความลึกของดินที่ค่า Amplitude ของอุณหภูมิดิน ณ ความลึกใดๆ มีค่าลดลงเป็นสัดส่วน $1/e = 1/2.718 = 0.37$ ของ Amplitude ของอุณหภูมิพิวดิน สามารถหาได้จากสมบัติทาง ความร้อนของดินและค่าความถี่จากการเปลี่ยนแปลงอุณหภูมิ

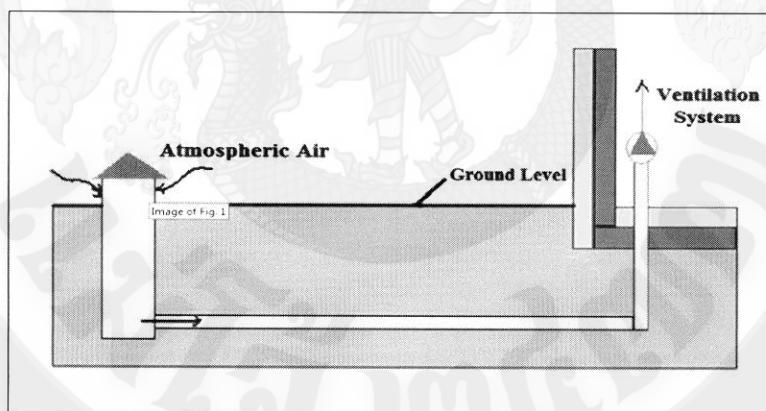
$$d = \sqrt{\frac{2k}{c_v \omega}} \quad (16)$$

4. การหาค่าสัมประสิทธิ์สมรรถนะของระบบ (Coefficient of performance: COP)

ระบบการทำความเย็นด้วยท่อใต้ดิน มีอยู่ 2 ระบบ คือ ระบบเปิด (Open loop) และระบบปิด (Closed loop)

1) ระบบเปิด (Open loop)

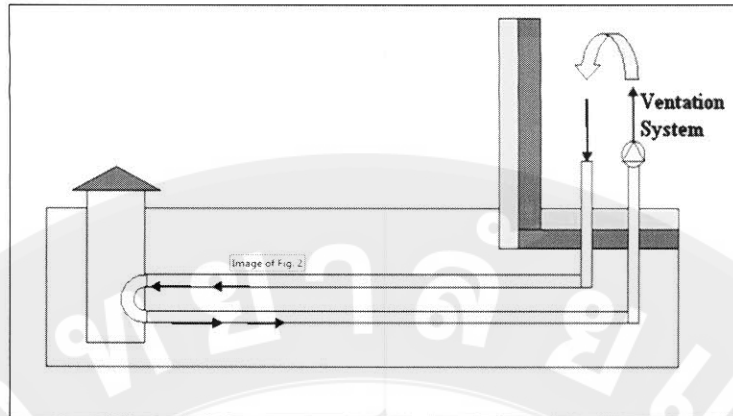
ระบบเปิด คือ การนำอากาศจากภายนอกอาคารมาทำความเย็นด้วยระบบท่อใต้ดินก่อนเข้าสู่อาคาร ระบบนี้เหมาะสมกับอาคารที่มีความต้องการอัตราการระบายอากาศ (Ventilation rate) สูง โดยระบบจะทำงานได้มีประสิทธิภาพดี เมื่อมีอุณหภูมิภายนอกต่ำกว่าอุณหภูมิภายในอาคาร [16]



ภาพที่ 4 ท่อใต้ดินแบบระบบเปิด (Open loop mode)

2) ระบบปิด (Closed loop)

ระบบปิด คือการนำอากาศภายในอาคารมาผ่านระบบท่อใต้ดิน อาคารที่ได้จะมีอุณหภูมิลดลงและนำกลับสู่อาคารอีกครั้ง เพื่อลดอุณหภูมิภายในห้อง ระบบนี้มักจะใช้กับกรณีที่อาคารภายนอกมีความร้อนแรง ต้องการควบคุมความชื้นสัมพัทธ์ภายในอาคาร หรือเป็นอาคารที่มีอัตราการระบายอากาศ (Ventilation rate) ต่ำ



ภาพที่ 5 ท่อไถดินแบบระบบปิด (Closed loop)

การหาประสิทธิภาพการทำงานท่อไถดินที่จะใช้เป็นชุดทดสอบต้นแบบ จะใช้วิธีหาค่าสัมประสิทธิ์สมรรถนะ (Coefficient of performance) หรือค่า COP โดยคำนวณและทำการวิเคราะห์เปรียบเทียบสมรรถนะการทำงานของระบบในกรณีการเพิ่มความชื้นให้กับดินในกรณีต่างๆ ค่า COP จะหาได้จากอัตราส่วนระหว่างค่าความร้อนที่ถ่ายเทผ่านท่อไถดินและกำลังของพัดลมดูด อาจกาศที่ใช้ดังสมการที่ 17 หาก COP มีค่ามาก นั่นหมายถึง ท่อไถดินมีประสิทธิภาพสูง (Tiwari, 2003)

$$COP = Q_t / W_b \quad (17)$$

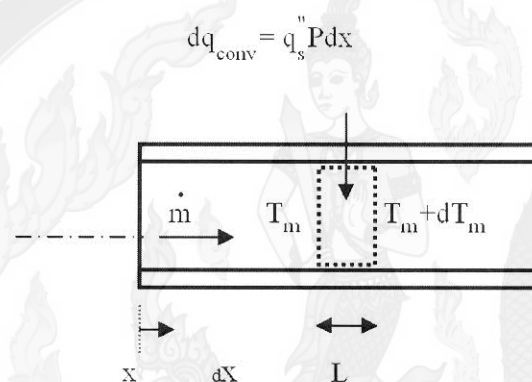
โดยที่ Q_t กือ พลังงานความร้อนที่ระบบสามารถทำได้ (W)
 W_b กือ กำลังของพัดลมดูดอากาศที่ใช้ (W)

สำหรับค่าความร้อนที่ถ่ายเทผ่านท่อไถดิน ศักยภาพจะขึ้นอยู่กับอุณหภูมิดินที่คงที่ อุณหภูมิของอากาศที่ไหลเข้าระบบและอุณหภูมิของท่อ ดังสมการที่ 18 ซึ่งการคำนวณในที่นี้สมมติให้ผนังท่อมีอุณหภูมิเท่ากับอุณหภูมิของดิน ณ ความลึกที่ทำการฝังท่อ (Tiwari, 2003)

$$q_t = \dot{m}_a C_p (T_{out} - T_{in}) \quad (18)$$

โดยที่ \dot{m}_a กือ อัตราการไหลโดยมวลของอากาศที่ไหลเข้าสู่ท่อ (kg/s)
 C_a กือ ความร้อนจำเพาะของอากาศ (J/kg-K)
 T_{out} กือ อุณหภูมิอากาศที่ไหลออกจากร่อ (K)
 T_{in} กือ อุณหภูมิอากาศที่ไหลเข้าสู่ท่อ (K)

จากภาพที่ 6 เมื่อพิจารณาอุณหภูมิที่ไหลออกจากท่อได้ดิน (T_{out}) จะขึ้นอยู่กับการพาร้อนร้อนระหว่างอากาศที่ไหลเข้าสู่ท่อ กับพิวท์ที่มีอุณหภูมิที่แตกต่างกัน การพาร้อนร้อนที่เกิดขึ้นจะเป็นการพาร้อนแบบบังคับ (Force convection) เนื่องจากใช้พัดลมดูดอากาศ (Blower) ในการกำหนดความเร็วของอากาศที่ไหลเข้าสู่ท่อ ในทอมของสัมประสิทธิ์การพาร้อน อัตราการถ่ายเทความร้อนจากที่ระยะ dx จะมีความสัมพันธ์กับการเปลี่ยนแปลงอุณหภูมิของอากาศที่ไหลเข้าและออกจากท่อ เช่นเดียวกับอัตราการถ่ายเทความร้อนจะสามารถหาได้จากฟลักซ์จากการพาร้อนที่เกิดขึ้นในท่อดังสมการที่ 19 (Tiwari, 2003), (Incropera et al., 2007)



ภาพที่ 6 กระบวนการแลกเปลี่ยนความร้อนของท่อได้ดินเมื่อเพิ่มความชื้นให้กับดินบริเวณรอบท่อ

$$dq_{conv} = \dot{m} c_p dT_m = q''_s P dx \quad (19)$$

โดย

q_{conv} คือ ความร้อนที่เกิดจากการพาร้อนในท่อ (W)

q''_s คือ พลักซ์ความร้อนที่เกิดขึ้นในท่อ (W/m^2)

T_m คือ อุณหภูมิเฉลี่ยของอากาศในท่อ (K)

P คือ พื้นที่หน้าตัดท่อ (m^2)

\dot{m} คือ อัตราการไหลโดยมวลของอากาศในท่อ (kg/s)

c_p คือ ความจุความร้อนของอากาศ ($\text{J}/\text{kg}\cdot\text{K}$)

เมื่อทำการแทนค่า $q''_s = h(T_s - T_m)$ จาก Newton's Law of cooling และจัดรูปสมการและอนทิเกรตของผลต่างอุณหภูมิตลอดความยาวท่อ จะได้สมการสำหรับคำนวณหาอุณหภูมิอากาศที่ไหลออกจากท่อดังสมการที่ 20

$$T_{\text{out}} = T_o - \left\{ \left(T_o - T_{\text{in}} \right) \left\{ \exp \left(- \frac{\pi D L}{m c_a} h_f \right) \right\} \right\} \quad (20)$$

โดยที่	T_o	คือ อุณหภูมิดิน ณ ความลึกที่พิจารณา (K)
	h_f	คือ ค่าสัมประสิทธิ์การพาความร้อนระหว่างของอากาศภายในท่อ (W/m ² -K)
	D	คือ เส้นผ่านศูนย์กลางท่อ (m)
	L	คือ ความยาวของท่อ (m)

สำหรับการหาสัมประสิทธิ์การพาความร้อนภายในท่อได้ดิน (h_f) นั้น เป็นการพาความร้อนแบบบังคับในท่อทรงกระบอก โดยการไหลแบบเต็มท่อ (Fully developed) สามารถหาได้จากสมการที่ 21 ถึงสมการที่ 23 (Incropera et al., 2007)

$$h_f = \frac{Nu_D \cdot k}{D} \quad (21)$$

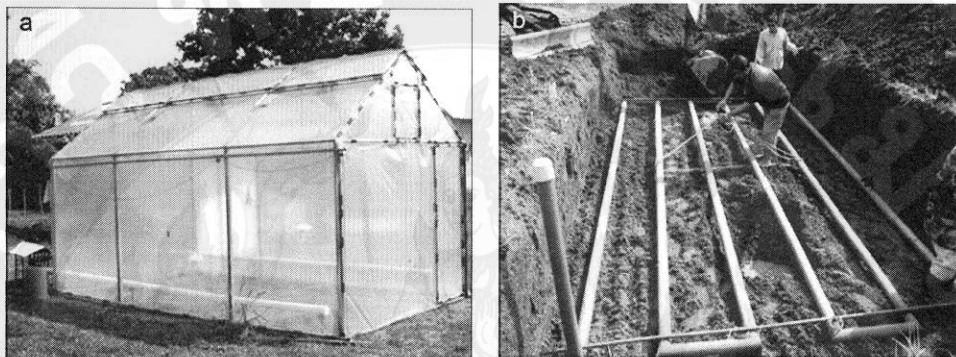
$$Nu_D = 0.023 Re_D^{4/5} Pr^{1/3} \quad (22)$$

$$Re_D = \frac{\rho v D}{\mu} \quad (23)$$

โดยที่	Nu_D	คือ Nusselt number (Dimensionless)
	Re_D	คือ Reynolds number (Dimensionless)
	v	คือ Air velocity (m ² /s)
	D	คือ Pipe diameter (m)

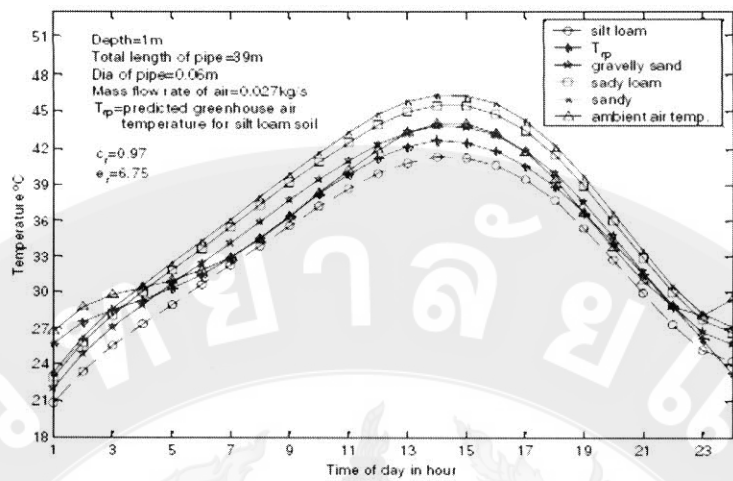
งานวิจัยที่เกี่ยวข้อง

สำหรับงานวิจัยที่เกี่ยวข้องกับการศึกษาครั้งนี้ ได้ทำการรวบรวมงานวิจัยจากต่างประเทศ ในแต่ละแห่งที่มีลักษณะภูมิอากาศที่แตกต่างกัน และงานวิจัยในประเทศไทยส่วน ซึ่งแบ่งเป็น งานวิจัยที่เกี่ยวข้องกับการใช้ห่อไถดินโดยตรง และงานวิจัยที่เกี่ยวข้องกับการถ่ายความร้อนในดิน ไว้ดังนี้



ภาพที่ 7 การใช้ระบบห่อไถดินทำความเย็นในโรงเรือนของ Mongkon et al. (2013)

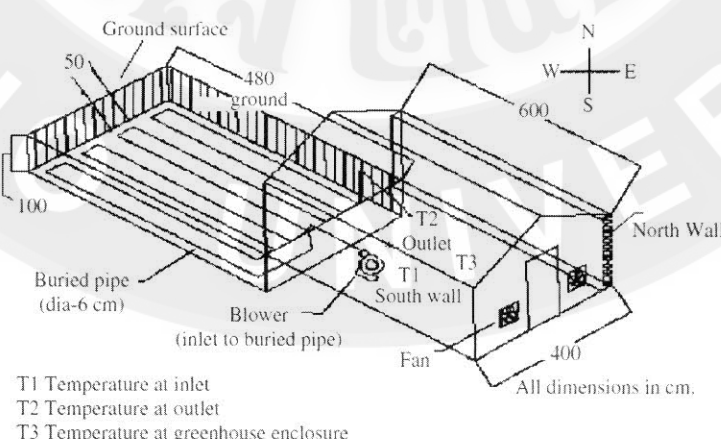
Mongkon et al. (2013) ได้ทำการศึกษาความเป็นไปได้ของการนำระบบห่อไถดินมาใช้ในการทำความเย็นในโรงเรือนปุลูกไม้ดอกที่ตั้งอยู่ในภูมิอากาศเขตอาหาศร้อนชื้นทางภาคเหนือของประเทศไทย ดังภาพที่ 7 โดยห่อไถดินที่ทำการศึกษาเป็นห่อเหล็กความยาว 38.50 m ฝั่งใต้สันมห្មालีก 1 m ของโรงเรือนพลาสติกโพลีเอทธิลีนที่มีขนาด กว้าง 3 m ยาว 5 m สูง 3 m จากการศึกษาพบว่า ระบบห่อไถดินจะสามารถทำความเย็นในโรงเรือนได้เฉพาะช่วงเวลากลางและให้ค่าสัมประสิทธิ์สมรรถนะของระบบ (COP) ปานกลาง ตั้งแต่ 0-3.13 และให้ค่าเฉลี่ยของ COP มาที่สุดในฤดูร้อนเท่ากับ 2.32 หรือคิดเป็น 74.74 % ของเครื่องปรับอากาศขนาดหนึ่งตันความเย็น ทั้งนี้ประสิทธิภาพในการใช้งานในฤดูต่างๆ จะขึ้นอยู่กับอุณหิพลของสภาพแวดล้อม ได้แก่ ค่ารังสีอาทิตย์ และปริมาณน้ำฝน โดยจะมีผลต่อสัดส่วนการเปลี่ยนแปลงของอุณหภูมิและความชื้นในบรรยากาศที่ช่วงวัน เวลาต่างๆ กัน



ภาพที่ 8 ผลการเปลี่ยนแปลงอุณหภูมิในโรงเรือนที่มีการผึ่งห่อได้ดินในคืนที่ต่างชนิดกัน

ของ Gosal and Tiwari (2006)

Ghosal and Tiwari (2013) ได้ทำพัฒนาแบบจำลองทางคณิตศาสตร์เพื่อหาสักขภาพในการทำปรับอากาศในโรงเรือนที่ใช้ระบบห่อได้ดินโดยใช้โปรแกรม Matlab ทำการทดลอง ณ Indian Institute Technology ประเทศอินเดีย จากการทดลองพบว่า ในช่วงฤดูหนาวห่อได้ดินสามารถเพิ่มอุณหภูมิในโรงเรือนให้สูงกว่าโรงเรือนที่ไม่มีการใช้ระบบห่อได้ดินได้เท่ากับ $7-8^{\circ}\text{C}$ และในช่วงฤดูร้อนจะลดอุณหภูมิอากาศให้ต่ำกว่าที่ไม่ใช้ห่อได้ดิน $5-6^{\circ}\text{C}$ และพบว่า การเปลี่ยนแปลงชนิดของดินที่ผึ่งห่อได้ดินจะมีผลต่อการเพิ่มอุณหภูมิ อันนี้จากการสมบัติทางความร้อนของดิน เช่น การนำความร้อน และค่าความจุความร้อนของดินแต่ละชนิด ได้แก่ ดินทราย ดินทรายปนดินร่วน ดินทรายปนกรวด และดินร่วน จะมีผลต่อการเพิ่มอุณหภูมิในโรงเรือนเพิ่มขึ้นในฤดูหนาวและฤดูร้อนมาก ดังภาพที่ 8



ภาพที่ 9 โรงเรือนเกียรติที่ใช้ระบบทำความเย็นห่อได้ดินของ Tiwari et al. (2006)

Tiwari *et al.*, (2006) ได้ทำการศึกษาสมรรถนะทางความร้อนของโรงเรือนที่มีระบบ EAHE ณ IIT Delhi, New Delhi ประเทศอินเดีย โดยโรงเรือนที่ใช้ในการทดลองมีพื้นที่ขนาด 8.54×4 m และทำการติดตั้งระบบ EAHE ดังภาพที่ 9 โดยระบบ EAHE จะประกอบด้วยท่อ PVC ยาว 39 m เส้นผ่านศูนย์กลาง 0.06 m ท่อถูกฝังไว้ใต้พื้นดินลึก 1 m ผลจากการศึกษาพบว่าอุณหภูมิอากาศที่ออกจากระบบ EAHE มีค่าเกือบคงที่ โดยมีค่า $18-19^{\circ}\text{C}$ ในช่วงฤดูหนาวและ $28-32^{\circ}\text{C}$ ในช่วงฤดูร้อนในโรงเรือน ค่าศักยภาพการทำความร้อนและทำความเย็นมีค่าน้อยกว่า 0.4 MJ สามารถลดใช้ระบบ EAHE การเพิ่มชั้นโถงการทำงานของ EAHE ค่า COP จะเพิ่มขึ้นตาม ระบบ EAHE มีประสิทธิภาพมากขึ้นในช่วงฤดูร้อนและฤดูหนาวค่าสูงสุดของศักยภาพทำความร้อนพบว่า มี 423 MJ ในเดือนพฤษภาคม เมื่อค่าสูงสุดของศักยภาพทำความเย็นพบว่ามี 566 MJ ในเดือน มิถุนายน ศักยภาพการทำความเย็นที่เกิดขึ้นมีค่ามากกว่าศักยภาพการทำความร้อน 30 % และพบว่า ค่า COP ในช่วงฤดูหนาวคือ 0.63-0.78 ในฤดูฝน 0.457-0.095 และในช่วงฤดูร้อน 0.96-1.41

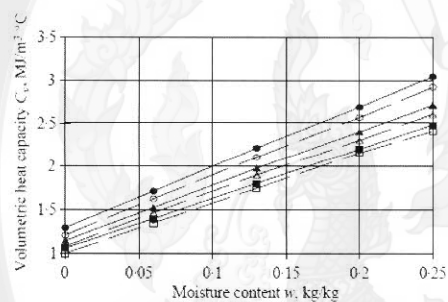


Fig. 4. Observed (—) and predicted (---) volumetric heat capacity as a function of moisture content for a sandy soil at the bulk densities: ■ and □, 1200 kg m^{-3} ; ▲ and △, 1300 kg m^{-3} ; ● and ○, 1400 kg m^{-3}

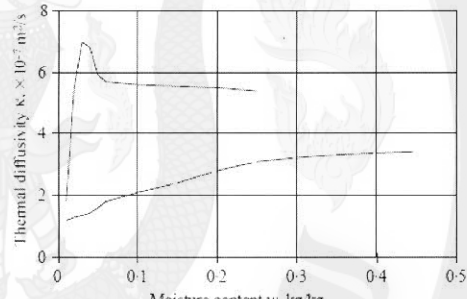
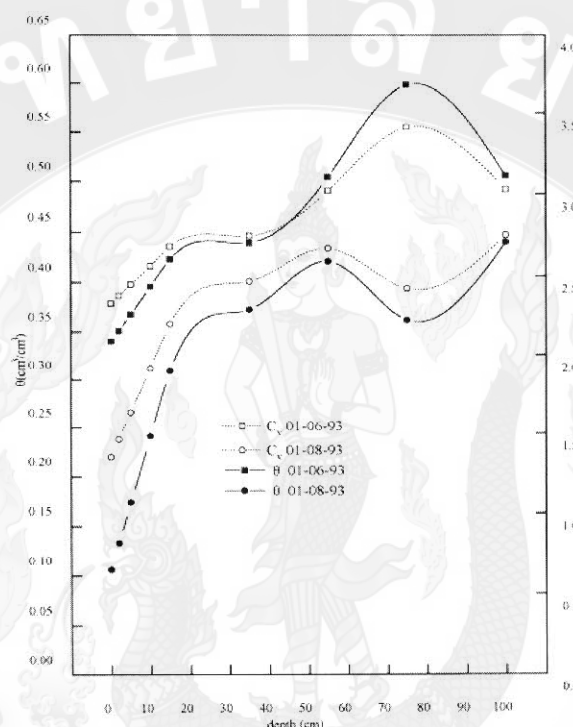


Fig. 5. Thermal diffusivity as a function of moisture content for clay (----) and sandy (—) soils

ภาพที่ 10 ผลการเปลี่ยนแปลงความจุความร้อนจำเพาะและค่าการแพร่ความร้อนของดิน ในงานวิจัย ของ Abu-Hamdeh (2003)

Abu-Hamdeh (2003) ได้ทำการศึกษาค่าความหนาแน่นและความชื้นในดินที่มีผลต่อการเปลี่ยนแปลงคุณสมบัติทางความร้อนของดิน ได้แก่ ค่าความจุความร้อนจำเพาะต่อมวล ค่าจุความร้อนจำเพาะต่อบริมาตร และค่าการแพร่ความร้อนของดิน โดยได้ทำการทดลองในห้องทดลองและใช้ดินที่ผ่านการแยกขนาดและยัดแน่นเข้าใหม่แบ่งเป็น 2 กลุ่ม ได้แก่ กลุ่มของดินทรายและดินเหนียว จากการทดลองดังภาพที่ 10 พบว่า หากเพิ่มความชื้นให้กับดินมีค่า 0-0.25 และให้ค่าความหนาแน่นแปรผันระหว่าง $1,200-1,400 \text{ kg/m}^3$ จะทำให้ค่าความจุความร้อนจำเพาะต่อบริมาตรเพิ่มขึ้น โดยดินเหนียวมีค่าเท่ากับ $1.4-3.54 \text{ MJ/m}^3 \cdot {}^{\circ}\text{C}$ และดินทรายมีค่าเท่ากับ $1.09-3.04 \text{ MJ/m}^3 \cdot {}^{\circ}\text{C}$ สำหรับค่าจุความร้อนจำเพาะต่อมวลนี้จากการทดลองที่ความชื้น 0.02-0.25 และความหนาแน่นของดิน $1,300 \text{ kg/m}^3$ พบว่าจะมีค่าเท่ากับ $1.17-2.25 \text{ kJ/kg} \cdot {}^{\circ}\text{C}$ สำหรับดินเหนียวและ $0.83-1.67$

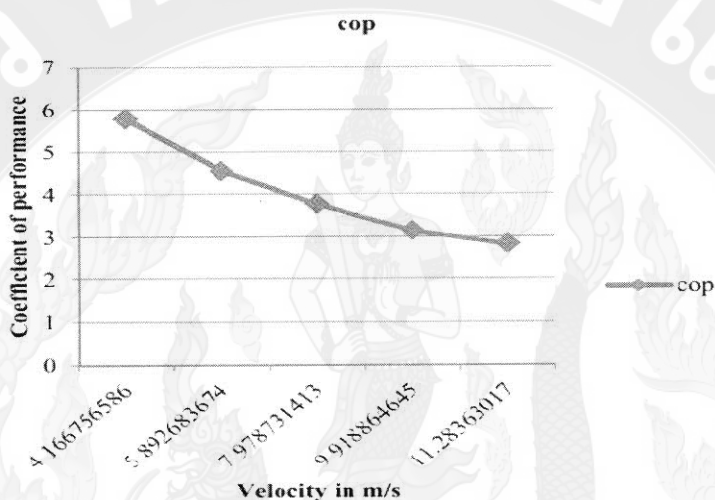
$\text{kJ/kg}^{-\circ}\text{C}$ สำหรับดินทราย ตามลำดับ จากนั้นได้ทำการศึกษาค่าการแพร่ความร้อนของดินพบว่า ค่าการแพร่ความร้อนจะแปรผันตามกับค่าความชื้น และฟลักซ์ความร้อนที่ได้รับ ซึ่งดินทรายจะมีค่าการแพร่ความร้อนมากที่สุดเมื่อให้มีค่าความชื้นมากที่สุดในขณะที่ดินเหนียวจะให้ค่าการแพร่ความร้อนที่มีค่าน้อยกว่า



ภาพที่ 11 ความสัมพันธ์ระหว่างอุณหภูมิดินและความชุ่มความร้อนจำเพาะของดินที่ระดับความลึกต่างๆ ในงานวิจัยของ Poulovassilis et al. (1998)

Poulovassilis et al. (1998) ได้ทำการศึกษาการเปลี่ยนแปลงของ Temperature profile ของดินเปียกและดินแห้งเนื่องจากการถ่ายเทฟลักซ์ความร้อน (Heat flux densities) ผ่านชั้นดินที่ความลึก 2, 5, 10, 20 และ 50 cm พื้นที่ที่ใช้ในการทดลองเป็นพื้นที่รกราก 100 ha ตั้งอยู่ในเมือง Kopais Boiotia ประเทศ Greece จากนั้นนำผลค่าฟลักซ์ความร้อนที่ได้จากการวัดไปคำนวณหาไฟล์ของคุณสมบัติต่างๆ ได้แก่ ค่าความชุ่มความร้อนต่อปริมาตร และอุณหภูมิดินในแต่ละระดับความลึกพบว่าการเพิ่มขึ้นของความชื้นจะทำให้ค่าความร้อนจำเพาะเพิ่มขึ้น และผิวดินจะมีค่าอุณหภูมิสูงที่สุดและมีค่ามากกว่า 7°C เมื่อเทียบกับชั้นดินที่อยู่ลึก 2 cm ผลดังภาพที่ 11

Dubey et al. (2013) ได้ทำการศึกษาเครื่องแลกเปลี่ยนความร้อนระบบห้องใต้ดินในการต่อแบบขนาด ทำการทดลองโดยใช้ท่อนานวน 0.064 m เส้นผ่าศูนย์กลางห้องด้านในมีความกว้างรวม 17 m มีท่อยาว 3 m 3 ท่อ และแต่ละห้องทำการเชื่อมต่อกันในการเชื่อมต่อแบบขนาด ฝั่งลึก 1.5 m พบร่องดูดอากาศของส่วนทางเข้าและทางออกห้องที่ความลึก 1.5 m ในการเชื่อมต่อแบบขนาดมีอุณหภูมิแตกต่างกันไป $8.6\text{-}4.18^{\circ}\text{C}$ ที่ความเร็วแตกต่างกัน $4.1\text{-}11.6 \text{ m/s}$ ค่า COP ในการต่อแบบขนาดมีค่า $5.7\text{-}2.6^{\circ}\text{C}$ เมื่อเพิ่มความเร็วจาก $4.16\text{-}11.2 \text{ m/s}$ ดังภาพที่ 12



ภาพที่ 12 ประสิทธิภาพสมรรถนะของระบบ (COP) กับความเร็วอากาศ

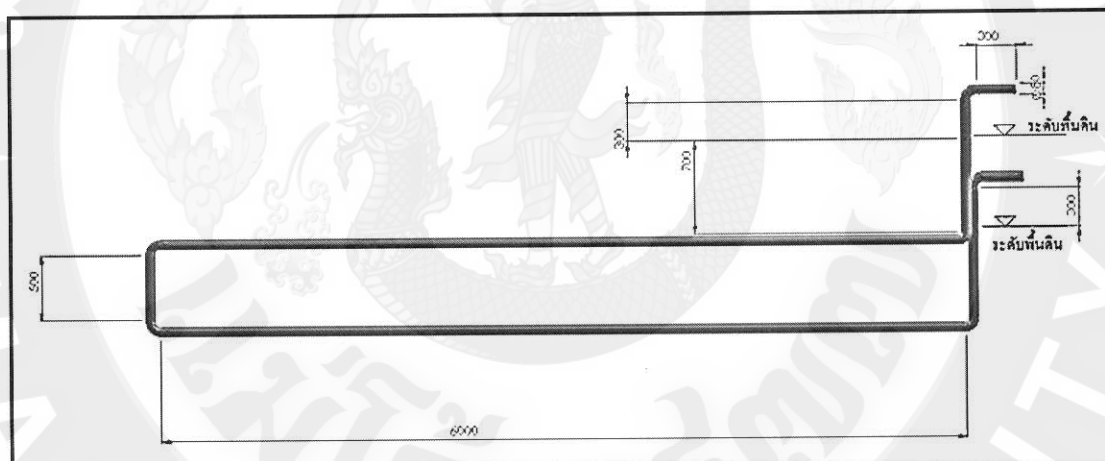
งานวิจัยของ Dubey et al. (2013)

จากการวิจัยต่างๆ ที่ได้กล่าวมาพบว่า ยังไม่ได้มีการศึกษาผลจากการเปลี่ยนแปลงของความชื้นในที่มีต่อสมรรถนะทำความเย็นของระบบห้องใต้ดินที่ประยุกต์ใช้ทำความเย็นในโรงเรือนเกษตร ซึ่งการศึกษาส่วนใหญ่จะเน้นเฉพาะด้านใดด้านหนึ่ง เช่น ศึกษาการใช้งานของห้องใต้ดิน และศึกษาสมบัติของดินแยกออกจากกัน ไม่ได้นำทั้ง 2 ด้านมาบรรณาการร่วมกัน ประกอบกับได้เลือกเห็นถึงประโยชน์ของความชื้นในดินที่สามารถเพิ่มสมบัติทางความร้อนที่มีผลต่อการใช้งานของห้องใต้ดิน ดังนั้นผู้วิจัยจึงมีความสนใจที่จะทำการศึกษาในครั้งนี้

อุปกรณ์และวิธีการ

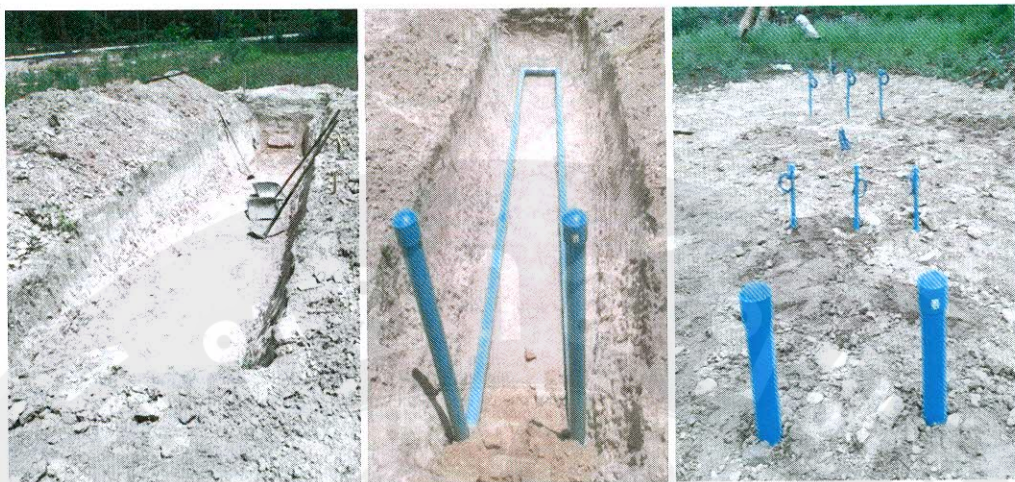
1. การสร้างชุดทดสอบ U-tube heat exchanger

ชุดทดสอบท่อได้ดินแบบตัวยู (U-tube heat exchanger) ที่ใช้ในการทดสอบคิดตั้งระบบ ณ วิทยาลัยพลังงานทดแทน มหาวิทยาลัยแม่โจ้ จังหวัดเชียงใหม่ วัสดุทำจากท่อได้ดินทำจากท่อพีวีซี (Polyvinyl chloride: PVC) ความหนา 0.5 cm มีเส้นผ่านศูนย์กลางภายในท่อ 8 cm ความยาวท่อรวม 12.5 m ฝึ่งท่อที่ความลึก 1 m หลักการทำงานของท่อได้ดินจะอาศัยการแตกเปลี่ยนความร้อน ระหว่างผิวท่อที่มีอุณหภูมิใกล้เคียงกับอุณหภูมิเดินกับอากาศร้อนที่ไหลผ่านท่อสู่ท่อ ซึ่งอากาศจะเคลื่อนที่โดยใช้พัดลมที่มีกำลังขนาด 120 W ติดตั้งอยู่บริเวณปลายท่อทางออก ทำให้ได้อากาศที่ทางออกของท่อมีอุณหภูมิลดลง ความเร็วของอากาศที่ไหลเข้าห้องสามารถควบคุมได้โดยใช้วาล์ว ซึ่งติดตั้งบริเวณท่ออากาศเข้า นอกเหนือนี้ผิวท่ออากาศเข้าและท่ออากาศออกมีการหุ้มฉนวนเพื่อลดการสูญเสียพลังงานออกอากาศสู่บรรยากาศภายนอก ท่อได้ดินแบบตัวยูแสดงในภาพที่ 13



หน่วย: mm

(ก) Isometric ของชุดทดสอบ



(ก) ท่อไดคินแบบตัวยู และการติดโพรบวัดอุณหภูมิดิน



(จ) พัฒนาดูดอากาศ และเครื่องบันทึกข้อมูล
ภาพที่ 13 ชุดทดสอบ U-tube heat exchanger

2. การวิเคราะห์สมบัติของดิน

ในงานวิจัยได้ทำการศึกษาคุณสมบัติทางความร้อนของดิน ณ บริเวณที่จะทำการทดลอง ดังภาพที่ 9 โดยได้ทำการทดสอบคุณสมบัติต่างๆ ได้แก่

1. การวิเคราะห์หาค่าขนาดของเม็ดดินเพื่อกำหนดชนิดของดิน โดยวิธี Wet sieving ตามมาตรฐาน ASTM D422 ทำการทดสอบโดยภาควิชาวิศวกรรมโยธา คณะวิศวกรรมศาสตร์ มหาวิทยาลัยเชียงใหม่
2. การวิเคราะห์หาความถ่วงจำเพาะของดิน (Specific gravity test) ตามมาตรฐาน ASTM D854-83 ทำการทดสอบโดยภาควิชาวิศวกรรมโยธา คณะวิศวกรรมศาสตร์ มหาวิทยาลัยเชียงใหม่

3. การหาความหนาแน่นของดินจะทำการทดสอบของดินในสนาม (Field test density) โดยทำการทดสอบหาความหนาแน่นเปียก และความหนาแน่นแห้งในรูปของปอร์เซ็นต์
4. ความชื้นดินได้ทำการทดสอบโดยใช้คุณไมโครเวฟในห้องปฏิบัติการ โดยหาความชื้นดินมาตรฐานเปียก (%wb) และความชื้นดินมาตรฐานแห้ง (%db) ดังภาพที่ 14



(ก) ลักษณะของดินบริเวณก่อสร้างชุดทดสอบ



(ข) ไมโครเวฟ

(ค) เครื่องชั่งน้ำหนัก ความละเอียด 0.1 g



(ง) ajan และถ้วยกระเบื้องเคลือบ

ภาพที่ 14 อุปกรณ์สำหรับหาความหนาแน่นและความชื้นของดิน

สมบัติของดินที่ทำการทดสอบแสดงดังตารางที่ 3 จะนำไปประเมินหาค่าความชุกความร้อน จำเพาะ โดยปริมาตร และค่าการนำความร้อนของดินประกอบการศึกษาในแบบจำลองคณิตศาสตร์

ตารางที่ 3 สมบัติของดิน ณ บริเวณทำการทดลอง

สมบัติของดิน	ค่า
ชนิดของดิน	ดินราย
สีของดิน	สีน้ำตาลเหลือง
เปอร์เซ็นต์ของราย (Sand, diameter 4.75 – 0.075 mm)	99.86 %
เปอร์เซ็นต์ของแป้งและดินเหนียว (Silt and clay, diameter < 0.075 mm)	0.14 %
ความหนาแน่นเปียก (Wet density)	1,328.31 kg/m ³
ความหนาแน่นแห้ง (Dry density)	1,195.96 kg/m ³
ความชื้นดินโดยมวล Wet basis moisture content	9.96 %
ความชื้นดินโดยมวล Dry basis moisture content	11.07 %
ค่าความถ่วงจำเพาะ (Specific gravity)	2.66

3. การออกแบบการทดลอง

เงื่อนไขการทดสอบชุดทดสอบท่อไดคิน

การออกแบบวิธีการทดลองจะมุ่งเน้นการเก็บผลอุณหภูมิของอากาศที่ให้ผ่านท่อไดคิน เพื่อนำไปวิเคราะห์หาศักยภาพของชุดทดสอบท่อไดคินในเงื่อนไขสภาพภูมิอากาศต่างๆ และความชื้นดินที่ค่าต่างๆ และจะนำผลที่ได้ไปเปรียบเทียบกับผลจากการคำนวณแบบจำลองทางคณิตศาสตร์ที่พัฒนาขึ้น

การทดสอบระบบท่อไดคินในงานวิจัยนี้แบ่ง การทดลองออกเป็น 2 ส่วน ได้แก่

กรณีศึกษาที่ 1 การทดสอบระบบเพื่อหาความเร็วของอากาศที่เหมาะสมที่ทำให้อุณหภูมิอากาศลดลงมากที่สุดภายใต้สภาพอากาศที่ใกล้เคียงกัน โดยจะทำการเปิดวาล์วทางท่อแบ่งเป็นเงื่อนไขต่างๆ ดังนี้

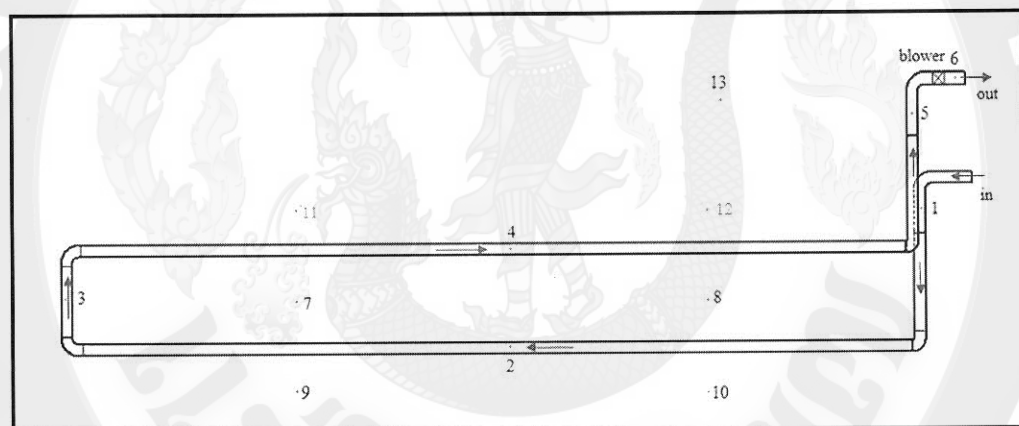
- เปิดวาล์วที่ 30°
- เปิดวาล์วที่ 45°
- เปิดวาล์วที่ 60°
- เปิดวาล์วที่ 90°

กรณีศึกษาที่ 2 การทดสอบระบบในกรณีที่คืนมีความชื้นที่แตกต่างกัน เพื่อวิเคราะห์หาค่าสัมประสิทธิ์สมรรถนะของระบบ และลักษณะการถ่ายเทความร้อนของระบบ ได้แก่

- คืนที่มีความชื้นน้อยที่สุด
- คืนที่มีความชื้นปานกลาง
- คืนที่มีความชื้นมากที่สุด

การกำหนดจุดวัดค่าต่างๆ

ในการทดลองจะทำการวัดค่าต่างๆ ได้แก่ อุณหภูมิของอากาศที่ไหลเข้าท่อ อุณหภูมิของอากาศที่ไหลออกจากท่อ อุณหภูมิอากาศในท่อได้ดิน อุณหภูมิผิวท่อได้ดิน อุณหภูมิดินที่ความลึก 1 m อุณหภูมิสิ่งแวดล้อม รวมทั้งสิ้น 13 จุด ทุกๆ 10 นาที และทำการวัดความเร็วอากาศที่ไหลเข้าท่อ และความเร็วอากาศที่ไหลออกจากท่อ 2 จุด ของการเก็บข้อมูลในแต่ละวัน แสดงดังภาพที่ 15



ภาพที่ 15 จุดวัดอุณหภูมิบริเวณต่างๆ ของท่อ

รายละเอียดของจุดวัดค่าต่างๆ มีดังนี้

1. วัดอุณหภูมิ 13 จุด ได้แก่

- จุดที่ 1 วัดอุณหภูมิอากาศบริเวณทางเข้าท่อ
- จุดที่ 2 วัดอุณหภูมิผิวท่อทางเข้าที่ความยาว 4.3 m
- จุดที่ 3 วัดอากาศบริเวณในท่อที่ความยาว 7.55 m
- จุดที่ 4 วัดอุณหภูมิผิวท่อจากทางเข้าที่ความยาว 10.8 m
- จุดที่ 5 วัดอุณหภูมิอากาศที่ออกจากท่อได้ดินก่อนผ่าน Blower
- จุดที่ 6 วัดอุณหภูมิบริเวณทางออกท่อ
- จุดที่ 7 วัดอุณหภูมิดินจุดที่ 1 (ความยาวจากท่อทางเข้า 4.5 m ห่างจากทางเข้า 25 cm)

จุดที่ 8 วัดอุณหภูมิในจุดที่ 2 (ความยาวจากท่อทางเข้า 1.5 m ห่างจากท่อทางเข้า 25 cm)
 จุดที่ 9 วัดอุณหภูมิในจุดที่ 3 (ความยาวจากท่อทางเข้า 4.5 m ห่างจากท่อทางเข้า 10 cm)
 จุดที่ 10 วัดอุณหภูมิในจุดที่ 4 (ความยาวจากท่อทางเข้า 1.5 m ห่างจากท่อทางเข้า 10 cm)
 จุดที่ 11 วัดอุณหภูมิในจุดที่ 5 (ความยาวจากท่อทางออก 4.5 m ห่างจากท่อทางออก 10 cm)
 จุดที่ 12 วัดอุณหภูมิในจุดที่ 6 (ความยาวจากท่อทางออก 1.5 m ห่างจากท่อทางออก 10 cm)
 จุดที่ 13 วัดอุณหภูมิสิ่งแวดล้อม

2. วัดความเร็วลมที่ไฟลทางเข้าและทางออกท่อ

อุปกรณ์และเครื่องมือที่ใช้

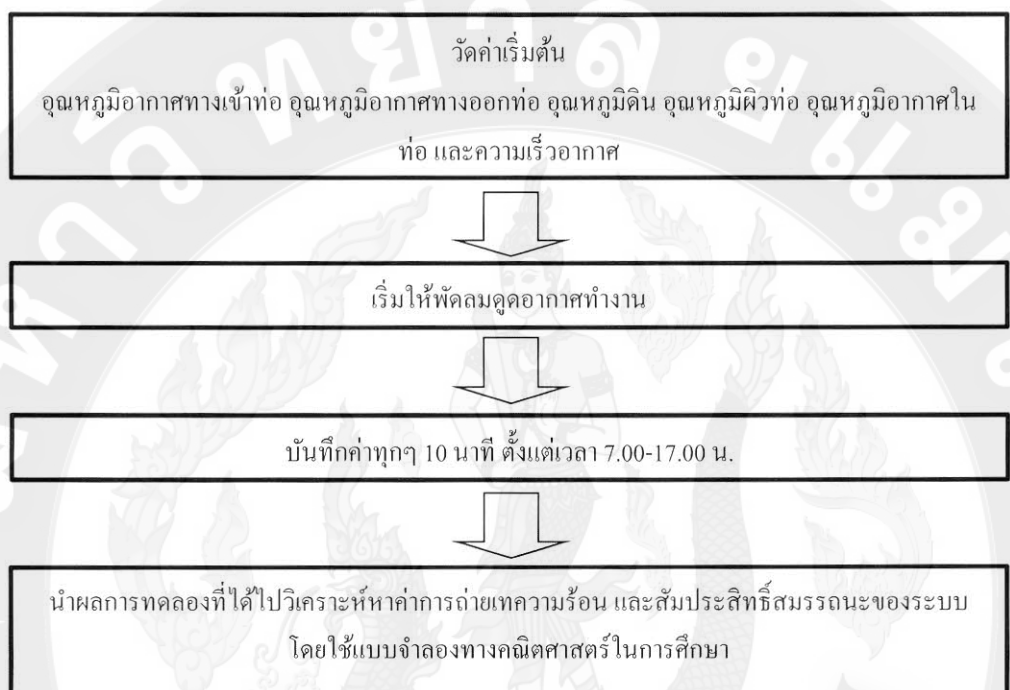
เครื่องมือและอุปกรณ์ที่ใช้ในการทดลองแสดงดังตารางที่ 4

ตารางที่ 4 อุปกรณ์และเครื่องมือที่ใช้

อุปกรณ์	Model	รายละเอียด
1. สายเทอร์โมคัพปิล	Sang Chai Meter	Thermocouple type K 4/0.32 mm X 2 (20-90 °C)
2. Data logger	TSUS GROUP	Data logger 24 channels input thermocouple all type mV, V, mA
3. เครื่องวัดความเร็วลม	Kimo	Hotwire anemometer type VT 200
4. เครื่องวัดความชื้น	Digicon HT-770	Humidity/Temp./Dew point

วิธีการทดลอง

ในการเก็บผลการทดลองในแต่ละกรณี ระบบห้องได้ดินจะต้องมีการตรวจเช็คก่อนเริ่มเดินระบบทุกครั้ง รวมทั้งสายวัดอุณหภูมิและเครื่องมือวัดต่างๆ ต้องอยู่ในสภาพเรียบร้อยพร้อมทำงาน ขั้นตอนทดลองดังภาพที่ 16



ผลการวิจัย

ผลการศึกษาประกอบด้วย ผลการทดสอบชุดทดสอบท่อไถดินแบบ U-tube heat exchanger เพื่อหาอุณหภูมิและความเร็วของอากาศในการใช้งานที่เหมาะสม และการศึกษาประสิทธิภาพการใช้งานของท่อไถดินที่ความชื้นดิน ผลการศึกษาสรุปได้ดังต่อไปนี้

ผลการทดสอบกรณีศึกษาเพื่อหาความเร็วของอากาศที่เหมาะสม

1. ความเร็วของอากาศในท่อไถดิน

ผลการทดสอบกรณีศึกษาที่ 1 เป็นการทดสอบระบบเพื่อหาความเร็วของอากาศที่เหมาะสม ในชุดทดสอบ U-tube heat exchanger จากการเปิดวาล์วให้อากาศไหลเข้าบริเวณท่อทางเข้าที่ค่ามุ่งค่าๆ กัน ได้แก่

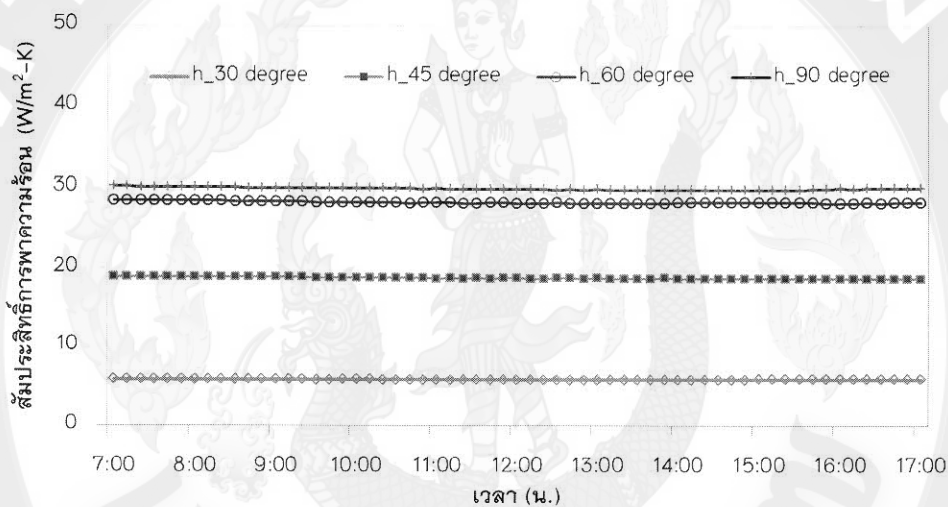
- เปิดวาล์วที่มุ่ม 30° ดำเนินการเก็บข้อมูลเมื่อวันที่ 18 กรกฎาคม 2557 สภาพอากาศทั่วไป ตลอดทั้งวัน ห้องพักมีเมฆมาก โดยเริ่มเก็บข้อมูลตั้งแต่เวลา 7.00 น.-17.00 น.
 - 1) เปิดวาล์วมุม 45° ดำเนินการเก็บข้อมูลเมื่อวันที่ 1 สิงหาคม 2557 สภาพอากาศทั่วไป ตลอดทั้งวัน ห้องพักมีเมฆบางส่วน เริ่มเก็บข้อมูลตั้งแต่เวลา 7.00 น.-17.00 น.
 - 2) เปิดวาล์วที่มุ่ม 60° ดำเนินการเก็บข้อมูลเมื่อวันที่ 17 กรกฎาคม 2557 สภาพอากาศทั่วไป ตลอดทั้งวัน ห้องพักมีเมฆบางส่วน เริ่มเก็บข้อมูลตั้งแต่เวลา 7.00 น.-17.00 น.
 - 3) เปิดวาล์วที่มุ่ม 90° ดำเนินการเก็บข้อมูลเมื่อวันที่ 15 กรกฎาคม 2557 สภาพอากาศทั่วไป ตลอดทั้งวัน ห้องพักมีเมฆบางส่วน เก็บข้อมูลตั้งแต่เวลา 7.00 น.-17.00 น.

จากผลการทดสอบให้ความเร็วของอากาศที่ไหลผ่านชุดทดสอบท่อไถดินแตกต่างกัน ดังผลในตารางที่ 5

ตารางที่ 5 ความเร็วของอากาศในท่อไถดินจากการเปิดวาล์วที่มุ่มต่างๆ

มุ่มวาล์ว (องศา)	ความเร็วอากาศใน ท่อ (m/s)	ค่าเฉลี่ยอุณหภูมิ แวดล้อม ($^{\circ}\text{C}$)	ค่าเฉลี่ยของอุณหภูมิดิน ($^{\circ}\text{C}$)
30°	0.93	29.53	29.77
45°	4.05	32.20	29.66
60°	6.70	31.59	29.83
90°	7.20	31.29	30.36

จากตารางที่ 5 จะเห็นได้ว่า ความเร็วของอากาศเมื่อเปิด瓦ล์วที่ค่ามุมเท่ากับ 30° มีค่าความเร็วของอากาศน้อยที่สุดเท่ากับ 0.95 m/s เมื่อเทียบกับมุมว้าล์ว 45° 60° และ 90° ที่มีความเร็วอากาศในท่อเท่ากับ 4.05 m/s 6.70 m/s และ 7.20 m/s ตามลำดับ ในส่วนของค่าเฉลี่ยอุณหภูมิแวดล้อมของวันที่ทำการทดลองทั้ง 3 เงื่อนไข พบว่า วันที่ทำการทดลองที่เงื่อนไขมุมว้าล์ว 60° และ 90° มีค่าไกล์เคียงกันมาก ในขณะที่มุมว้าล์ว 30° มีค่าต่ำกว่ากรณีอื่นเล็กน้อย เนื่องจากมีฝนในช่วง 15.00 น. ทำให้อุณหภูมิแวดล้อมลดลงอย่างรวดเร็ว สำหรับมุมว้าล์ว 45° มีค่าเฉลี่ยของอุณหภูมิแวดล้อมสูงกว่าวันอื่นๆ เล็กน้อยประมาณ 0.5°C สำหรับอุณหภูมิของดินของทั้ง 4 กรณี มีค่าไกล์เคียงกันโดยมีความแตกต่างอุณหภูมิไม่เกิน $0.0-0.6^\circ\text{C}$

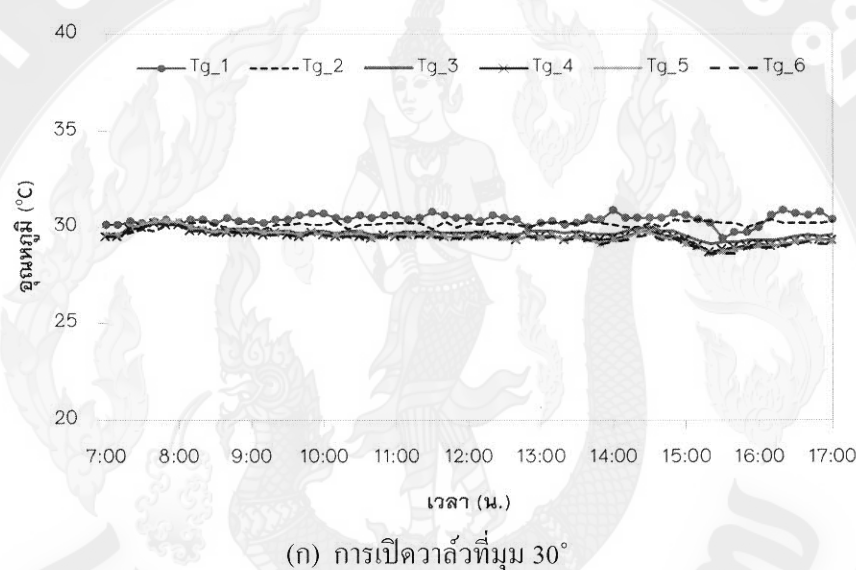


ภาพที่ 17 สัมประสิทธิ์การพาความร้อนในท่อติดนิ้น ณ ความเร็วต่างๆ

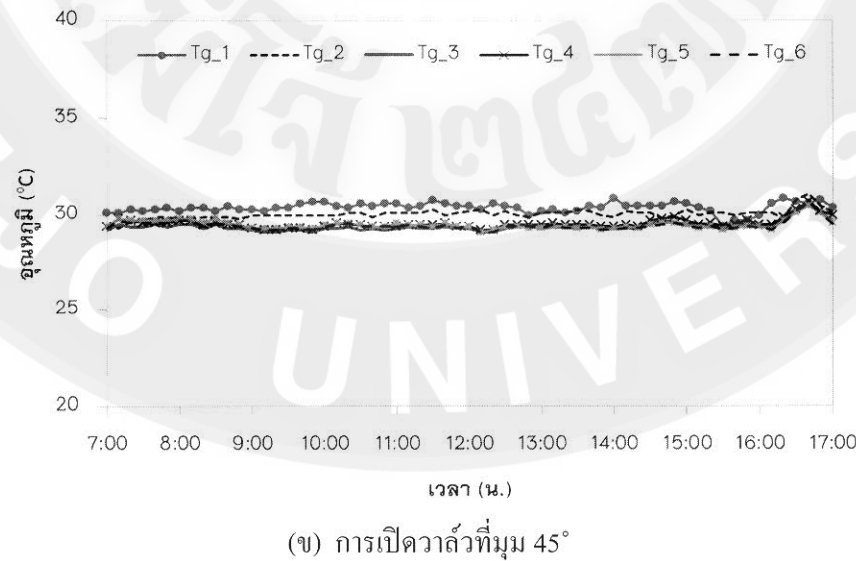
จากผลความเร็วของอากาศที่วัดได้ในการเปิดวาล์วแต่ละกรณี ได้คำนวณหาค่าสัมประสิทธิ์การพาความร้อนของอากาศ (Convective heat transfer coefficient: h_c) ที่ให้ผลผ่านท่อดังภาพที่ 17 พบว่า กรณีเปิดมุมว้าล์วเท่ากับ 60° และ 90° มีค่าสูงกว่ากรณีอื่นๆ โดยมีค่าเฉลี่ย $28.15 \text{ W/m}^2\text{-K}$ และ $29.81 \text{ W/m}^2\text{-K}$ ตามลำดับ สำหรับการเปิดวาล์วที่มุม 45° ให้ค่าสัมประสิทธิ์การพาความร้อนอยู่ในระดับกลาง โดยมีค่าเฉลี่ย $18.79 \text{ W/m}^2\text{-K}$ และการเปิดวาล์วที่มุม 30° ให้ค่าสัมประสิทธิ์การพาความร้อนน้อยที่สุด โดยมีค่าเฉลี่ย $5.79 \text{ W/m}^2\text{-K}$ หรือน้อยกว่ากรณีอื่นๆ 3-5 เท่า

2. การเปลี่ยนแปลงอุณหภูมิดิน ณ ความลึก 1 m

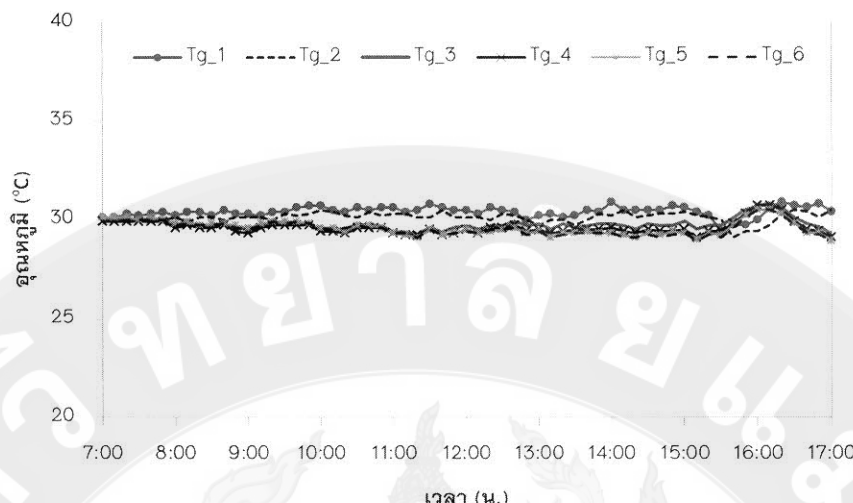
การศึกษาการเปลี่ยนแปลงอุณหภูมิดิน (T_g) ผู้วิจัยได้ทำการวัดอุณหภูมิดินที่ความลึก 1 m จำนวน 6 จุด ได้แก่ อุณหภูมิดินจุด 1 (T_{g_1}) อยู่กึ่งกลางชุดทดสอบท่อไถคันที่ระยะ 4.5 m อุณหภูมิดินจุด 2 (T_{g_2}) อยู่กึ่งกลางชุดทดสอบท่อไถคันที่ระยะ 1.5 m อุณหภูมิดินจุด 3 (T_{g_3}) อยู่ข้างท่ออากาศเข้าที่ระยะ 4.5 m อุณหภูมิดินจุด 4 (T_{g_4}) อยู่ข้างท่ออากาศเข้าที่ระยะ 1.5 m อุณหภูมิดินจุด 5 (T_{g_5}) อยู่ข้างท่ออากาศออกที่ระยะ 4.5 m และอุณหภูมิดินจุด 6 (T_{g_6}) อยู่ข้างท่ออากาศออกที่ระยะ 1.5 m



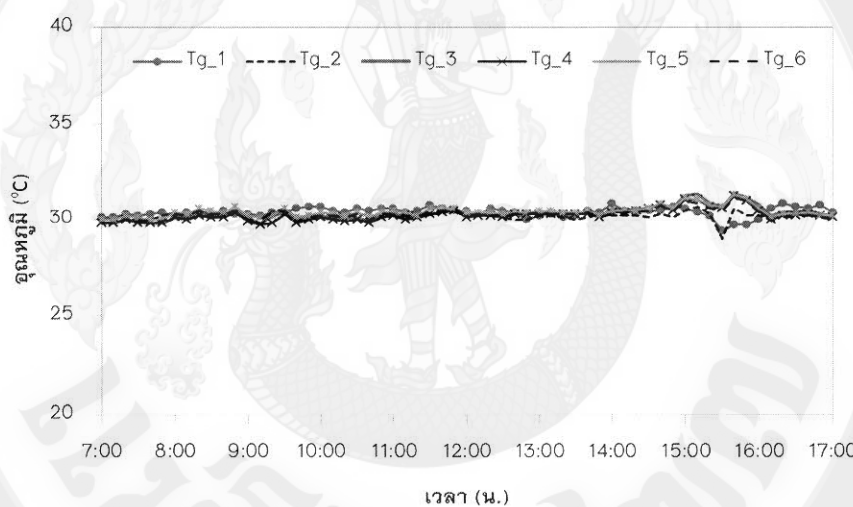
(ก) การเปิด瓦ลวที่มุม 30°



(ข) การเปิด瓦ลวที่มุม 45°



(ก) การเปิด瓦ล์วที่มุม 60°



(ล) การเปิด瓦ล์วที่มุม 90°

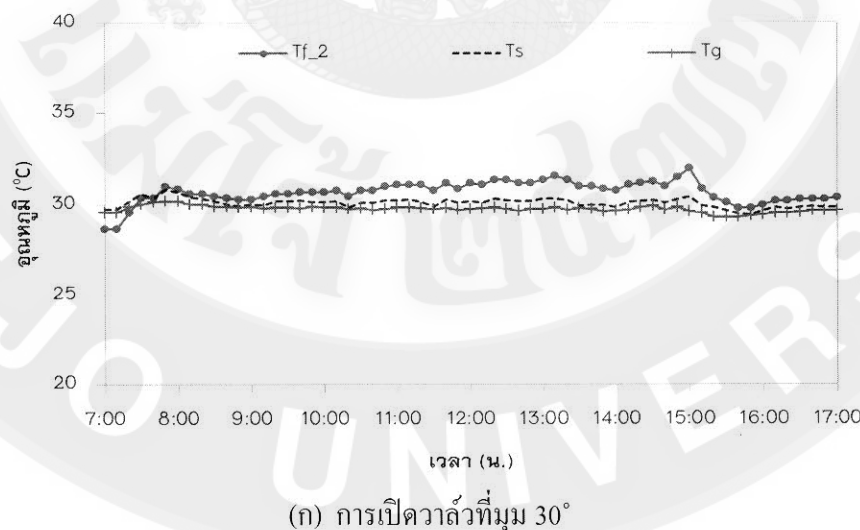
ภาพที่ 18 อุณหภูมิอากาศดิน ณ ความลึก 1 m กรณีหากความเร็วอากาศที่เหมาะสม

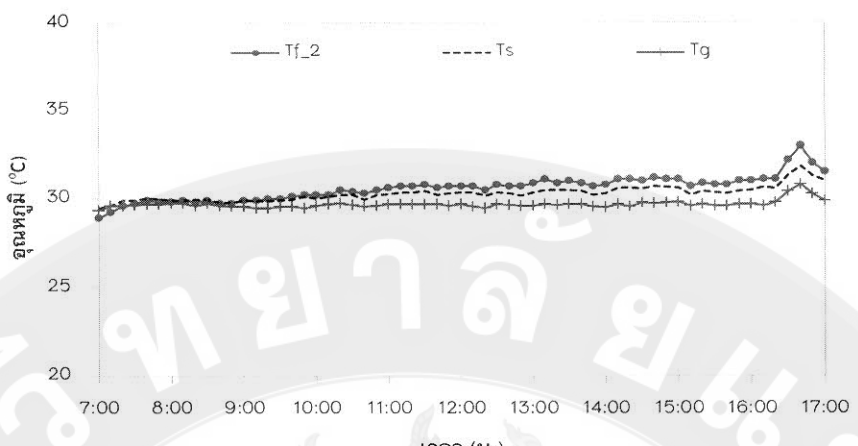
จากภาพที่ 18 (ก) แสดงถึงการเปลี่ยนแปลงของอุณหภูมิดินทั้ง 6 จุด ณ ชั้นดินเดียวกันที่ระดับความลึก 1 m ของวันที่ทำการทดลองเปิดมุขาวล์อากาศที่ไอลเข้าห้องเท่ากับ 30° พนว่า อุณหภูมิดินที่วัดได้สามารถแบ่งเป็น 2 กลุ่ม คือ กลุ่ม 1 จุดวัดอุณหภูมิดิน 1 และ 2 ที่อยู่ต่ำกว่าระยะห่างจากท่อ 25 cm กลุ่ม 2 จุดวัดอุณหภูมิ 3, 4, 5 และ 6 จุดที่อยู่รั้งห่างจากท่อ 10 cm จากการวิเคราะห์ พนว่า กลุ่ม 1 มีอุณหภูมิเฉลี่ยสูงกว่า กลุ่ม 2 เพราะอยู่ต่ำกว่าระหะห่างท่อทางเข้า/ออก ทำให้ได้รับความร้อนจากท่อทั้งสองข้าง ส่วนกลุ่ม 2 อุณหภูมิเฉลี่ยของดินของจุดที่ 5 และจุดที่ 6 จะต่ำกว่าจุดที่ 3 และจุดที่ 4 เนื่องจากอากาศที่ไอลในห้องได้เกิดการถ่ายเทความร้อนมาก่อนจะถึงจุดที่ 6 ซึ่งเป็นจุดก่ออนที่จะออกสู่ผิวดินและมีการถ่ายเทความร้อนน้อยที่สุดเมื่อเทียบกับจุดอื่นๆ

สำหรับผลการเปลี่ยนแปลงของอุณหภูมิดินที่การทดลองเปิด瓦ล์วที่มุน 45° และ 60° ดังในภาพที่ 18 (ข) และภาพที่ 18 (ค) มีแนวโน้มเป็นเช่นเดียวกับผลการเปิดวาล์วที่มุน 30° แต่ความแตกต่างของอุณหภูมิทั้ง 2 กลุ่มจะเพิ่มขึ้นโดยเฉพาะเมื่อเปิดวาล์วที่มุนน้อยๆ กว่า สามเหตุ因为ดินได้รับการถ่ายความร้อนในอัตราที่น้อยกว่าเนื่องจากความเร็วของอากาศที่ไหลผ่านห้องมีค่าน้อยกว่าทำให้การถ่ายเทความร้อนสู่ดินเป็นไปอย่างช้าๆ จึงมีเวลาถ่ายเทสู่ดินบริเวณรอบข้างได้ดี ในขณะที่การเปิดมุนวาล์วมากกว่า เช่น การเปิดวาล์วที่มุน 90° ดังภาพที่ 18 (ง) ความเร็วของอากาศในห้องและค่าสมประสิทธิ์การพาความร้อนในห้องสูงกว่ากรณีอื่นๆ ทำให้การถ่ายเทความร้อนเกิดขึ้นอย่างรวดเร็ว แต่เนื่องจากผิวห้องที่ทำการพลาสติกพีวีซีมีค่าการนำความร้อนต่ำ ทำให้ถ่ายเทความร้อนออกสู่ดินได้น้อยและเกิดการสะสมความร้อนในผิวห้อง จึงทำให้อุณหภูมิดินทั้ง 6 จุดมีค่าใกล้เคียงกัน ถึงแม้ว่าห้องที่ได้รับในการณ์ที่อากาศไหลผ่านด้วยความเร็วสูงนั้น จะทำให้ตราชารับความร้อนระหว่างวันมีความถี่ที่สูงกว่ากรณีอื่นๆ แต่ไม่ส่งผลกระทบเกิดนัยสำคัญ ซึ่งสังเกตจากอุณหภูมิดินแต่ละจุดมีค่าห่างกันไม่มากนัก

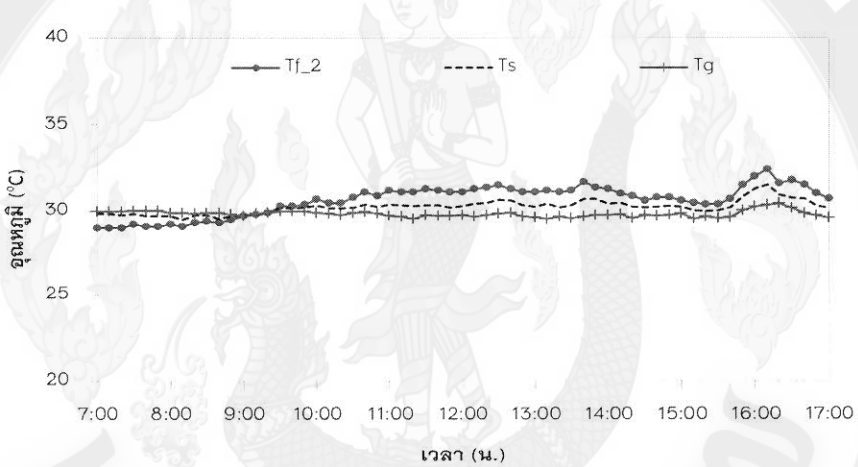
3. การเปลี่ยนแปลงอุณหภูมิอากาศในชุดทดสอบ U-tube heat exchanger

ท่อไดคินทำหน้าที่เป็นตัวกลางในการแลกเปลี่ยนความร้อนระหว่างอากาศที่ไหลผ่านกับผิวห้องที่ผสานอยู่ในดิน ในการทดสอบ พบว่าความเร็วของอากาศที่ผ่านด้วยความเร็วสูง 1 m/s ดังนั้นการเปลี่ยนแปลงของอุณหภูมิอากาศในห้องจะขึ้นอยู่กับอุณหภูมิของอากาศที่ไหลเข้าสู่ห้องและผิวห้อง

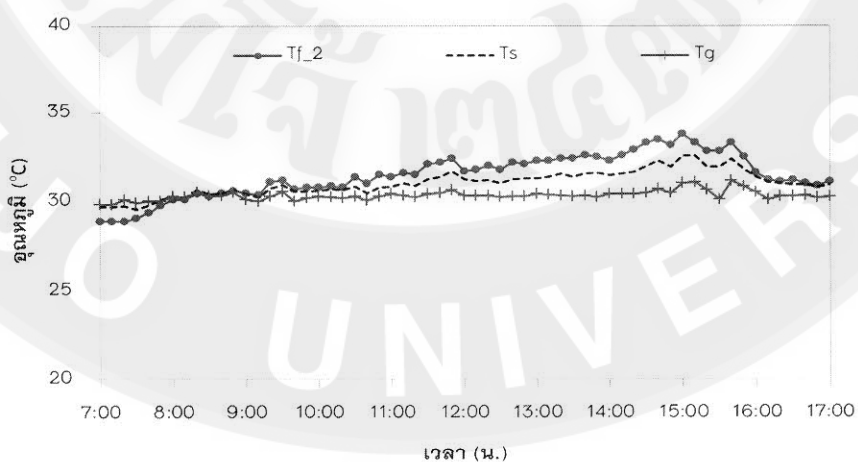




(บ) การเปิด瓦ล์วที่มุม 45°



(ค) การเปิด瓦ล์วที่มุม 60°



(ค) การเปิด瓦ล์วที่มุม 90°

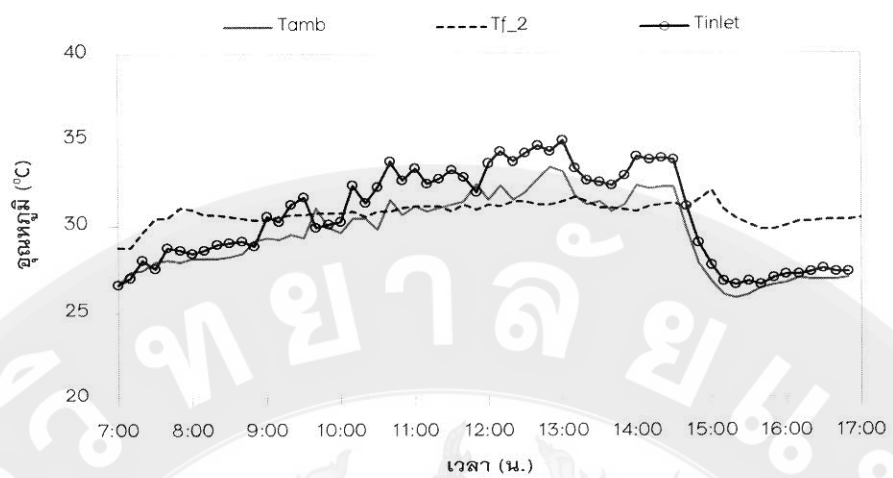
ภาพที่ 19 อุณหภูมิอากาศในท่อเตี๊กนิ กรณีหากความเร็วอากาศที่เหมาะสม

จากภาพที่ 19 (ก)-(ง) แสดงอุณหภูมิของอาคารที่ให้ผลภายในท่อ (T_f) เปรียบเทียบกับ อุณหภูมิดินที่ความลึก 1 m (T_d) และอุณหภูมิผิวท่อ (T_s) ของวันที่ทดลอง โดยเปลี่ยนแปลงค่ามุม วinkel ที่ใช้ควบคุมอัตราการไหลของอากาศเข้าชุดทดสอบ ได้แก่ 30° 45° 60° และ 90° จากลักษณะการเปลี่ยนแปลงของมุมวinkel ทุกๆ ค่า ที่มีเงื่อนไขของอุณหภูมิดินใกล้เคียงกัน พบว่า ความเร็วของอากาศจะมีผลต่ออุณหภูมิผิวท่อและอุณหภูมิอากาศ กล่าวคือ เมื่อให้ค่ามุมวinkel เท่ากับ 30° อุณหภูมิของอากาศในท่อจะลดลงและใกล้เคียงกับอุณหภูมิผิวท่อและอุณหภูมิดิน ค่าแตกต่างไม่เกิน 1°C แต่ความแตกต่างอุณหภูมิของอากาศในท่อและอุณหภูมิผิวท่อจะเพิ่มมากขึ้นเมื่อปรับค่ามุมวinkel ควบคุมอัตราการไหลของอากาศเพิ่มขึ้น เช่น ผลต่างอุณหภูมิอากาศในท่อและอุณหภูมิดินที่มุมวinkel 45° มีค่าเฉลี่ยเท่ากับ 1°C และที่มุมวinkel 60° และมุมวinkel 90° มีผลต่างอยู่ในช่วง $1.5-2^\circ\text{C}$ ซึ่งเป็นผลมาจากการความเร็วของอากาศที่ให้ผลผ่านชุดทดสอบท่อได้ดีนั้นมีค่ามากกว่า (ดังค่าความเร็วอากาศในตารางที่ 3) จึงทำให้เกิดการถ่ายเทความร้อนในช่วงเวลาสั้นๆ และแยกเปลี่ยนความร้อนได้ น้อยลง เมื่อเทียบกับอาคารที่ให้ผลผ่านที่มีความเร็วต่ำกว่า

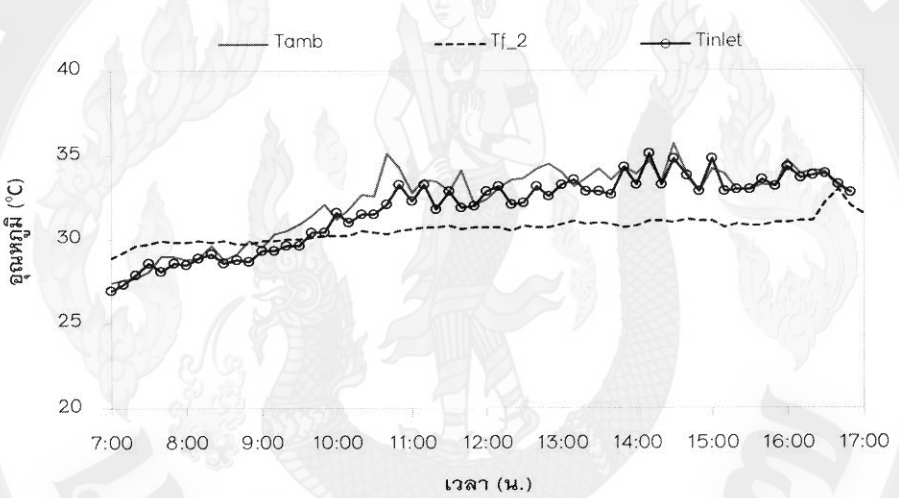
ข้อสังเกตอีกประการหนึ่ง พบว่า ที่มุม 45° 60° และ 90° อุณหภูมิผิวท่อได้ดีนั้นจะมีค่าสูงกว่า อุณหภูมิผิวท่อที่มุมวinkel 30° จากการวิเคราะห์พบว่า อาจเป็นผลจากการที่ผิวท่อได้รับความร้อน สะสมเนื่องจากอัตราการไหลของอากาศที่สูง กล่าวคือ ในช่วงเวลาทำการทดลองตั้งแต่ช่วงช้าถึง ช่วงตอนเย็น อาคารที่ให้ผลผ่านด้วยความเร็วสูงจะสามารถนำความร้อนจากอากาศเข้าสู่ท่อได้ดีนั้น แต่ล่ารอนในปริมาณมากกว่าความเร็วลมต่ำ หรือมีความลึกของการรับความร้อนมากกว่าจึงทำให้ เกิดการสะสมความร้อนในสัดส่วนของท่อได้

4. การเปลี่ยนแปลงอุณหภูมิอากาศที่ให้ผลเข้าและให้ผลออกจากชุดทดสอบ U-tube heat exchanger

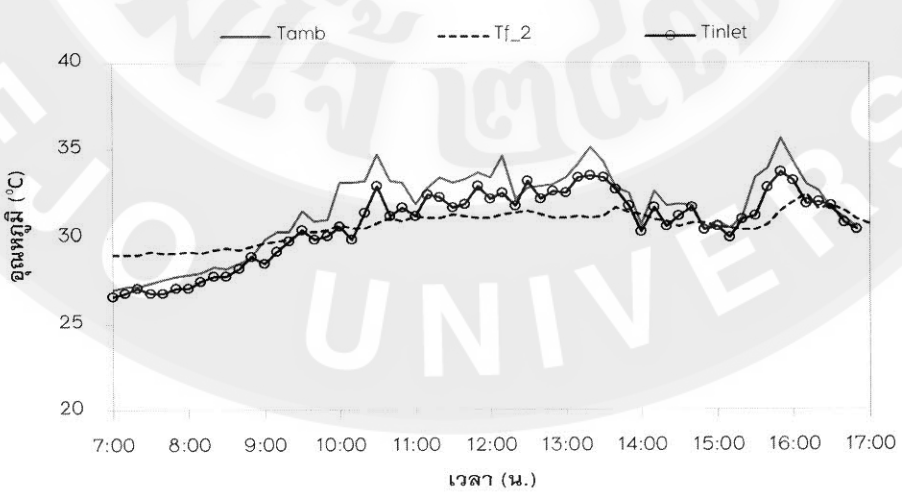
สำหรับการศึกษาอุณหภูมิอากาศที่ให้ผลเข้า (T_{inlet}) และอุณหภูมิอากาศที่ให้ผลออกจากท่อได้ดี ($T_{f,2}$) มีจุดประสงค์เพื่อการวิเคราะห์หาช่วงเวลาใน 1 วัน ที่ระบบท่อได้ดีนั้นจะสามารถทำความเย็นได้



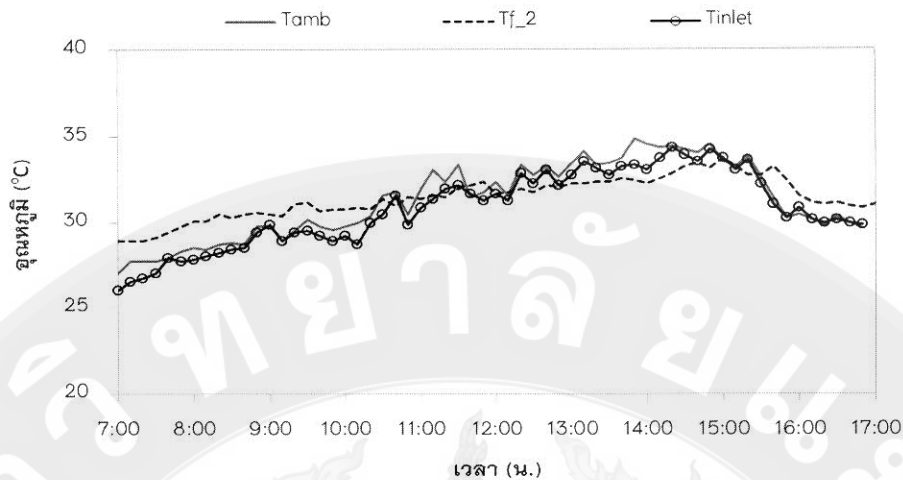
(ก) การปีกาวล้าที่มุม 30°



(ข) การปีกาวล้าที่ 45°



(ค) การปีกาวล้าที่มุม 60°



(ก) การเปรียบเทียบที่มุม 90°

ภาพที่ 20 อุณหภูมิอากาศที่ไอลเข้าและออกท่อได้ดิน

กรณีหากความเร็วอากาศที่เหมาะสม

จากภาพที่ 20 (ก)-(ง) แสดงถึงความสัมพันธ์ระหว่างอุณหภูมิของอากาศที่ไอลเข้า (T_{inlet}) อุณหภูมิอากาศที่ไอลออกจากท่อ (T_{f_2}) อุณหภูมิแวดล้อม (T_{amb}) และอุณหภูมิของดินที่ความลึก 1 m โดยเปลี่ยนแปลงค่ามุมว้าล์ฟ์ที่ใช้ควบคุมอัตราการไอลอากาศ ได้แก่ มุม 30° 45° 60° และ 90° จากรูปพบว่า ทั้ง 3 กรณีชุดทดสอบท่อได้ดินสามารถลดอุณหภูมิอากาศที่ไอลเข้าท่อได้ โดยท่อได้ดินสามารถลดอุณหภูมิอากาศที่ไอลเข้าสู่ท่อได้ในช่วงเวลากลางวัน โดยเฉพาะช่วงที่มีอุณหภูมิแวดล้อมสูงๆ หรือวันที่มีแดด จากการวิเคราะห์ความสามารถในการลดอุณหภูมิของค่ามุมว้าล์ฟ์ต่างๆ ข้างต้น กรณีมุมว้าล์ฟ์ 45° จะสามารถลดอุณหภูมิอากาศได้มากที่สุดและมีผลต่างสูงสุดระหว่างอุณหภูมิอากาศที่ไอลเข้าและไอลออกจากท่อได้ดิน 4.10 °C สำหรับมุม 30° 60° และ 90° มีผลต่างสูงสุดเท่ากับ 3.40 °C, 2.30 °C และ 1.20 °C ตามลำดับ ดังข้อมูลในตารางที่ 6

ตารางที่ 6 เปรียบเทียบความเร็วของอากาศต่างๆ เพื่อนำมาใช้กับระบบท่อได้ดิน

มุมว้าล์ฟ์	ความเร็วของอากาศ (m/s)		อุณหภูมิอากาศ ที่แวดล้อม (°C)	ความชื้นของดินที่ ความลึก 15 cm (%wb)	ผลต่างของอุณหภูมิ $T_{\text{inlet}} - T_{\text{f}_2}$ (°C)
	v_{in}	v_{out}			
90°	5.85	7.20	31.29	13.13	1.2
60°	5.45	6.70	31.59	8.15	2.3
45°	3.50	4.05	32.20	6.05	4.1
30°	0.80	0.93	29.53	6.57	3.4

ผลการศึกษาระบบที่ใช้งานในกรณีที่ดินมีความชื้นที่แตกต่างกัน

การศึกษาการทำงานของท่อได้ดินแบบตัวยูที่ความชื้นดิน จะแบ่งเป็น 3 กรณี ได้แก่ ดินที่มีความชื้นน้อยที่สุด ดินที่มีความชื้นปานกลาง และดินที่มีความชื้นมากที่สุด ผู้วิจัยได้ทำการเลือกความชื้นดินที่มีค่าแตกต่างกันมากที่สุดของการเก็บข้อมูลมาทำการวิเคราะห์เพื่อเป็นตัวแทนของแต่ละกรณี โดยตัวแทนของวันที่ดินมีความชื้นน้อยที่สุด ได้แก่ ข้อมูลของวันที่ 11 กันยายน 2557 ดินที่มีความชื้นปานกลาง ได้แก่ วันที่ 16 กันยายน 2557 และวันที่ดินมีความชื้นมากที่สุดในการทดลอง ได้แก่ วันที่ 6 กันยายน 2557 ผลการวิเคราะห์ประกอบด้วย

1. การเปลี่ยนแปลงค่าความชื้นดิน

การเปลี่ยนแปลงค่าความชื้นของดินที่นำมาวิเคราะห์ในแต่ละกรณีมีความแตกต่างกัน ขึ้นอยู่กับปริมาณน้ำฝนที่ได้รับ ตัวอย่างดินในแต่ละวันจะถูกเก็บที่ความลึก 0 m (ผิวดิน) ความลึก 15 cm และความลึก 30 m และนำผลที่ได้มาหาค่าความชื้นมาตรฐานเบี้ยกและความชื้นมาตรฐานแห้งและนำมาวิเคราะห์ถึงลักษณะการเปลี่ยนแปลงความชื้นในดินร่วมกับการเปลี่ยนแปลงสภาพอากาศของวันที่ทำการทดลอง และนำค่าความชื้นของดินที่ความลึก 30 cm วิเคราะห์ร่วมกับผลการเปลี่ยนแปลงอุณหภูมิอากาศที่เหลือออกจากท่อ ผลการทดสอบหากความชื้นของดินตารางที่ 7-9 ดังนี้

ตารางที่ 7 ความชื้นของดินในกรณีดินมีความชื้นน้อยที่สุด

ตัวอย่างดิน		น้ำหนักดินเบี้ยก (g)	น้ำหนักดินแห้ง (g)	น้ำหนักน้ำ (g)	ความชื้นดิน (%wb)	ความชื้นดิน (%db)
0 cm	1	100	94.45	5.55	5.55	5.88
	2	100	94.50	5.50	5.50	5.82
	3	100	95.05	4.95	4.95	5.21
เฉลี่ย					5.33	5.63
15 cm	1	100	89.85	10.15	10.15	11.30
	2	100	89.75	10.25	10.25	11.42
	3	100	90.05	9.95	9.95	11.05
เฉลี่ย					10.12	11.26
30 cm	1	100	89.08	10.92	10.92	12.26
	2	100	88.95	11.05	11.05	12.42
	3	100	88.95	11.05	11.05	12.42
เฉลี่ย					11.01	12.37
ความชื้นดินเฉลี่ยโดยรวม					8.82	9.75

จากผลความชื้นดินในตารางที่ 7 จะให้ได้ว่า ผิวดินมีความชื้นต่ำสุด และความชื้นเพิ่มมากขึ้นเมื่อความลึกเพิ่มขึ้น เนื่องจากสภาพอากาศโดยทั่วไปของวันที่ 11 กันยายน 2557 ตลอดทั้งวันมีแดดร้อนๆ ไม่มีฝนตก ทำให้บริเวณผิวดินที่ได้รับความร้อนจากดวงอาทิตย์โดยตรง น้ำบริเวณผิวดินจึงระเหยสูบระยาศ และด้วยสมบัติของดินที่มีแรงเสียดทานสูงจึงทำให้ความร้อนจากรังสีอาทิตย์ถ่ายเทชี้นดินที่ลึกกว่าด้วยเหตุผลนี้ ทำให้ความชื้นที่อยู่ในดินลดลงไม่มากนัก โดยค่าเฉลี่ยความชื้นของดินในกรณีที่ดินมีความชื้นน้อย มีค่าเท่ากับ 8.82 %wb และ 9.75 %db

ตารางที่ 8 ความชื้นของดินในกรณีดินมีความชื้นปานกลาง

ตัวอย่างดิน		น้ำหนักดินเปียก (g)	น้ำหนักดินแห้ง (g)	น้ำหนักน้ำ (g)	ความชื้นดิน (%wb)	ความชื้นดิน (%db)
0 cm	1	100	87.60	12.40	12.40	14.16
	2	100	87.50	12.50	12.50	14.29
	3	100	87.85	12.15	12.15	13.83
เฉลี่ย				12.35	12.35	14.09
15 cm	1	100	91.55	8.45	8.45	9.23
	2	100	91.20	8.80	8.80	9.65
	3	100	91.25	8.75	8.75	9.59
เฉลี่ย				8.67	8.67	9.49
30 cm	1	100	89.90	10.10	10.10	11.23
	2	100	89.90	10.10	10.10	11.23
	3	100	89.95	10.05	10.05	11.17
เฉลี่ย				10.08	10.08	11.21
ความชื้นดินเฉลี่ยโดยรวม				10.37	10.37	11.60

จากผลความชื้นดินในตารางที่ 8 ลักษณะการเปลี่ยนแปลงจะแตกต่างกับผลในวันที่ 11 กันยายน 2557 โดยที่ผิวดินมีความชื้นสูงที่สุด เนื่องจากช่วงหัวค่ำของวันก่อนการทดลองมีฝนตกเล็กน้อย ทำให้ความชื้นที่ผิวดินมีค่ามากสุด แต่ฝนตกเพียงเล็กน้อยทำให้น้ำฝนซึมลงไปไม่ถึงดินชั้นถ่าง ในขณะที่ชั้นดินที่ความลึก 30 cm มีความชื้นสะสมอยู่พอประมาณ ประกอบกับสภาพอากาศในวันที่ 16 กันยายน 2557 ห้องฟ้ามีเมฆคลุมทั้งวัน ทำให้ความร้อนจากดวงอาทิตย์ที่ตกกระทบผิวดินไม่สูงเหมือนวันที่มีแดด ค่าความชื้นเฉลี่ยโดยรวมของกรณีดินที่มีความชื้นปานกลางเท่ากับ 10.37 %wb และ 11.60 %db

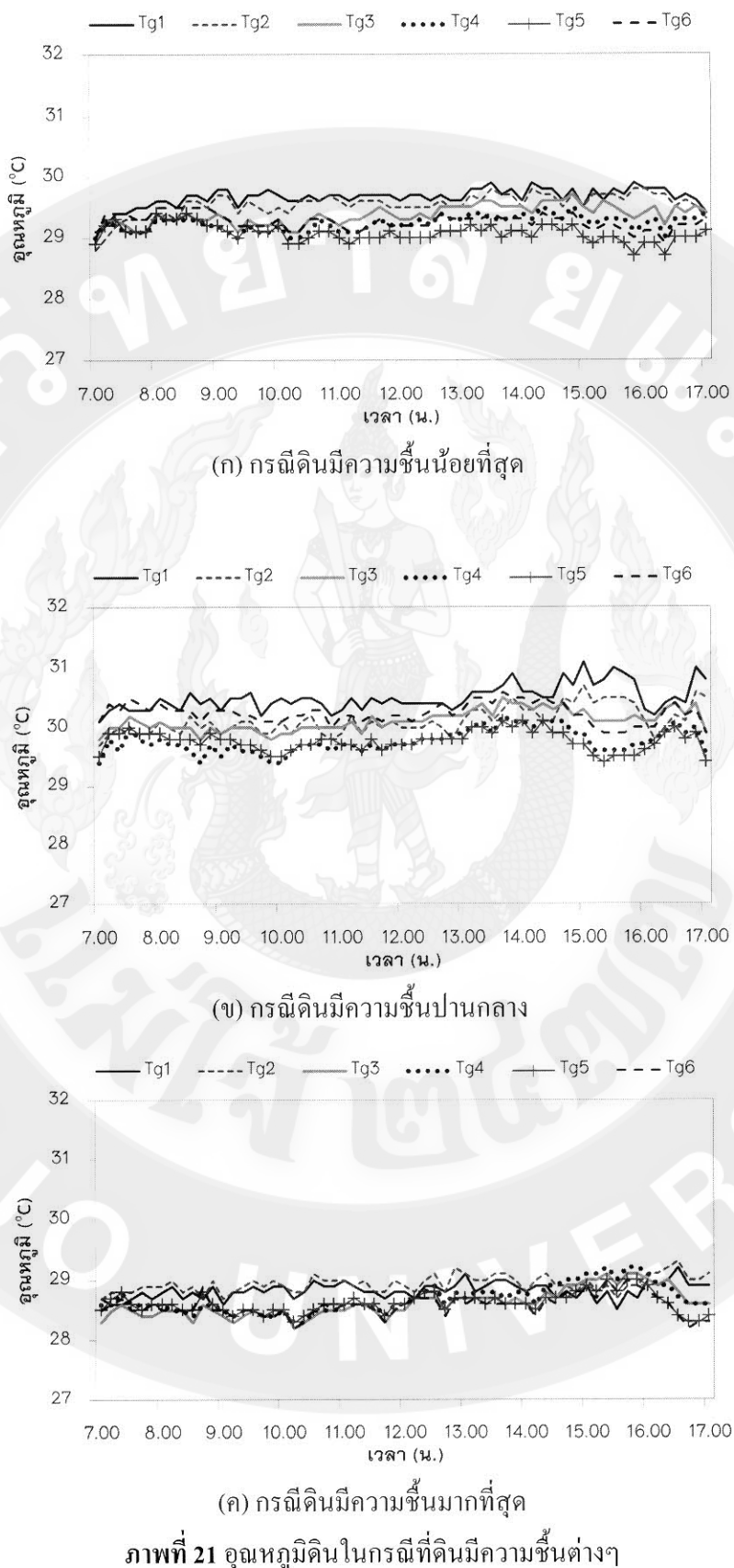
ตารางที่ 9 ความชื้นของดินในกรณีดินมีความชื้นมากที่สุด

ตัวอย่างดิน		น้ำหนักดินเปียก (g)	น้ำหนักดินแห้ง (g)	น้ำหนักน้ำ (g)	ความชื้นดิน (%wb)	ความชื้นดิน (%db)
0 cm	1	100	85.60	14.40	14.40	16.82
	2	100	85.30	14.70	14.70	17.23
	3	100	84.65	15.35	15.35	18.13
เฉลี่ย				14.82	17.39	
15 cm	1	100	87.15	12.85	12.85	14.75
	2	100	87.50	12.50	12.50	14.29
	3	100	87.25	12.75	12.75	14.61
เฉลี่ย				12.70	14.55	
30 cm	1	100	88.40	11.60	11.60	13.12
	2	100	88.25	11.75	11.75	13.32
	3	100	88.45	11.55	11.55	13.06
เฉลี่ย				11.63	13.17	
ความชื้นดินเฉลี่ยโดยรวม				13.05	15.04	

จากผลความชื้นดินในตารางที่ 9 พบว่า ความชื้นดินที่วิเคราะห์ได้ในวันที่ 6 กันยายน 2557 จะมีค่าลดลงเมื่อความลึกเพิ่มขึ้น เนื่องจากสภาพอากาศโดยทั่วไปของวันที่ 6 กันยายน 2557 ตลอดทั้งวันมีฝนตกเล็กน้อย และมีเมฆครึ่มเกือบตลอดทั้งวัน และมีแฉดเล็กน้อยในช่วงบ่าย ทำให้ผิวดินมีความชื้นสูงสุดเนื่องจากได้รับปริมาณน้ำจากน้ำฝนและได้รับความร้อนจากดวงอาทิตย์ในปริมาณน้อยเมื่อเทียบกับอีก 2 เงื่อนไขที่กล่าวมาแล้ว ที่ระดับความลึก 15 cm และ 30 cm มีค่าความชื้นลดลงเล็กน้อย โดยค่าความชื้นของดินในกรณีที่ดินมีความชื้นมากมีค่าเท่ากับ 13.05 %wb และ 15.04 %db

2. การเปลี่ยนแปลงอุณหภูมิดินที่ความชื้นต่างๆ

ในการศึกษาการเปลี่ยนแปลงอุณหภูมิดินที่ความชื้นต่างๆ ได้ทำการวัดอุณหภูมิดินที่ความลึก 1 m จำนวน 6 จุด เช่นเดียวกับการทดลองในกรณีหาความเร็วที่เหมาะสม



ภาพที่ 21 อุณหภูมิดินในกรณีที่ดินมีความชื้นต่างๆ

จากภาพที่ 21 (ก)-(ค) แสดงอุณหภูมิдин ณ ความลึก 1 m ของวันที่ทำการเก็บข้อมูลในกรณี ดินมีความชื้นน้อยที่สุด ดินมีความชื้นปานกลาง และดินมีความชื้นมากที่สุด ตามลำดับ โดยการเปลี่ยนแปลงอุณหภูมิдин ในกรณีที่ดินมีความชื้นน้อยที่สุดดังภาพที่ 21 (ก) จะมีลักษณะเดียวกันกับ การเปลี่ยนแปลงของอุณหภูมิдин ในกรณีดินที่มีความชื้นปานกลาง ดังภาพที่ 21 (บ) กล่าวคือ มี อุณหภูมิдин โดยรวมสูงกว่ากรณีที่มีความชื้นมากที่สุด โดยอุณหภูมิจุดที่ 1 และจุดที่ 2 จะสูงกว่า อุณหภูมิจุดที่ 3-6 เนื่องจากอุณหภูมิอากาศที่ไหลเข้าท่อมีค่าสูงซึ่งเป็นผลจากการได้รับความร้อน จากรังสีอาทิตย์ในปริมาณที่มากกว่าวันที่ดินมีความชื้นมากที่สุดที่มีฝนตก และสาเหตุอีกประการคือ หากดินมีความชื้นมากจะสามารถดักจับแสงอาทิตย์และรีบ潭ของกรณีเปลี่ยนแปลงอุณหภูมิได้ดีกว่าดินที่มี ความชื้นน้อย เนื่องจากน้ำในดินเป็นตัวช่วยรับความร้อนอีกทางหนึ่ง นอกจากนี้จากการสะท้อนความ ร้อนในเนื้อดินเพียงอย่างเดียว ค่าเฉลี่ยของอุณหภูมิдинของกรณีดินมีความชื้นน้อยที่สุด ดินมี ความชื้นปานกลาง และดินมีความชื้นมากที่สุด เท่ากับ 29.36°C 30.08°C และ 28.71°C ตามลำดับ

3. การเปลี่ยนแปลงอุณหภูมิอากาศที่ไหลเข้าและไหลออกจากท่อได้ดิน

สำหรับการเปลี่ยนแปลงอุณหภูมิอากาศที่ออกจากท่อได้ดิน (T_{f_2}) เทียบกับอุณหภูมิдин (T_d) และอุณหภูมิผิวท่อ (T_s) พบว่า การเปลี่ยนแปลงทั้ง 3 กรณี มีลักษณะที่คล้ายกัน ดังภาพที่ 22 (ก)-(ค) กล่าวคือ อุณหภูมิของอากาศในท่อมีค่าใกล้เคียงกับอุณหภูมิผิวท่อแสดงว่ามีการแลกเปลี่ยนกันได้ ค่อนข้างดี อย่างไรก็ตาม อุณหภูมิอากาศในท่อจะค่าแตกต่างจากอุณหภูมิдинเล็กน้อย โดยในกรณีวัน ดินมีความชื้นน้อยที่สุด มีผลต่างประมาณ $0-1^{\circ}\text{C}$ กรณีดินมีความชื้นปานกลาง ผลต่างประมาณ $0-0.8^{\circ}\text{C}$ และกรณีดินที่มีความชื้นมากที่สุด ผลต่างประมาณ $0-0.5^{\circ}\text{C}$ ทั้งนี้ขึ้นอยู่กับช่วงเวลาที่ อุณหภูมิอากาศแวดล้อม ได้รับความร้อนจากค่ารังสีอาทิตย์ก่อน ไหลลงสู่ท่อได้ดิน จากเหตุผล ดังกล่าวทำให้การเปลี่ยนแปลงอุณหภูมิอากาศในท่อในกรณีดินที่มีความชื้นน้อยที่สุดจะมากกว่า กรณีอื่นๆ ประมาณ $0.5-1^{\circ}\text{C}$



ภาพที่ 22 อุณหภูมิอากาศที่ไหลเข้าและไหลออกจากห้องในกรณีที่ดินมีความชื้นต่างๆ

สำหรับการเปลี่ยนแปลงอุณหภูมิอากาศที่ไอลเข้าท่อ (T_{in}) เทียบกับอุณหภูมิแวดล้อม (T_{amb}) พบว่า มีการเปลี่ยนแปลงที่ใกล้เคียงกัน ยกเว้นบางช่วงเวลาที่มีอุณหภูมิต่ำกว่าแวดล้อม เนื่องจากอากาศที่ไอลเข้าท่ออากาศเกิดการสูญเสียพลังงานจากแรงเสียดทานของผิวท่อทางเข้าซึ่งมีความยาวประมาณ 1.6 m โดยอุณหภูมิสูงสุดของอากาศที่ไอลเข้าท่อในการนี้คืนมีความชื้นน้อยที่สุด คืนมีความชื้นปานกลาง และคืนมีความชื้นมากที่สุด ประมาณ 35°C 34°C และ 33°C ตามลำดับ จากนั้นอากาศจะไอลเข้าสู่ท่อได้คืนและมีอุณหภูมิอากาศที่ไอลออกจากท่อ (T_{f_2}) ลดลงจนเข้าใกล้อุณหภูมิผิวท่อคังที่ได้อธิบายไว้ข้างต้น โดยกรณีที่คืนมีความชื้นน้อยที่สุดจะสามารถลดอุณหภูมิอากาศที่ไอลผ่านท่อได้มากที่สุดเท่ากับ 5.5°C ลำดับต่อนามคือ กรณีคืนมีความชื้นปานกลาง 3.2°C และกรณีคืนที่มีความชื้นมากที่สุด 2.4°C อย่างไรก็ตามอุณหภูมิอากาศที่ไอลออกจากท่อจะมีการแกว่งตัวบ้างขึ้นอยู่กับช่วงเวลา โดยณ เวลา 0.00-9.00 น. อุณหภูมิอากาศที่ไอลออกจากท่อจะต่ำกว่าอุณหภูมิคืนและอุณหภูมิผิวท่อเล็กน้อย เนื่องจากอุณหภูมิอากาศที่ไอลเข้าสู่ท่อต่ำกว่าอุณหภูมิคืน และหลังจากเวลา 9.00 น. อุณหภูมิอากาศในท่อจะสูงขึ้นตามความร้อนที่ได้รับจากการรังสีอาทิตย์ และมีค่าสูงกว่าอุณหภูมิคืนมากขึ้นเรื่อยๆ

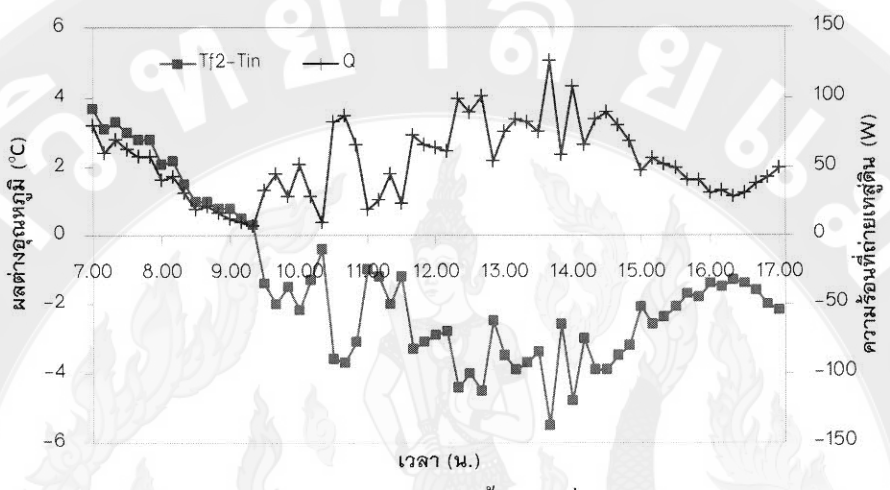
จากข้อมูลต่างๆ ในภาพที่ 22 ผู้จัดได้ทำการสรุปข้อมูลอุณหภูมิต่างๆ ดังในตารางที่ 10 ดังนี้

ตารางที่ 10 ค่าอุณหภูมิอากาศในการทดสอบกรณีความชื้นคืนต่างๆ

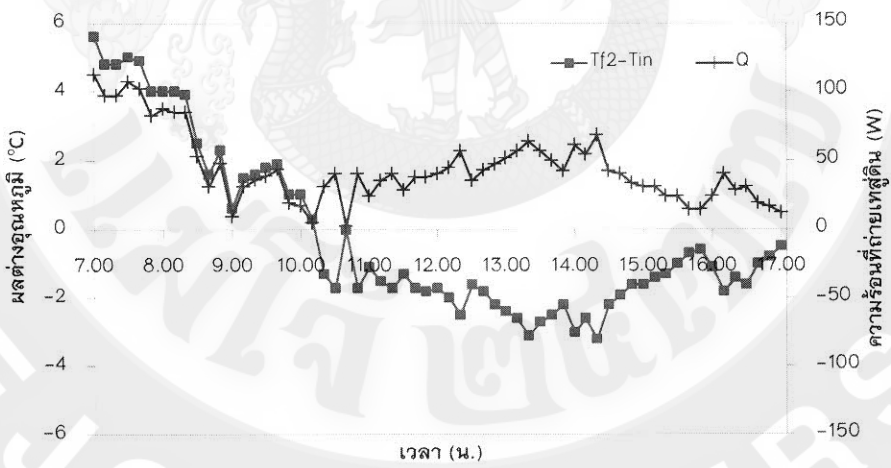
ข้อมูล	กรณีศึกษา		
	คืนมีความชื้น น้อยที่สุด	คืนมีความชื้น ปานกลาง	คืนมีความชื้น มากที่สุด
อุณหภูมิแวดล้อมสูงสุด ($^{\circ}\text{C}$)	35.20	33.80	32.80
อุณหภูมิแวดล้อมต่ำสุด ($^{\circ}\text{C}$)	25.10	24.30	23.90
อุณหภูมิอากาศที่ไอลเข้าท่อสูงสุด ($^{\circ}\text{C}$)	35.90	34.30	31.70
อุณหภูมิอากาศที่ไอลเข้าท่อต่ำสุด ($^{\circ}\text{C}$)	24.90	24.30	24.00
อุณหภูมิอากาศที่ไอลออกท่อสูงสุด ($^{\circ}\text{C}$)	30.70	31.50	30.00
อุณหภูมิอากาศที่ไอลออกท่อต่ำสุด ($^{\circ}\text{C}$)	28.20	28.90	28.00
อุณหภูมิคืนสูงสุด ($^{\circ}\text{C}$)	29.55	30.40	29.00
อุณหภูมิคืนต่ำสุด ($^{\circ}\text{C}$)	28.97	29.77	28.42
อุณหภูมิผิวท่อสูงสุด ($^{\circ}\text{C}$)	30.40	31.10	29.75
อุณหภูมิผิวท่อต่ำสุด ($^{\circ}\text{C}$)	28.75	29.95	28.70

4. สมรรถนะการทำความเย็นของท่อไนโตรเจนแบบตัวยูในกรณีต่างๆ

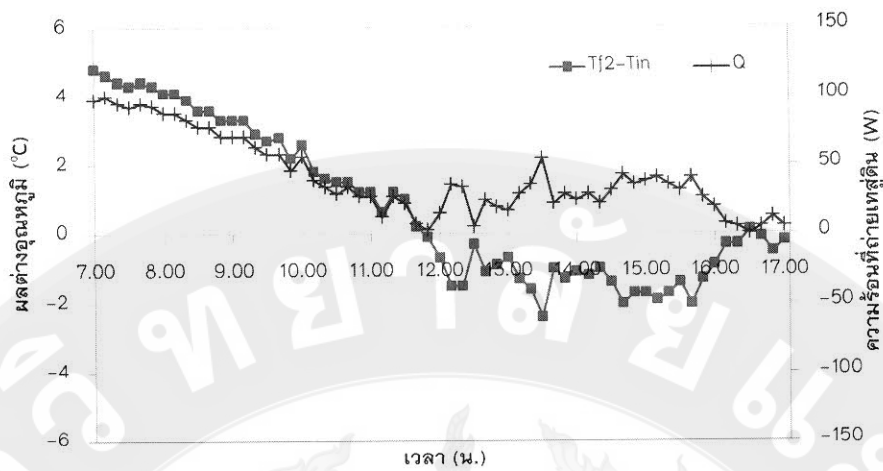
ความสามารถของการทำความเย็นของท่อไนโตรเจนแบบตัวยูในกรณีต่างๆ จะประเมินจากค่าแบบจำลองทางคอมพิวเตอร์ที่ใช้คำนวณค่าการถ่ายเทความร้อนสู่ดิน (Q) และค่าสัมประสิทธิ์สมรรถนะของระบบ (Coefficient of performance: COP) ซึ่งผลการศึกษามีดังนี้



(ก) กรณีดินมีความชื้นน้อยที่สุด



(ข) กรณีดินมีความชื้นปานกลาง

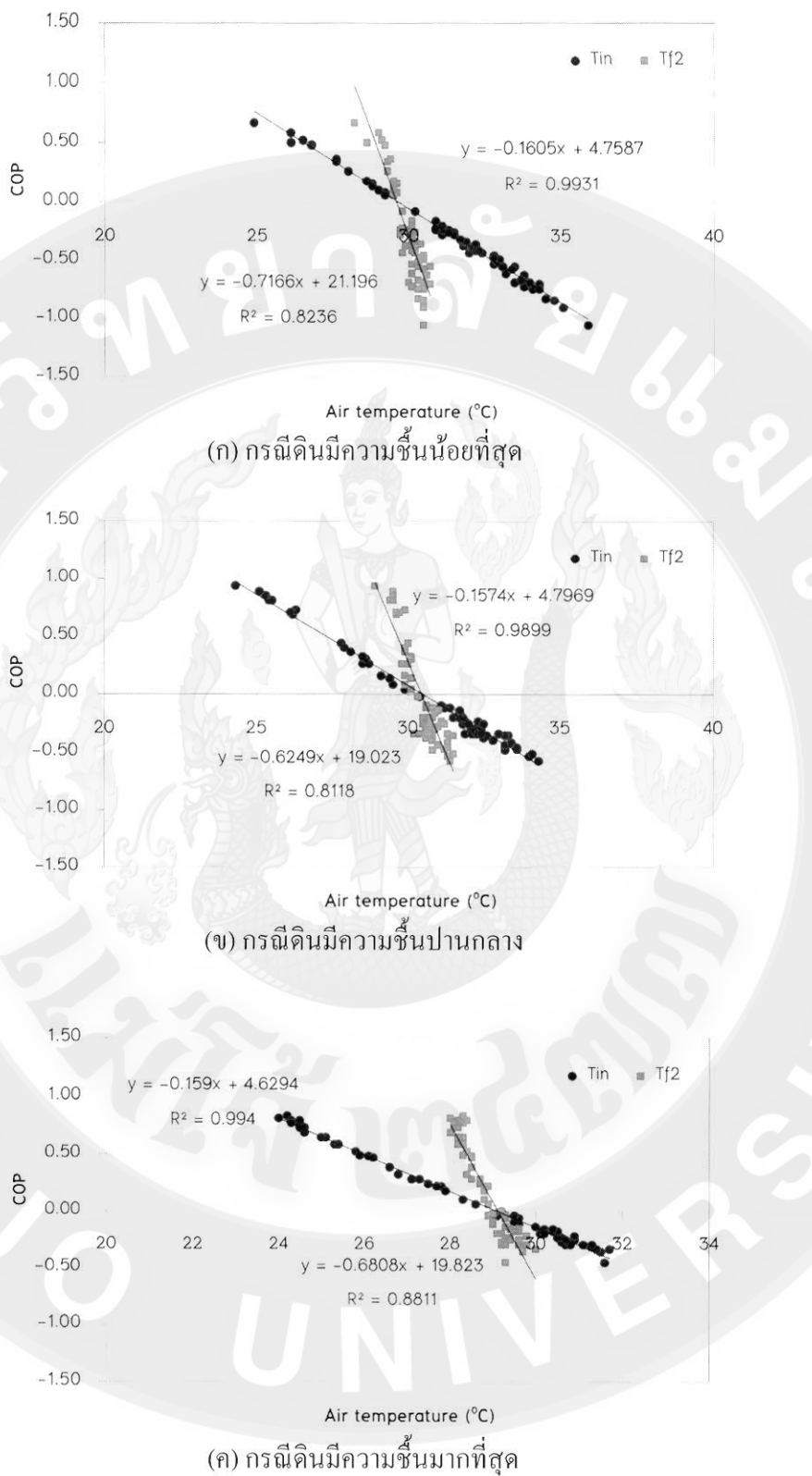


(ค) กรณีดินมีความชื้นมากที่สุด

ภาพที่ 23 ความร้อนที่ถ่ายเทสู่ดิน ในกรณีที่ดินมีความชื้นต่างๆ

จากภาพที่ 23 (ก)-(ค) แสดงถึงความร้อนที่ถ่ายเทจากห้องให้ดินแบบตัวยูที่ถ่ายเทสู่ดินบริเวณที่ทำการทดลองในกรณีต่างๆ พบว่า กรณีดินที่มีความชื้นน้อยที่สุดจะสามารถลดอุณหภูมิในห้องได้ $0-5.5^{\circ}\text{C}$ จึงทำให้ถ่ายเทความร้อนสู่ดินได้ ตั้งแต่เวลา 9.20-17.00 น. มีค่าเท่ากับ $9.57-126.78 \text{ W}$ คิดเป็นค่าความร้อนเฉลี่ย 58.87 W และมีค่าความจุความเย็น 2.70 kW/day ส่วนช่วงเวลา 7.00-9.20 น. ที่ห้องให้ดินจะรับความร้อนจากดิน จะมีค่าตั้งแต่ $7.20-80.31 \text{ W}$

สำหรับกรณีดินมีความชื้นปานกลางนั้น อุณหภูมิในห้องให้ดินจะลดลง $0-3.2^{\circ}\text{C}$ ทำให้ถ่ายเทความร้อนสู่ดินได้ตั้งแต่เวลา 10.20-17.00 น. มีค่าตั้งแต่ $2.39-68.44 \text{ W}$ คิดเป็นค่าเฉลี่ย 37.02 W และมีค่าความจุความเย็น 1.52 kW/day ส่วนช่วงเวลา 7.00-10.20 น. จะรับความร้อนจากดิน มีค่าตั้งแต่ $4.79-112.18 \text{ W}$ สำหรับกรณีดินที่มีความชื้นมากที่สุด อากาศที่ไหลผ่านห้องจะถูกลดอุณหภูมิลงตั้งแต่ $0-2.4^{\circ}\text{C}$ ทำให้ถ่ายเทความร้อนสู่ดินได้ตั้งแต่ 11.50-16.30 น. ซึ่งมีค่าอยู่ระหว่าง $4.79-54.75 \text{ W}$ มีค่าความจุความเย็นเท่ากับ 0.77 kW/day ส่วนช่วงเวลาอื่นๆ นั้น อากาศในห้องให้ดินจะเกิดการรับความร้อนจากดิน $7.21-100.02 \text{ W}$ จากข้อสังเกตจะเห็นได้ว่า กรณีที่ดินมีความชื้นน้อยที่สุดจะสามารถถ่ายเทความร้อนสู่ดินได้นานกว่ากรณีดินมีความชื้นปานกลาง และดินมีความชื้นมากที่สุด โดยระยะเวลาในการทำความเย็นประมาณ 8 ชั่วโมง, 6 ชั่วโมง และ 4 ชั่วโมง ตามลำดับ



ภาพที่ 24 สัมประสิทธิ์สมรรถนะของระบบท่อไอคิว ในกรณีที่ดินมีความชื้นต่างๆ

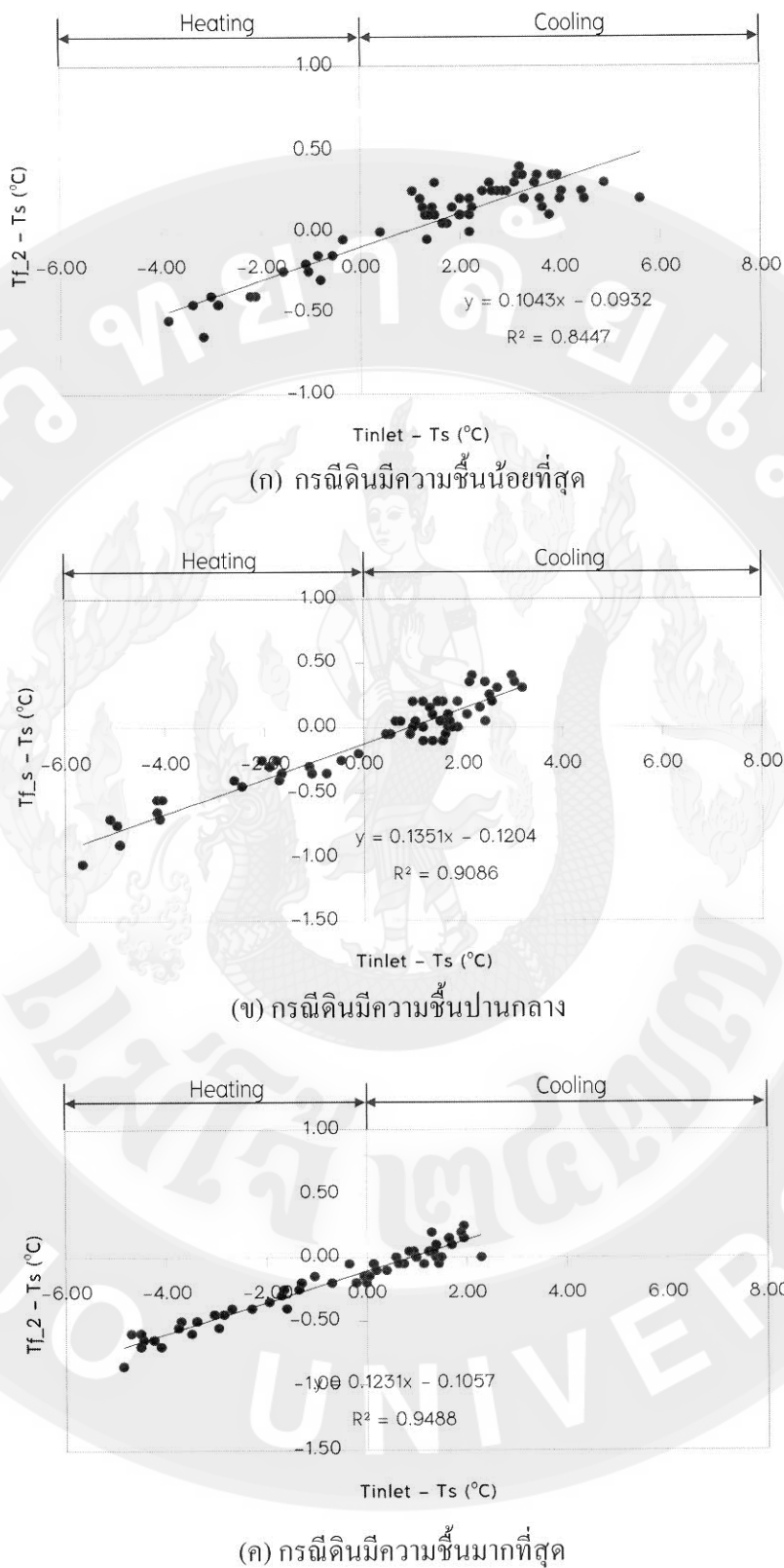
จากภาพที่ 24 (ก)-(ค) แสดงความสัมพันธ์ระหว่างอุณหภูมิอากาศที่ไหหลำเข้าท่อให้ดิน (T_{in}) และอุณหภูมิอากาศที่ไหหลอกจากท่อให้ดิน (T_{out}) กับค่าสัมประสิทธิ์สมรรถนะของระบบ (COP) ในกรณีดินที่มีความชื้นต่างๆ กัน พบว่า ความสัมพันธ์ของสมการทุกรูปเป็นสมการเส้นตรง (Linear equation) โดยค่า COP ของระบบท่อให้ดินจะขึ้นอยู่กับอุณหภูมิอากาศที่ไหหลำเข้าท่อ เมื่ออุณหภูมิอากาศที่ไหหลำเข้าท่อมีค่าสูงขึ้นและมีช่วงการแก่วงตัวของอุณหภูมิที่ไหหลำเข้าให้ดินระหว่างวันมากจะส่งผลให้ค่า COP ของระบบที่คำนวณได้เพิ่มขึ้น ดังตัวอย่างของอุณหภูมิอากาศที่ไหหลำเข้าสูงท่อให้ดินในกรณีดินมีความชื้นน้อยที่สุดเท่ากับ 35.9°C ทำให้ค่า COP มีค่าสูงสุดด้วยเห็นกัน ด้วย การเปลี่ยนแปลงในลักษณะนี้กรณีดินที่มีความชื้นน้อยที่สุดจึงมีค่า COP สูงกว่ากรณีดินมีความชื้นปานกลาง และดินมีความชื้นมากที่สุด โดยแต่ละกรณีมีค่า COP เท่ากับ 0.24-1.06, 0.02-0.57 และ 0.02-0.36 ตามลำดับ สำหรับค่า COP ของการทำความร้อนของท่อให้ดินจะที่เกิดขึ้นในช่วงเวลาเข้าของทุกรูป มีค่าแปรผันระหว่าง 0.06-0.93

วิจารณ์ผลการวิจัย

เมื่อวิเคราะห์ผลการเปลี่ยนแปลงของความเร็วอากาศที่เหมาะสมเพื่อนำมาใช้กับระบบห่อไอดิน พบว่า การเปิดมุมวinkel ด้านท่ออากาศเข้าที่ค่ามุนน้อยๆ จะให้ประสิทธิภาพการลดอุณหภูมิของอากาศที่ออกจากห่อไอดินต่ำกว่าการเปิดมุมวinkel ที่กว้างกว่า แต่ผลข้างเคียงที่ตามมาอุณหภูมิอากาศหลังจากผ่านพัดลมดูดอากาศ มีอุณหภูมิสูงกว่าอุณหภูมิของอากาศที่ผ่านจากห่อไอดินก่อน ไฟล์ผ่านพัดลมดูดอากาศ เนื่องจากอากาศที่ออกจากห่อไอดินความร้อนจากพัดลมดูดอากาศที่ติดไว้ที่ปลายทางออก ซึ่งทำให้อุณหภูมิเพิ่มขึ้นหลังจากผ่านพัดลมดูดอากาศ โดยการทดลองที่การเปิดวinkel 30° มีค่ามากที่สุด และมุน 45° 60° และ 90° ตามลำดับ

จากการวิเคราะห์พบว่า การเปิดมุมวinkel ค่าน้อยๆ จะทำให้มอเตอร์ของพัดลมทำงานที่ภาวะไฟล์ลดค่าอนข้างต่ำทำให้ตัวมอเตอร์เปลี่ยนพลังงานที่ได้จากพลังงานไฟฟ้าเป็นพลังงานความร้อน และเกิดการสะสมความร้อนที่ตัวพัดลมดูดอากาศ ความร้อนดังกล่าวได้ถ่ายเทสู่อากาศที่ไฟล์ผ่านทำให้อุณหภูมิอากาศสูงขึ้นอีกประการหนึ่งจะส่งผลต่อการสึกหรอหรือชำรุดของมอเตอร์พัดลมดูดอากาศในระยะยาว ดังนั้นการเปิดวinkel ควบคุมอัตราการไฟล์ของอากาศที่ 30° จึงไม่เหมาะสม สำหรับการเปิดวinkel ที่มุน 90° ลดอุณหภูมิของอากาศได้น้อยเกินไป จึงได้ทำการเปรียบเทียบผลการศึกษาจากมุนเปิดวinkel ที่ 45° และ 60° ซึ่งให้ค่าอุณหภูมิของอากาศที่เพิ่มขึ้นจากพัดลมดูดอากาศ ใกล้เคียงกันซึ่งเห็นได้อย่างชัดเจนว่า มุน 45° สามารถลดอุณหภูมิของอากาศที่ไฟล์ผ่านห่อไอดินมากที่สุด ดังนั้นในการทดลองเงื่อนไขการทดสอบระบบในกรณีสภาพแวดล้อมต่างๆ กัน เพื่อวิเคราะห์หาค่าสัมประสิทธิ์สมรรถนะของระบบ จึงเลือกใช้การควบคุมความเร็วของอากาศที่ไฟล์ผ่านห่อไอดินที่มุนเปิดของวinkel เท่ากับ 45°

สำหรับการศึกษาการทำงานของห่อไอดินแบบด้วยที่ความชื้นดินทั้ง 3 กรณี ได้แก่ ดินที่มีความชื้นน้อยที่สุด ดินที่มีความชื้นปานกลาง และดินที่มีความชื้นมากที่สุด โดยวิเคราะห์ความสัมพันธ์ระหว่างผลต่างอุณหภูมิอากาศที่ไฟล์เข้าห่อกับอุณหภูมิผิวห่อ (แกน x) และผลต่างระหว่างอุณหภูมิอากาศที่ไฟล์ออกจากห่อและอุณหภูมิผิวห่อ (แกน y) ของกรณีความชื้นดินทั้ง 3 กรณี ดังภาพที่ 25 (ก)-(ค) พบว่า การลดด้อยของเส้นแนวโน้มในรูปเป็นแบบเชิงเส้น (Linear regression) ที่มีค่าสัมประสิทธิ์ของการตัดสินใจ (R^2) ของสมการ เท่ากับ 0.84, 0.90 และ 0.94 ตามลำดับ



ภาพที่ 25 ผลต่างอุณหภูมิของอากาศที่ไหลเข้าท่อและผิวท่อเทียบกับผลต่างอุณหภูมิของอากาศที่ไหลออกจากท่อและผิวท่อ กรณีดินมีความชื้นต่างๆ

จากการวิเคราะห์ภาพที่ 25 พนักงานสังเกตว่า ปัจจัยหลักของการลดอุณหภูมิและความสามารถในการทำความเย็นของห้องให้ดีนั้นจะขึ้นอยู่กับความแตกต่างระหว่างอุณหภูมิอากาศแวดล้อมที่ไหลเข้าท่อและอุณหภูมิคินเป็นหลัก เช่น ในกรณีวันที่คืนมีความชื้นน้อย อุณหภูมิอากาศที่ไหลเข้าท่อในช่วงเวลากลางวันมากจะมีค่าสูงขึ้น จะส่งผลให้อากาศในห้องให้ดีนั้นสามารถถ่ายเทความร้อนให้กับคินได้มากขึ้น จึงสามารถลดอุณหภูมิอากาศที่ออกจากห้องให้มากกว่าและเป็นระยะเวลาบานกว่ากรณีคืนมีความชื้นปานกลางและคืนมีความชื้นมากที่สุด สำหรับผลเนื่องจากความชื้นคืนที่มีผลต่อการทำงานของห้องให้ดีนั้น พบว่า มีอิทธิพลน้อยเมื่อเทียบกับผลเนื่องจากการเปลี่ยนแปลงอุณหภูมิอากาศแวดล้อม ซึ่งได้รับความร้อนจากการส่องสว่างโดยตรง โดยดินที่มีความชื้นมากส่วนใหญ่แล้วจะอยู่ภายใต้สภาพอากาศที่มีฝนตกหรือไม่มีแคคค์ดินอื้นน้ำมากและมีอุณหภูมิก่อนข้างคงที่ เมื่ออากาศแวดล้อมที่มีปรบปรวนน้อยกว่าวันที่คืนมีความชื้นน้อยซึ่งส่วนใหญ่จะเป็นวันที่มีแคคค์ดให้ลดลงสูงท่อให้ดีนั้นที่มีอุณหภูมิคินบริเวณโดยรอบค่อนข้างคงที่ จะทำให้แตกเปลี่ยนความร้อนได้ในอัตราที่น้อยกว่าจึงทำให้ภาพรวมการลดอุณหภูมิอากาศในห้องให้ดีนั้นต่ำไปด้วย

นอกจากนั้นผู้จัยได้พับข้อสังเกต 2 ประการ จากผลการศึกษาในงานวิจัย

1. ชุดทดสอบห้องให้ดีนั้นแบบตัวยูที่ใช้ในการทดลองจะสามารถทำความเย็นได้ตั้งแต่ช่วงเวลา 09.00 น. ไปจนถึงเวลา 15.00 น. โดยประมาณ ลักษณะการเปลี่ยนแปลงของอุณหภูมิอากาศดังกล่าวส่งผลให้การทำงานของระบบแบ่งออกเป็น 2 ช่วง ได้แก่

1) ช่วงที่ 1 การเพิ่มความร้อนให้กับอากาศ (Heating system) ซึ่งอาจแบ่งได้อีก 2 กรณีคือ กรณีที่อุณหภูมิที่ไหลเข้าท่อมีค่าต่ำมากๆ เช่น ในเวลาเช้า และในกรณีที่พัดลมเกิดการสะสมความร้อนมากขึ้นและระยะสู่อากาศภายในออกได้น้อยลงในช่วงเวลาบ่ายถึงเย็น

2) ช่วงที่ 2 การลดอุณหภูมิอากาศ (Cooling system) กรณีที่อุณหภูมิอากาศไหลเข้าท่อให้ดีนั้นสูงกว่าอุณหภูมิคิน ดังนั้นหากนำห้องให้ดีนั้นไปใช้งานจริงสามารถเลือกใช้ในช่วงเวลาตามความต้องการ จะทำให้ช่วยให้ประหยัดพลังงานไฟฟ้ามากขึ้น

2. อุณหภูมนิของผิวห้องที่มีค่าพิวช์ที่นำมาใช้เป็นห้องให้ดีนั้นแบบตัวยู เมื่อนำมาฝังคินแล้วอุณหภูมิจะมีค่าใกล้เคียงกับอุณหภูมิคิน อย่างไรก็ตามเมื่อให้ห้องให้ดีนั้นทำงานตลอดทั้งวัน อุณหภูมิผิวห้องจะเริ่มสูงกว่าอุณหภูมิคินมากขึ้นเรื่อยๆ โดยเฉพาะในช่วงบ่าย จากการวิเคราะห์พบว่า เป็นผลมาจากการที่พิวช์มีค่าการนำความร้อน (Thermal conductivity) ต่ำ จึงระยะความร้อนออกสู่ดินไม่ทันกับความร้อนที่รับมาจากอากาศ ดังนั้นจึงเกิดการสะสมบริเวณผิวห้อง ซึ่งหากห้องให้ดีนั้นมีความหนามาก ก็จะเกิดการสะสมความร้อนมากขึ้น ดังนั้นการปรับปรุงระบบในอนาคตสามารถเลือกใช้สุดที่มีค่าการนำความร้อนสูง เช่น ห้องเหล็ก หรือห้องพิวช์ที่มีความหนาอย่างมาก ให้ดีนั้นที่ใช้ทำการทดสอบ แต่ควรจะพิจารณาถึงต้นทุนของการก่อสร้างร่วมด้วย

สรุปผลการวิจัย

ในงานวิจัยนี้ได้ทำการศึกษาสมรรถนะการทำความเย็นของท่อได้คินแบบตัวยูที่มีการใช้งานในเดือนที่มีความชื้นต่างๆ โดยมุ่งหวังว่าจะสามารถเพิ่มสมรรถนะในการทำความเย็นได้มากขึ้น ผ่านชุดทดสอบท่อได้คินแบบตัวยูที่ทำจากห่อพีวีซี เส้นผ่านศูนย์กลาง 8 cm ความยาว 12.5 m ผ่านการใช้งานแบบ Open loop หรือการใช้อากาศแวดล้อมผ่านท่อได้คินเพื่อทำความเย็น ในการศึกษาแบบเป็น 2 ส่วน ได้ การหาความเร็วอากาศในท่อได้คินที่เหมาะสม เพื่อนำไปสู่การศึกษาในส่วนที่ 2 คือ การศึกษาสมรรถนะการทำความเย็นของท่อได้คินกรณีใช้งานในเดือนที่มีความชื้นต่างๆ

จากการทดลองเพื่อหาความเร็วที่เหมาะสมของระบบท่อได้คินผ่านการทดลองชุดทดสอบ U-tube heat exchanger โดยกำหนดตัวแปรที่ทำการศึกษาคือ น้ำมูลของวาร์วที่ควบคุมอากาศที่ไหลเข้าท่อที่ 30° 45° 60° และ 90° จากผลการทดลองทำให้ทราบว่า การศึกษาจากน้ำมูลเปิดวาร์วควบคุมอัตราการไหลของอากาศที่ 45° มีความเหมาะสมที่สุดสำหรับชุดทดสอบ U-tube heat exchanger ที่ออกแบบในงานวิจัยนี้ สำหรับการทดสอบท่อได้คินแบบตัวยูที่ฝังอยู่ภายในได้คินที่ความชื้นต่างๆ กัน 3 กรณี ได้แก่ กรณีเดือนมีความชื้นน้อยที่สุด กรณีเดือนมีความชื้นปานกลาง และกรณีเดือนมีความชื้นมากที่สุด จากผลการศึกษา ทำให้ทราบว่า การที่เดือนมีความชื้นเดือนมากจะสามารถลดอุณหภูมิเดินต่ำกว่ากรณีอื่นๆ เล็กน้อย ประมาณ 1°C แต่มีนัยสำคัญต่อการเพิ่มสมรรถนะของระบบทำความเย็นโดยใช้ห่อได้คินน้อย กล่าวคือ ความชื้นเดินส่งผลต่อการลดอุณหภูมิและเพิ่มสมรรถนะการทำความเย็นของระบบท่อได้คินน้อยมากเมื่อเทียบกับการเปลี่ยนแปลงของอุณหภูมิอากาศที่ไหลเข้าห่อซึ่งเป็นอากาศแวดล้อม โดยเฉพาะกรณีที่อากาศแวดล้อมที่มีอุณหภูมิสูงมากไหลเข้าสู่ห่อได้คินที่มีอุณหภูมิคงที่จะทำให้ได้สมรรถนะของระบบสูงสุด

ดังนั้นหากจะนำห่อได้คินแบบตัวยูไปประยุกต์ใช้ในโรงเรือนเกยตรกรรม ควรเลือกใช้งานในกรณีที่เดือนมีความชื้นน้อยที่สภาวะอากาศที่มีห้องฟ้าเปิด มีแสงแดด จะมีความเหมาะสมมากที่สุด เนื่องจากห่อได้คินจะทำงานได้ประสิทธิภาพสูงสุดและสามารถลดอุณหภูมิอากาศในห่อได้คิน เมื่อนำไปใช้ทำความเย็นในโรงเรือนจะสามารถลดอุณหภูมิในโรงเรือนได้มาก เช่นกัน อีกทั้งสามารถลดอุณหภูมิได้ในช่วงเวลาที่ยาวนานกว่าความชื้นเดินกรณีอื่นๆ อีกด้วย

ເອກສາຮອ້າງອີງ

Adu-Hamdeh, N.H. 2003. Thermal properties of soils as affected by density and water content. **Biosystems Engineering**. 86(1): 97-102.

Anderaland, O.B., and Ladanyi, B. 2004. **Frozen Ground Engineering**. The American Society of Civil Engineering and John Wiley and Sons: United State of America: 384 pages.

Dubey, M., Bhagoria, J.L. and Atullanjewar. 2013. Earth-air heat exchangers in Parallel Connection. **Engineering Trends and Technology**. 6: 2231-2381.

Gosal, M.K. and Tiwari, G.N. 2006. Modeling and parametric studies for thermal performance of an earth to air heat exchanger Integrated with a greenhouse. **Energy Conversion and Management**. 47: 1779-1798.

Hillel, D. 1998. **Environmental soil physics**. Academic Press: United State of America. 771 pages.

Incropera, F.P. Dewitt, D.P., Bergman, T.L. and Lavine, A.S. 2007. **Fundamentals of heat and mass transfer**. John Willy & Sons: United State of America: 486-533.

Miller, R. W. and Donahue, R.L. 1995. **Soil in our Environment**. Prentice Hall: United State of America: 95-126.

Mongkon, S. Thepa S. Namprakai P. and Pratinthong N. 2013. Cooling performance and condensation evaluation of horizontal earth tube system for the tropical greenhouse. **Energy and Buildings**. 66: 104-111.

Mongkon, S. Thepa S. Namprakai P. and Pratinthong N. 2014. Cooling performance assessment of horizontal earth tube system and effect on planting in tropical greenhouse. **Energy Conversion and Management**. 78: 225-236.

Poulvassilis, A. Kerkides, P. Alexandris, S. and Rizos, S. 1998. A contribution to the study of the water and energy balances of an irrigated soil profile: A heat flux estimates. **Soil & Tillage Research**. 15: 189-198.

Smith, K. A. and Mullins, C.E. 2001. **Soil and environmental analysis**. Physical Method, Marcel Dekker: United State of America: 539-563.

Tiwari, G.N. 2003. **Greenhouse technology for controlled environment**. Alpha Science International: United Kingdom: 226-331.

Tiwari, G.N. Akhtar, M.A. Shula, Ashish and Khan, Emran, M. 2006. Annual thermal performance of greenhouse with an earth-air heat exchangers: An experimental validation. **Renewable Energy**. 31: 2432-2446.

วัฒนา ธรรมมงคล และวนิช ช่อวิเชียร. 2532. **ปฐพีกศาสตร์**. พิมพ์ลักษณ์: กรุงเทพ: 328 หน้า.

ชูศักดิ์ ศรีรัตน์. 2554. **ปฐพีกศาสตร์**. พิมพ์ลักษณ์: กรุงเทพ. 813 หน้า.
นานะ อภิพัฒน์มนตรี. 2535. **วิศวกรรมปฐพีและฐานราก**. พิมพ์ครั้งที่ 4. สมาคมส่งเสริม
เทคโนโลยี (ไทย-ญี่ปุ่น): 410 หน้า.
ส่ง ตั้งชาล. 2541. **ธรณีวิศวกรรมขั้นพื้นฐาน**. พิมพ์ครั้งที่ 4. สำนักพิมพ์แห่งจุฬาลงกรณ์
มหาวิทยาลัย: กรุงเทพ. 460 หน้า.

ภาคผนวก ก.1 ผลการทดสอบกรณีเปิดความร้อน 30°

30 Degree SamplingTime	Tinlet (°C)	Ts_1 (°C)	Tf_1 (°C)	Ts_2 (°C)	Ts (°C)	Tf_2 (°C)	Tg_1 (°C)	Tg_2 (°C)	Tg_3 (°C)	Tg_4 (°C)	Tg_5 (°C)	Tg_6 (°C)	Tg (°C)	Tamb (°C)	Tf_2-Tinlet (°C)
7:00	26.6	29.80	29.50	29.70	29.75	28.70	29.70	29.50	29.60	29.50	29.60	29.50	29.57	26.60	2.10
7:10	26.6	29.80	29.50	29.70	29.75	28.70	29.70	29.50	29.60	29.50	29.60	29.50	29.57	26.60	2.10
7:20	27	30.20	29.90	30.20	30.20	29.60	29.90	29.70	30.00	29.90	30.00	30.00	29.92	27.30	2.60
7:30	28	30.60	30.30	30.60	30.60	30.40	30.20	29.90	30.10	30.00	30.10	30.00	30.05	27.40	2.40
7:40	27.5	30.40	30.20	30.40	30.40	30.40	30.20	29.80	30.30	30.20	30.30	30.20	30.17	27.90	2.90
7:50	28.7	30.80	30.70	30.90	30.85	31.00	30.40	30.10	30.20	30.10	30.30	30.10	30.20	28.00	2.30
8:00	28.6	30.70	30.50	30.70	30.70	30.90	30.40	30.20	30.20	30.10	30.30	30.10	30.22	27.90	2.30
8:10	28.4	30.50	30.30	30.40	30.45	30.60	30.40	30.20	30.00	29.80	30.00	29.80	30.03	28.10	2.20
8:20	28.6	30.30	30.10	30.40	30.35	30.60	30.50	30.30	29.90	29.80	29.90	29.80	30.03	28.10	2.00
8:30	28.9	30.30	30.20	30.10	30.20	30.50	30.40	30.10	29.80	29.70	29.70	29.60	29.88	28.10	1.60
8:40	29	30.10	30.10	30.00	30.05	30.40	30.20	30.00	29.90	29.70	29.80	29.80	29.90	28.20	1.40
8:50	29.1	30.00	30.00	29.90	29.95	30.30	30.10	29.90	29.90	29.70	29.80	29.70	29.85	28.40	1.20
9:00	28.8	30.10	30.00	30.00	30.05	30.30	30.20	30.00	29.90	29.70	29.80	29.70	29.88	29.10	1.50
9:10	30.5	30.00	30.20	30.00	30.00	30.50	30.20	29.90	29.80	29.60	29.70	29.60	29.80	29.30	0.00
9:20	30.2	30.30	30.30	30.10	30.20	30.60	30.30	30.10	29.80	29.70	29.70	29.60	29.87	29.20	0.40
9:30	31.2	30.30	30.40	30.10	30.20	30.60	30.40	30.10	29.80	29.60	29.70	29.60	29.87	29.50	-0.60
9:40	31.6	30.30	30.30	30.20	30.25	30.70	30.30	30.20	29.70	29.50	29.60	29.50	29.80	29.30	-0.90

ภาคผนวก ก.1 ผลการทดลองกรณีเปิดวาล์วม 30° (ต่อ)

30 Degree Sampling Time	Tinlet (°C)	Ts_1 (°C)	Tf_1 (°C)	Ts_2 (°C)	Ts (°C)	Tf_2 (°C)	Tg_1 (°C)	Tg_2 (°C)	Tg_3 (°C)	Tg_4 (°C)	Tg_5 (°C)	Tg_6 (°C)	Tg (°C)	Tamb (°C)	Tf_2-Tinlet (°C)
9:50	29.90	30.20	30.30	30.10	30.15	30.70	30.30	30.10	29.80	29.70	29.70	29.70	29.88	31.00	0.80
10:00	30.10	30.20	30.30	30.10	30.15	30.70	30.30	30.10	29.80	29.60	29.60	29.60	29.83	29.90	0.60
10:10	30.20	30.20	30.30	30.20	30.20	30.80	30.40	30.30	29.70	29.50	29.60	29.50	29.83	29.60	0.60
10:20	32.30	29.90	30.20	29.80	29.85	30.50	30.20	29.90	29.80	29.60	29.60	29.50	29.77	30.40	-1.80
10:30	31.30	30.20	30.40	30.00	30.10	30.80	30.20	30.10	29.80	29.50	29.70	29.50	29.80	30.40	-0.50
10:40	32.20	30.10	30.40	30.10	30.10	30.80	30.40	30.10	29.60	29.40	29.40	29.40	29.72	29.80	-1.40
10:50	33.70	30.30	30.60	30.20	30.25	31.00	30.30	30.20	29.60	29.60	29.50	29.50	29.78	31.50	-2.70
11:00	32.60	30.30	30.70	30.20	30.25	31.10	30.50	30.20	29.70	29.50	29.60	29.50	29.83	30.60	-1.50
11:10	33.30	30.30	30.60	30.30	30.30	31.10	30.30	30.20	29.80	29.60	29.60	29.50	29.83	31.10	-2.20
11:20	32.40	30.20	30.60	30.10	30.15	31.10	30.30	30.20	29.70	29.60	29.60	29.50	29.82	30.80	-1.30
11:30	32.70	29.90	30.40	29.90	29.90	30.80	30.30	29.90	29.80	29.60	29.60	29.50	29.78	31.00	-1.90
11:40	33.20	30.30	30.70	30.30	30.30	31.20	30.50	30.30	29.70	29.50	29.50	29.40	29.82	31.20	-2.00
11:50	32.80	30.10	30.60	30.10	30.10	30.90	30.20	30.00	29.70	29.50	29.50	29.40	29.72	31.40	-1.90
12:00	31.90	30.20	30.70	30.20	30.20	31.20	30.40	30.20	29.70	29.50	29.50	29.40	29.78	32.40	-0.70
12:10	33.60	30.10	30.60	30.10	30.10	31.10	30.30	30.10	29.80	29.60	29.50	29.50	29.80	31.50	-2.50
12:20	34.30	30.30	30.90	30.40	30.35	31.40	30.50	30.20	29.70	29.60	29.60	29.50	29.85	32.30	-2.90
12:30	33.70	30.20	30.80	30.30	30.25	31.40	30.50	30.20	29.60	29.50	29.40	29.40	29.77	31.50	-2.30

ภาคผนวก ก.1 ผลการทดสอบของกรณีเปิดวาล์วมุม 30° (ต่อ)

30 Degree SamplingTime	Tinlet (°C)	Ts_1 (°C)	Tf_1 (°C)	Ts_2 (°C)	Ts (°C)	Tf_2 (°C)	Tg_1 (°C)	Tg_2 (°C)	Tg_3 (°C)	Tg_4 (°C)	Tg_5 (°C)	Tg_6 (°C)	Tg (°C)	Tamb (°C)	Tf_2-Tinlet (°C)
12:40	34.20	30.20	30.80	30.20	30.20	31.20	30.30	30.10	29.60	29.30	29.30	29.50	29.68	31.90	-3.00
12:50	34.60	30.20	30.80	30.20	30.20	31.20	30.20	30.00	29.80	29.60	29.60	29.50	29.78	32.70	-3.40
13:00	34.30	30.30	30.90	30.40	30.35	31.40	30.40	30.20	29.80	29.50	29.40	29.40	29.78	33.40	-2.90
13:10	34.90	30.30	30.90	30.40	30.35	31.60	30.40	30.20	29.80	29.60	29.60	29.50	29.85	33.10	-3.30
13:20	33.30	30.20	30.80	30.30	30.25	31.40	30.50	30.30	29.70	29.30	29.30	29.30	29.73	31.70	-1.90
13:30	32.60	29.90	30.50	30.00	29.95	31.00	30.40	30.10	29.80	29.60	29.50	29.40	29.80	31.20	-1.60
13:40	32.50	30.00	30.60	30.00	30.00	31.00	30.50	30.30	29.70	29.40	29.30	29.30	29.75	31.40	-1.50
13:50	32.30	30.00	30.40	30.00	30.00	30.90	30.50	30.20	29.60	29.30	29.10	29.10	29.63	30.80	-1.40
14:00	32.90	29.80	30.30	29.90	29.85	30.80	30.30	30.10	29.60	29.40	29.30	29.20	29.65	31.20	-2.10
14:10	34.00	30.10	30.70	30.20	30.15	31.10	30.20	30.00	29.80	29.50	29.40	29.30	29.70	32.30	-2.90
14:20	33.80	30.20	30.80	30.20	30.20	31.20	30.20	30.00	29.90	29.70	29.70	29.50	29.83	32.10	-2.60
14:30	33.90	30.20	30.70	30.30	30.25	31.30	30.40	30.20	30.00	29.80	29.70	29.60	29.95	32.20	-2.60
14:40	33.80	30.10	30.60	30.10	30.10	31.00	30.30	30.00	29.80	29.60	29.40	29.30	29.73	32.20	-2.80
14:50	31.10	30.20	30.80	30.40	30.30	31.50	30.70	30.40	29.80	29.50	29.40	29.40	29.87	29.80	0.40
15:00	29.00	30.20	30.70	30.70	30.45	32.00	30.50	30.30	29.50	29.30	29.10	29.10	29.63	27.80	3.00
15:10	27.70	29.80	30.10	30.10	29.95	30.90	30.70	30.40	29.30	29.00	28.90	28.90	29.53	26.80	3.20
15:20	26.80	29.70	29.90	30.00	29.85	30.40	30.50	30.30	29.10	28.70	28.60	28.60	29.30	26.00	3.60

ภาคผนวก ก.1 ผลการทดสอบกรณีเปิดความลึก 30° (ต่อ)

30 Degree Sampling Time	Tinlet (°C)	Ts_1 (°C)	Tf_1 (°C)	Ts_2 (°C)	Ts (°C)	Tf_2 (°C)	Tg_1 (°C)	Tg_2 (°C)	Tg_3 (°C)	Tg_4 (°C)	Tg_5 (°C)	Tg_6 (°C)	Tg (°C)	Tamb (°C)	Tf_2-Tinlet (°C)
15:30	26.60	29.60	29.60	29.70	29.65	30.10	30.50	30.20	29.20	28.80	28.70	28.60	29.33	25.80	3.50
15:40	26.80	29.60	29.50	29.40	29.50	29.80	30.30	30.20	29.20	28.90	28.80	28.60	29.33	26.00	3.00
15:50	26.60	29.50	29.30	29.40	29.45	29.80	30.30	30.00	29.30	29.00	28.90	28.90	29.40	26.40	3.20
16:00	27.00	29.70	29.50	29.60	29.65	30.00	30.30	30.20	29.30	29.10	29.00	28.90	29.47	26.60	3.00
16:10	27.20	29.90	29.70	29.80	29.85	30.20	30.60	30.40	29.30	29.00	29.00	28.90	29.53	26.70	3.00
16:20	27.20	29.80	29.70	29.70	29.75	30.20	30.50	30.20	29.40	29.10	29.10	29.00	29.55	27.00	3.00
16:30	27.30	29.90	29.70	29.80	29.85	30.30	30.30	30.20	29.50	29.20	29.20	29.10	29.58	26.90	3.00
16:40	27.50	29.90	29.70	29.90	29.90	30.30	30.50	30.20	29.60	29.30	29.30	29.20	29.68	26.90	2.80
16:50	27.30	29.90	29.60	29.80	29.85	30.30	30.50	30.20	29.50	29.30	29.30	29.10	29.65	26.90	3.00
17:00	27.30	29.80	29.50	29.90	29.85	30.40	30.50	30.30	29.60	29.30	29.20	29.10	29.67	27.00	3.10

ภาคผนวก ก.2 ผลการทดลองกรณีเปิดวาล์วมุม 45°

45 Degree Sampling Time	Tinlet (°C)	Ts_1 (°C)	Tf_1 (°C)	Ts_2 (°C)	Ts (°C)	Tf_2 (°C)	Tg_1 (°C)	Tg_2 (°C)	Tg_3 (°C)	Tg_4 (°C)	Tg_5 (°C)	Tg_6 (°C)	Tg (°C)	Tamb (°C)	Tf_2-Tinlet (°C)	
7:00	26.1	29.50	28.50	29.40	29.45	28.90	29.20	29.40	29.20	29.40	29.40	29.30	29.32	26.70	2.80	
7:10	26.9	29.70	28.80	29.50	29.60	29.20	29.30	29.30	29.50	29.80	29.80	29.70	29.57	27.40	2.30	
7:20	27.3	30.00	29.20	29.80	29.90	29.60	29.50	29.70	29.40	29.70	29.70	29.60	29.60	27.60	2.30	
7:30	27.9	30.00	29.40	29.80	29.90	29.70	29.70	29.70	29.40	29.60	29.70	29.60	29.62	27.70	1.80	
7:40	28.6	30.10	29.60	30.00	30.05	29.90	29.70	29.70	29.90	29.50	29.60	29.70	29.60	29.67	28.10	1.30
7:50	28.1	30.10	29.50	29.90	30.00	29.80	29.70	29.90	29.40	29.60	29.70	29.60	29.65	29.00	1.70	
8:00	28.6	30.00	29.80	29.80	29.90	29.80	29.70	29.80	29.50	29.70	29.80	29.70	29.70	29.00	1.20	
8:10	28.5	30.00	29.70	29.80	29.90	29.90	29.70	29.80	29.50	29.70	29.80	29.70	29.70	28.80	1.40	
8:20	28.9	30.10	29.70	29.80	29.95	29.80	29.80	29.90	29.30	29.50	29.60	29.40	29.58	28.90	0.90	
8:30	29.1	30.00	29.70	29.90	29.95	29.90	29.90	29.90	29.50	29.60	29.80	29.60	29.72	29.60	0.80	
8:40	28.60	29.80	29.50	29.70	29.75	29.70	29.80	29.90	29.30	29.50	29.60	29.50	29.60	28.80	1.10	
8:50	28.80	29.80	29.50	29.70	29.75	29.70	29.80	29.80	29.30	29.50	29.50	29.40	29.55	29.10	0.90	
9:00	28.70	29.90	29.70	29.90	29.90	29.90	30.00	30.00	29.20	29.30	29.30	29.30	29.52	29.90	1.20	
9:10	29.30	29.90	29.80	29.80	29.85	29.90	30.00	30.00	29.10	29.20	29.30	29.20	29.47	29.50	0.60	
9:20	29.30	29.90	29.80	29.80	29.85	30.00	30.00	30.00	29.10	29.20	29.30	29.20	29.47	30.30	0.70	
9:30	29.60	30.00	29.90	29.80	29.90	30.00	30.00	30.00	29.20	29.30	29.40	29.30	29.53	30.50	0.40	
9:40	29.60	30.00	30.00	29.90	29.95	30.10	30.00	30.00	29.20	29.30	29.40	29.30	29.53	30.90	0.50	

ภาคผนวก ก.2 ผลการทดสอบกรณีเปิดวาล์วมุม 45° (ต่อ)

45 Degree SamplingTime	Tinlet (°C)	Ts_1 (°C)	Tf_1 (°C)	Ts_2 (°C)	Ts (°C)	Tf_2 (°C)	Tg_1 (°C)	Tg_2 (°C)	Tg_3 (°C)	Tg_4 (°C)	Tg_5 (°C)	Tg_6 (°C)	Tg (°C)	Tamb (°C)	Tf_2-Tinlet (°C)
9:50	30.40	30.10	30.30	30.10	30.10	30.20	29.90	30.00	29.10	29.20	29.30	29.20	29.45	31.40	-0.20
10:00	30.40	30.00	30.40	30.00	30.00	30.20	30.00	30.00	29.30	29.40	29.50	29.40	29.60	32.10	-0.20
10:10	31.60	30.10	30.50	30.10	30.10	30.20	29.90	30.00	29.30	29.60	29.60	29.50	29.65	31.20	-1.40
10:20	31.00	30.20	30.70	30.20	30.20	30.50	30.00	30.10	29.40	29.50	29.60	29.60	29.70	31.80	-0.50
10:30	31.50	30.20	30.70	30.20	30.20	30.40	30.10	30.10	29.20	29.50	29.50	29.40	29.63	32.70	-1.10
10:40	31.50	29.90	30.60	30.00	29.95	30.30	29.90	29.90	29.30	29.40	29.40	29.40	29.55	32.60	-1.20
10:50	32.10	30.10	30.90	30.30	30.20	30.50	30.00	30.10	29.20	29.40	29.40	29.40	29.58	35.10	-1.60
11:00	33.30	30.20	31.20	30.30	30.25	30.60	30.10	30.10	29.30	29.40	29.60	29.40	29.65	34.30	-2.70
11:10	32.30	30.20	31.30	30.50	30.35	30.70	30.00	30.10	29.40	29.50	29.50	29.50	29.67	32.80	-1.60
11:20	33.30	30.20	31.40	30.50	30.35	30.70	30.10	30.10	29.30	29.50	29.50	29.40	29.65	33.60	-2.60
11:30	31.80	30.30	31.30	30.60	30.45	30.80	30.20	30.30	29.30	29.50	29.40	29.30	29.67	33.50	-1.00
11:40	32.90	30.10	31.10	30.30	30.20	30.60	30.00	30.00	29.40	29.60	29.60	29.50	29.68	32.90	-2.30
11:50	31.90	30.20	31.10	30.40	30.30	30.70	30.10	30.10	29.30	29.40	29.40	29.30	29.60	34.10	-1.20
12:00	32.00	30.20	31.20	30.50	30.35	30.70	30.20	30.20	29.30	29.40	29.40	29.40	29.65	32.10	-1.30
12:10	32.90	30.20	31.20	30.50	30.35	30.70	30.30	30.30	29.10	29.20	29.10	29.10	29.52	32.40	-2.20
12:20	33.20	30.00	31.20	30.30	30.15	30.50	30.00	30.00	29.10	29.20	29.20	29.10	29.43	33.10	-2.70
12:30	32.10	30.20	31.30	30.50	30.35	30.80	30.30	30.20	29.30	29.50	29.40	29.40	29.68	33.60	-1.30

ภาคผนวก ก.2 ผลการทดสอบกรณีเปิดดาวล้วมุน 45°(ต่อ)

45 Degree SamplingTime	Tinlet (°C)	Ts_1 (°C)	Tf_1 (°C)	Ts_2 (°C)	Ts (°C)	Tf_2 (°C)	Tg_1 (°C)	Tg_2 (°C)	Tg_3 (°C)	Tg_4 (°C)	Tg_5 (°C)	Tg_6 (°C)	Tg (°C)	Tamb (°C)	Tf_2-Tinlet (°C)
12:40	32.20	30.10	31.30	30.50	30.30	30.70	30.00	30.00	29.40	29.50	29.40	29.40	29.62	33.70	-1.50
12:50	33.20	30.00	31.40	30.30	30.15	30.70	30.00	29.90	29.40	29.50	29.30	29.40	29.58	34.20	-2.50
13:00	32.60	30.20	31.50	30.50	30.35	30.90	30.10	30.10	29.30	29.50	29.30	29.30	29.60	34.50	-1.70
13:10	33.30	30.30	31.80	30.70	30.50	31.10	30.00	30.10	29.40	29.60	29.40	29.50	29.67	34.00	-2.20
13:20	33.60	30.40	31.80	30.60	30.50	30.90	30.10	30.10	29.40	29.50	29.40	29.30	29.63	33.20	-2.70
13:30	32.90	30.30	31.60	30.70	30.50	31.00	30.30	30.30	29.30	29.50	29.30	29.30	29.67	33.70	-1.90
13:40	32.90	30.20	31.60	30.70	30.45	30.90	30.20	30.20	29.40	29.50	29.40	29.30	29.67	34.20	-2.00
13:50	32.70	30.00	31.30	30.40	30.20	30.70	30.10	30.00	29.30	29.40	29.20	29.20	29.53	33.60	-2.00
14:00	34.30	30.10	31.60	30.50	30.30	30.80	29.90	29.90	29.30	29.40	29.30	29.20	29.50	34.30	-3.50
14:10	33.30	30.40	31.80	30.80	30.60	31.10	30.20	30.20	29.30	29.50	29.40	29.30	29.65	33.90	-2.20
14:20	35.10	30.40	32.00	30.80	30.60	31.10	29.90	30.10	29.30	29.40	29.30	29.30	29.55	34.70	-4.00
14:30	33.30	30.30	31.70	30.80	30.55	31.00	30.20	30.10	29.60	29.70	29.50	29.40	29.75	33.50	-2.30
14:40	34.80	30.50	32.10	30.90	30.70	31.20	29.80	29.80	29.70	29.80	29.60	29.50	29.70	35.70	-3.60
14:50	33.80	30.50	31.90	30.80	30.65	31.10	30.00	30.00	29.60	29.90	29.60	29.60	29.78	33.90	-2.70
15:00	32.90	30.40	31.70	30.80	30.60	31.10	30.40	30.30	29.50	29.70	29.50	29.40	29.80	32.90	-1.80
15:10	34.80	30.00	31.50	30.40	30.20	30.70	30.00	30.00	29.50	29.50	29.30	29.30	29.60	34.20	-4.10
15:20	32.90	30.20	31.50	30.70	30.45	30.90	30.10	30.10	29.50	29.60	29.40	29.40	29.68	33.90	-2.00

ภาคผนวก ก.2 ผลการทดสอบกรณีเปิดความร้อน 45°(ต่อ)

45 Degree Sampling Time	Tinlet (°C)	Ts_1 (°C)	Tf_1 (°C)	Ts_2 (°C)	Ts (°C)	Tf_2 (°C)	Tg_1 (°C)	Tg_2 (°C)	Tg_3 (°C)	Tg_4 (°C)	Tg_5 (°C)	Tg_6 (°C)	Tg (°C)	Tamb (°C)	Tf_2-Tinlet (°C)
15:30	33.00	30.10	31.50	30.60	30.35	30.80	30.20	30.10	29.30	29.40	29.20	29.20	29.57	33.00	-2.20
15:40	33.00	30.10	31.40	30.50	30.30	30.80	30.00	30.00	29.40	29.50	29.30	29.30	29.58	33.00	-2.20
15:50	33.60	30.20	31.70	30.70	30.45	31.00	30.00	30.10	29.50	29.70	29.40	29.40	29.68	33.30	-2.60
16:00	33.20	30.30	31.60	30.70	30.50	31.00	30.20	30.10	29.50	29.50	29.40	29.30	29.67	33.20	-2.20
16:10	34.30	30.40	31.90	30.90	30.65	31.10	30.10	30.10	29.40	29.50	29.20	29.20	29.58	34.70	-3.20
16:20	33.70	30.40	31.90	30.70	30.55	31.10	29.80	29.80	29.70	29.90	29.70	29.60	29.75	33.90	-2.60
16:30	33.80	31.00	32.30	31.70	31.35	32.20	30.70	30.80	30.20	30.30	30.10	30.20	30.38	34.10	-1.60
16:40	33.90	31.50	32.70	32.20	31.85	33.00	31.20	31.10	30.60	30.70	30.50	30.60	30.78	34.00	-0.90
16:50	33.30	31.00	32.20	31.60	31.30	32.00	30.40	30.50	30.10	30.20	30.10	30.10	30.23	33.20	-1.30
17:00	32.80	30.70	31.80	31.30	31.00	31.50	30.10	30.10	29.70	30.00	29.60	29.50	29.83	32.80	-1.30

ภาคผนวก ก.3 ผลการทดสอบกรณีเปิดดาวล้วมุ่ม 60°

60 Degree Sampling Time	Tinlet (°C)	Ts_1 (°C)	Tf_1 (°C)	Ts_2 (°C)	Ts (°C)	Tf_2 (°C)	Tg_1 (°C)	Tg_2 (°C)	Tg_3 (°C)	Tg_4 (°C)	Tg_5 (°C)	Tg_6 (°C)	Tg (°C)	Tamb (°C)	Tf_2-Tinlet (°C)
7:00	26.6	30.10	28.60	29.60	29.85	29.00	30.10	30.00	30.00	29.90	30.10	29.90	30.00	27.00	2.40
7:10	26.6	30.10	28.60	29.60	29.85	29.00	30.10	30.00	30.00	29.90	30.10	29.90	30.00	27.00	2.40
7:20	26.8	29.90	28.60	29.60	29.75	29.00	30.10	29.90	30.00	29.90	30.10	30.00	30.00	27.20	2.20
7:30	27.1	30.10	28.60	29.60	29.85	29.20	30.30	30.00	30.00	29.90	30.00	30.00	30.03	27.20	2.10
7:40	26.8	29.90	28.60	29.50	29.70	29.10	30.20	29.90	30.00	29.90	30.10	30.00	30.02	27.40	2.30
7:50	26.8	29.90	28.60	29.50	29.70	29.10	30.30	30.00	30.00	29.90	30.00	30.00	30.03	27.60	2.30
8:00	27.1	29.90	28.60	29.50	29.70	29.20	30.40	30.10	29.70	29.60	29.80	29.70	29.88	27.80	2.10
8:10	27.1	29.70	28.60	29.30	29.50	29.10	30.20	29.90	29.90	29.70	29.90	29.80	29.90	27.90	2.00
8:20	27.5	29.90	28.60	29.60	29.75	29.30	30.40	30.10	29.70	29.60	29.70	29.70	29.87	28.00	1.80
8:30	27.8	29.90	28.60	29.60	29.75	29.40	30.40	30.10	29.70	29.60	29.80	29.70	29.88	28.30	1.60
8:40	27.8	29.70	28.60	29.40	29.55	29.30	30.20	30.00	29.80	29.70	29.80	29.80	29.88	28.20	1.50
8:50	28.20	29.80	28.60	29.60	29.70	29.50	30.50	30.10	29.60	29.40	29.70	29.60	29.82	28.50	1.30
9:00	28.90	29.90	28.60	29.60	29.75	29.70	30.30	30.10	29.50	29.30	29.60	29.50	29.72	28.90	0.80
9:10	28.50	29.90	28.60	29.70	29.80	29.80	30.30	30.10	29.70	29.60	29.80	29.70	29.87	29.90	1.30
9:20	29.20	30.00	28.60	29.70	29.85	29.90	30.20	30.00	29.80	29.70	29.90	29.90	29.92	30.30	0.70
9:30	29.80	30.30	28.60	30.10	30.20	30.30	30.40	30.30	29.80	29.70	29.90	29.80	29.98	30.30	0.50
9:40	30.40	30.20	28.60	30.10	30.15	30.30	30.40	30.20	29.80	29.70	29.90	29.90	29.98	31.50	-0.10

ภาคผนวก ก.3 ผลการทดสอบการณ์เปิดวาล์วมุม 60° (ต่อ)

60 Degree SamplingTime	Tinlet (°C)	Ts_1 (°C)	Tf_1 (°C)	Ts_2 (°C)	Ts (°C)	Tf_2 (°C)	Tg_1 (°C)	Tg_2 (°C)	Tg_3 (°C)	Tg_4 (°C)	Tg_5 (°C)	Tg_6 (°C)	Tg (°C)	Tamb (°C)	Tf_2-Tinlet (°C)
9:50	29.90	30.30	28.60	30.10	30.20	30.40	30.60	30.30	29.80	29.70	29.80	29.80	30.00	30.90	0.50
10:00	30.10	30.40	28.60	30.30	30.35	30.70	30.70	30.50	29.50	29.40	29.60	29.60	29.88	31.00	0.60
10:10	30.60	30.20	28.60	30.10	30.15	30.50	30.70	30.40	29.50	29.40	29.60	29.50	29.85	33.10	-0.10
10:20	29.90	30.20	28.60	30.10	30.15	30.50	30.50	30.20	29.50	29.30	29.40	29.60	29.75	33.10	0.60
10:30	31.40	30.20	28.60	30.20	30.20	30.80	30.40	30.10	29.80	29.60	29.70	29.70	29.88	33.20	-0.60
10:40	32.90	30.40	28.60	30.40	30.40	31.10	30.60	30.40	29.70	29.60	29.70	29.60	29.93	34.70	-1.80
10:50	31.20	30.20	28.60	30.30	30.25	30.90	30.50	30.20	29.70	29.60	29.60	29.60	29.87	33.20	-0.30
11:00	31.70	30.30	28.60	30.50	30.40	31.20	30.60	30.30	29.40	29.30	29.30	29.30	29.70	33.10	-0.50
11:10	31.20	30.20	28.60	30.50	30.35	31.10	30.60	30.30	29.40	29.20	29.20	29.30	29.67	31.90	-0.10
11:20	32.40	30.20	28.60	30.40	30.30	31.10	30.40	30.10	29.30	29.20	29.10	29.10	29.53	32.80	-1.30
11:30	32.30	30.20	28.60	30.50	30.35	31.30	30.50	30.10	29.60	29.50	29.50	29.50	29.78	33.40	-1.00
11:40	31.70	30.20	28.60	30.50	30.35	31.20	30.80	30.50	29.40	29.20	29.20	29.20	29.72	33.10	-0.50
11:50	31.90	30.00	28.60	30.40	30.20	31.10	30.60	30.10	29.60	29.30	29.30	29.30	29.70	33.30	-0.80
12:00	32.90	30.10	28.60	30.50	30.30	31.10	30.50	30.10	29.70	29.50	29.50	29.40	29.78	33.70	-1.80
12:10	32.20	30.30	28.60	30.60	30.45	31.30	30.50	30.10	29.50	29.30	29.30	29.30	29.67	33.40	-0.90
12:20	32.50	30.40	28.60	30.60	30.50	31.40	30.30	30.00	29.70	29.60	29.40	29.50	29.75	34.60	-1.10
12:30	31.80	30.50	28.60	30.80	30.65	31.50	30.60	30.30	29.70	29.60	29.50	29.50	29.87	32.20	-0.30

ภาคผนวก ก.3 ผลการทดลองกรณีเปิดความร้อน 60° (ต่อ)

60 Degree SamplingTime	Tinlet (°C)	Ts_1 (°C)	Tf_1 (°C)	Ts_2 (°C)	Ts (°C)	Tf_2 (°C)	Tg_1 (°C)	Tg_2 (°C)	Tg_3 (°C)	Tg_4 (°C)	Tg_5 (°C)	Tg_6 (°C)	Tg (°C)	Tamb (°C)	Tf_2-Tinlet (°C)
12:40	33.20	30.50	28.60	30.70	30.60	31.30	30.50	30.20	29.90	29.70	29.60	29.60	29.92	32.80	-1.90
12:50	32.20	30.20	28.60	30.50	30.35	31.10	30.40	30.00	29.70	29.40	29.30	29.20	29.67	32.90	-1.10
13:00	32.60	30.10	28.60	30.40	30.25	31.10	30.00	29.70	29.80	29.50	29.40	29.40	29.63	33.00	-1.50
13:10	32.50	30.30	28.60	30.60	30.45	31.20	30.20	30.00	29.50	29.30	29.10	29.10	29.53	33.40	-1.30
13:20	33.40	30.10	28.60	30.30	30.20	31.10	30.30	30.00	29.80	29.40	29.30	29.20	29.67	34.20	-2.30
13:30	33.50	30.20	28.60	30.50	30.35	31.20	30.10	29.70	29.60	29.50	29.30	29.30	29.58	35.10	-2.30
13:40	33.40	30.60	28.60	30.80	30.70	31.70	30.20	30.00	29.70	29.50	29.40	29.30	29.68	34.30	-1.70
13:50	32.70	30.60	28.60	30.80	30.70	31.40	30.50	30.30	29.80	29.50	29.30	29.30	29.78	32.80	-1.30
14:00	31.80	30.30	28.60	30.60	30.45	31.30	30.40	30.20	29.80	29.60	29.30	29.30	29.77	32.50	-0.50
14:10	30.30	30.40	28.60	30.60	30.50	31.00	30.90	30.50	29.70	29.40	29.20	29.10	29.80	30.70	0.70
14:20	31.70	30.10	28.60	30.40	30.25	30.90	30.50	30.10	29.50	29.30	29.10	29.10	29.60	32.60	-0.80
14:30	30.60	30.10	28.60	30.30	30.20	30.60	30.50	30.20	29.80	29.50	29.30	29.20	29.75	31.80	0.00
14:40	31.20	30.20	28.60	30.30	30.25	30.80	30.50	30.30	29.70	29.40	29.20	29.10	29.70	31.90	-0.40
14:50	31.70	30.20	28.60	30.40	30.30	30.80	30.50	30.30	29.70	29.40	29.40	29.20	29.75	31.80	-0.90
15:00	30.40	30.20	28.60	30.30	30.25	30.60	30.70	30.40	29.90	29.50	29.30	29.30	29.85	30.40	0.20
15:10	30.60	30.00	28.60	30.10	30.05	30.50	30.60	30.20	29.50	29.10	29.00	28.90	29.55	30.90	-0.10
15:20	30.00	29.90	28.60	30.10	30.00	30.40	30.40	30.10	29.70	29.40	29.30	29.20	29.68	30.50	0.40

ภาคผนวก ก.3 ผลการทดสอบกรณีเปิร์ค瓦ล์วัม 60° (ต่อ)

60 Degree SamplingTime	Tinlet (°C)	Ts_1 (°C)	Tf_1 (°C)	Ts_2 (°C)	Ts (°C)	Tf_2 (°C)	Tg_1 (°C)	Tg_2 (°C)	Tg_3 (°C)	Tg_4 (°C)	Tg_5 (°C)	Tg_6 (°C)	Tg (°C)	Tamb (°C)	Tf_2-Tinlet (°C)
15:40	31.20	30.20	28.60	30.20	30.20	30.70	29.40	29.10	30.10	29.80	29.70	29.60	29.62	33.40	-0.50
15:50	32.80	30.80	28.60	30.90	30.85	31.50	29.70	29.40	30.50	30.30	30.20	30.10	30.03	33.90	-1.30
16:00	33.70	31.20	28.60	31.40	31.30	32.00	29.70	29.40	30.70	30.70	30.50	30.50	30.25	35.60	-1.70
16:10	33.20	31.40	28.60	31.60	31.50	32.40	30.00	29.70	30.80	30.70	30.50	30.50	30.37	34.30	-0.80
16:20	31.90	30.90	28.60	31.00	30.95	31.60	30.60	30.30	30.60	30.50	30.30	30.20	30.42	33.00	-0.30
16:30	32.00	30.60	28.60	30.90	30.75	31.80	30.90	30.50	30.10	29.90	29.80	29.70	30.15	32.60	-0.20
16:40	31.80	30.50	28.60	30.90	30.70	31.50	30.70	30.40	29.80	29.50	29.30	29.30	29.83	31.60	-0.30
16:50	30.80	30.10	28.60	30.50	30.30	31.00	30.60	30.10	29.60	29.40	29.30	29.20	29.70	31.10	0.20
17:00	30.40	30.10	28.60	30.20	30.15	30.70	30.80	30.50	29.30	29.10	28.90	28.90	29.58	30.50	0.30

ภาคผนวก ก.4 ผลการทดลองกรณีเปิดวาล์วมุม 90°

90 Degree Sampling Time	Tinlet (°C)	Ts_1 (°C)	Tf_1 (°C)	Ts_2 (°C)	Ts (°C)	Tf_2 (°C)	Tg_1 (°C)	Tg_2 (°C)	Tg_3 (°C)	Tg_4 (°C)	Tg_5 (°C)	Tg_6 (°C)	Tg (°C)	Tamb (°C)	Tf_2-Tinlet (°C)
7:00	26	29.80	28.20	29.60	29.70	28.90	30.00	29.80	29.80	29.80	30.00	29.80	29.87	27.00	2.90
7:10	26	29.80	28.20	29.60	29.70	28.90	30.00	29.80	29.80	29.80	30.00	29.80	29.87	27.00	2.90
7:20	26.5	29.90	28.30	29.60	29.75	28.90	30.30	30.10	30.00	30.00	30.20	30.00	30.10	27.70	2.40
7:30	26.7	29.70	28.50	29.50	29.60	29.10	30.10	29.80	29.90	29.80	30.10	30.00	29.95	27.70	2.40
7:40	27	30.00	29.00	29.60	29.80	29.40	30.60	30.00	29.80	29.80	30.00	29.90	30.02	27.70	2.40
7:50	27.9	30.20	29.20	30.00	30.10	29.80	30.60	30.20	29.80	29.80	30.00	29.90	30.05	27.90	1.90
8:00	27.7	30.40	29.40	30.20	30.30	30.10	30.70	30.30	30.10	30.10	30.40	30.30	30.32	28.30	2.40
8:10	27.8	30.30	29.50	30.20	30.25	30.10	30.70	30.30	30.10	30.00	30.30	30.20	30.27	28.50	2.30
8:20	28	30.70	29.70	30.60	30.65	30.50	30.90	30.50	30.40	30.20	30.60	30.50	30.52	28.40	2.50
8:30	28.2	30.50	29.60	30.40	30.45	30.30	30.70	30.30	30.30	30.10	30.50	30.30	30.37	28.70	2.10
8:40	28.4	30.50	29.80	30.50	30.50	30.50	30.70	30.30	30.30	30.10	30.40	30.30	30.35	28.80	2.10
8:50	28.50	30.60	29.90	30.70	30.65	30.60	30.70	30.30	30.50	30.40	30.70	30.50	30.52	28.70	2.10
9:00	29.40	30.50	30.10	30.40	30.45	30.50	30.50	30.20	30.00	29.90	30.20	30.00	30.13	29.80	1.10
9:10	29.90	30.30	30.10	30.20	30.25	30.40	30.50	30.10	29.80	29.70	30.10	30.00	30.03	29.80	0.50
9:20	28.90	30.70	30.30	30.80	30.75	31.10	30.90	30.40	30.20	29.80	30.20	30.40	30.32	28.90	2.20
9:30	29.40	30.90	30.40	31.00	30.95	31.20	31.10	30.60	30.40	30.30	30.60	30.50	30.58	29.50	1.80
9:40	29.50	30.50	30.40	30.60	30.55	30.70	30.50	30.10	29.90	29.80	30.10	29.90	30.05	30.20	1.20

ภาคผนวก ก.4 ผลการทดลองกรณีเปิดวาล์วม 90° (ต่อ)

90 Degree Sampling Time	Tinlet (°C)	Ts_1 (°C)	Tf_1 (°C)	Ts_2 (°C)	Ts (°C)	Tf_2 (°C)	Tg_1 (°C)	Tg_2 (°C)	Tg_3 (°C)	Tg_4 (°C)	Tg_5 (°C)	Tg_6 (°C)	Tg (°C)	Tamb (°C)	Tf_2-Tinlet (°C)
9:50	29.20	30.60	30.30	30.50	30.55	30.80	30.60	30.20	30.10	30.00	30.20	30.10	30.20	29.80	1.60
10:00	28.90	30.60	30.20	30.60	30.60	30.80	30.70	30.20	30.20	30.10	30.40	30.20	30.30	29.60	1.90
10:10	29.20	30.70	30.40	30.70	30.70	30.90	30.70	30.30	30.10	30.00	30.30	30.20	30.27	29.80	1.70
10:20	28.70	30.60	30.30	30.70	30.65	30.80	30.60	30.30	30.10	29.90	30.20	30.10	30.20	30.00	2.10
10:30	30.00	30.80	30.80	30.90	30.85	31.40	30.70	30.30	30.10	30.00	30.40	30.30	30.30	30.40	1.40
10:40	30.50	30.50	30.90	30.50	30.50	31.00	30.50	30.20	29.90	29.80	30.10	30.00	30.08	31.60	0.50
10:50	31.60	30.70	31.40	30.90	30.80	31.50	30.60	30.20	30.20	30.10	30.40	30.30	30.30	31.80	-0.10
11:00	29.90	30.70	31.00	31.00	30.85	31.40	30.90	30.40	30.30	30.20	30.50	30.30	30.43	30.50	1.50
11:10	30.90	30.90	31.20	31.10	31.00	31.60	30.90	30.50	30.20	30.00	30.40	30.20	30.37	32.00	0.70
11:20	31.40	30.80	31.50	31.00	30.90	31.50	30.60	30.30	30.10	30.10	30.20	30.10	30.23	33.10	0.10
11:30	32.00	31.10	31.90	31.40	31.25	32.10	30.70	30.30	30.30	30.30	30.60	30.50	30.45	32.40	0.10
11:40	32.20	31.20	32.20	31.60	31.40	32.20	30.70	30.30	30.40	30.40	30.60	30.50	30.48	33.40	0.00
11:50	31.70	31.50	32.00	31.90	31.70	32.40	31.00	30.60	30.60	30.50	30.60	30.60	30.65	31.50	0.70
12:00	31.30	31.10	31.50	31.40	31.25	31.70	30.80	30.30	30.30	30.10	30.40	30.20	30.35	31.80	0.40
12:10	31.70	31.00	31.60	31.30	31.15	31.80	30.70	30.30	30.30	30.20	30.40	30.30	30.37	32.40	0.10
12:20	31.30	31.00	31.70	31.40	31.20	32.00	30.70	30.30	30.30	30.20	30.40	30.20	30.35	31.60	0.70
12:30	32.90	30.80	32.00	31.20	31.00	31.80	30.50	30.10	30.20	30.10	30.30	30.20	30.23	33.40	-1.10

ภาคผนวก ก.4 ผลการทดสอบกรณีเปิดความร้อน 90° (ต่อ)

90 Degree Sampling Time	Tinlet (°C)	Ts_1 (°C)	Tf_1 (°C)	Ts_2 (°C)	Ts (°C)	Tf_2 (°C)	Tg_1 (°C)	Tg_2 (°C)	Tg_3 (°C)	Tg_4 (°C)	Tg_5 (°C)	Tg_6 (°C)	Tg (°C)	Tamb (°C)	Tf_2-Tinlet (°C)
12:40	32.30	31.00	32.10	31.50	31.25	32.20	30.50	30.00	30.30	30.30	30.40	30.30	30.30	32.80	-0.10
12:50	33.10	31.10	32.10	31.50	31.30	32.10	30.50	30.00	30.30	30.30	30.40	30.30	30.30	33.30	-1.00
13:00	32.20	31.10	32.20	31.50	31.30	32.30	30.70	30.20	30.40	30.30	30.50	30.40	30.42	32.70	0.10
13:10	32.80	31.20	32.40	31.60	31.40	32.30	30.60	30.20	30.40	30.30	30.50	30.30	30.38	33.50	-0.50
13:20	33.60	31.30	32.60	31.80	31.55	32.40	30.60	30.10	30.30	30.30	30.40	30.30	30.33	34.20	-1.20
13:30	33.20	31.20	32.60	31.60	31.40	32.40	30.40	30.00	30.30	30.30	30.40	30.30	30.28	33.40	-0.80
13:40	32.80	31.30	32.60	31.80	31.55	32.60	30.50	30.10	30.40	30.30	30.50	30.40	30.37	33.50	-0.20
13:50	33.30	31.40	32.60	31.80	31.60	32.50	30.60	30.30	30.20	30.10	30.20	30.10	30.25	33.80	-0.80
14:00	33.40	31.20	32.50	31.70	31.45	32.30	30.60	30.20	30.60	30.40	30.50	30.30	30.43	34.90	-1.10
14:10	33.10	31.30	32.70	31.80	31.55	32.60	30.60	30.20	30.60	30.40	30.50	30.40	30.45	34.60	-0.50
14:20	33.80	31.40	33.00	31.90	31.65	32.90	30.60	30.20	30.50	30.50	30.50	30.40	30.45	34.40	-0.90
14:30	34.40	31.70	33.20	32.20	31.95	33.30	30.50	30.10	30.70	30.60	30.60	30.50	30.50	34.50	-1.10
14:40	34.00	32.00	33.50	32.60	32.30	33.50	30.60	30.30	30.80	30.80	30.90	30.80	30.70	34.30	-0.50
14:50	33.60	31.60	33.10	32.20	31.90	33.20	30.50	30.10	30.70	30.50	30.60	30.50	30.48	34.10	-0.40
15:00	34.30	32.20	33.60	32.90	32.55	33.80	30.90	30.50	31.30	31.10	31.20	31.00	31.00	34.60	-0.50
15:10	33.80	32.30	33.30	32.80	32.55	33.30	31.10	30.70	31.40	31.10	31.10	30.90	31.05	33.60	-0.50
15:20	33.10	31.70	32.70	32.10	31.90	32.80	30.60	30.30	30.90	30.70	30.80	30.60	30.65	33.30	-0.30

ภาคผนวก ก.4 ผลการทดลองกรณีเบ็ดรวม 90° (ต่อ)

90 Degree Sampling Time	Tinlet (°C)	Ts_1 (°C)	Tf_1 (°C)	Ts_2 (°C)	Ts (°C)	Tf_2 (°C)	Tg_1 (°C)	Tg_2 (°C)	Tg_3 (°C)	Tg_4 (°C)	Tg_5 (°C)	Tg_6 (°C)	Tg (°C)	Tamb (°C)	Tf_2-Tinlet (°C)
15:30	33.70	31.70	32.90	32.10	31.90	32.80	29.30	29.00	30.70	30.60	30.70	30.50	30.13	33.90	-0.90
15:40	32.30	32.10	32.90	32.60	32.35	33.30	31.00	30.60	31.40	31.30	31.40	31.20	31.15	32.70	1.00
15:50	31.10	31.60	31.90	32.00	31.80	32.50	30.60	30.20	31.20	31.00	31.10	31.00	30.85	31.50	1.40
16:00	30.30	31.30	31.30	31.50	31.40	31.60	30.60	30.20	30.80	30.50	30.60	30.40	30.52	30.30	1.30
16:10	30.90	30.90	31.10	31.20	31.05	31.20	30.40	30.10	30.20	30.00	30.10	29.90	30.12	30.50	0.30
16:20	30.20	30.90	31.00	31.10	31.00	31.10	30.50	30.20	30.40	30.20	30.30	30.10	30.28	30.20	0.90
16:30	30.00	30.90	30.80	31.00	30.95	31.20	30.50	30.20	30.40	30.20	30.30	30.10	30.28	29.90	1.20
16:40	30.20	30.90	30.80	31.00	30.95	31.00	30.50	30.20	30.50	30.30	30.40	30.20	30.35	30.40	0.80
16:50	30.00	30.70	30.70	30.90	30.80	30.90	30.40	30.10	30.30	30.20	30.20	30.10	30.22	30.00	0.90
17:00	29.90	30.90	30.70	31.00	30.95	31.10	30.60	30.30	30.20	30.10	30.20	30.00	30.23	29.70	1.20

ภาคผนวก ข.1 ผลการทดลองในกรณีดินมีความชื้นน้อยที่สุด

Time	Tinlet (°C)	Ts_1 (°C)	Tf_1 (°C)	Ts_2 (°C)	Ts (°C)	Tf_2 (°C)	Tg_1 (°C)	Tg_2 (°C)	Tg_3 (°C)	Tg_4 (°C)	Tg_5 (°C)	Tg_6 (°C)	Tg (°C)	Tamb (°C)	Tf_2-Tinlet (°C)	
7.00	24.9	28.90	27.90	28.60	28.75	28.20	29.10	28.80	29.00	29.00	28.90	29.00	28.97	25.10	3.70	
7.10	26.1	29.30	28.40	29.20	29.25	28.60	29.20	29.00	29.30	29.30	29.20	29.40	29.23	26.00	3.10	
7.20	26.1	29.50	28.70	29.40	29.45	29.00	29.40	29.20	29.30	29.20	29.30	29.40	29.30	26.10	3.30	
7.30	26.5	29.50	28.90	29.50	29.50	29.10	29.40	29.30	29.20	29.10	29.10	29.40	29.25	26.60	3.00	
7.40	26.8	29.70	29.00	29.60	29.65	29.20	29.50	29.30	29.10	29.10	29.10	29.30	29.23	26.40	2.80	
7.50	26.8	29.70	29.00	29.60	29.65	29.20	29.50	29.30	29.10	29.10	29.10	29.30	29.23	27.40	2.80	
8.00	27.6	29.70	29.20	29.70	29.70	29.30	29.60	29.30	29.40	29.30	29.40	29.50	29.42	28.90	2.10	
8.10	27.6	29.80	29.30	29.80	29.80	29.40	29.60	29.40	29.30	29.30	29.30	29.50	29.40	28.90	2.20	
8.20	28	29.60	29.40	29.50	29.55	29.30	29.50	29.30	29.30	29.30	29.50	29.37	29.40	1.50		
8.30	28.8	29.90	29.70	29.80	29.85	29.60	29.70	29.60	29.40	29.30	29.40	29.50	29.48	29.20	1.00	
8.40	28.60	29.80	29.60	29.60	29.70	29.50	29.70	29.60	29.30	29.30	29.30	29.50	29.45	29.40	1.00	
8.50	28.80	29.70	29.70	29.60	29.65	29.50	29.60	29.50	29.30	29.20	29.20	29.50	29.38	28.80	0.80	
9.00	29.00	29.80	29.70	29.80	29.80	29.50	29.80	29.70	29.40	29.20	29.20	29.40	29.45	29.10	0.80	
9.10	29.20	29.80	29.60	29.70	29.75	29.60	29.80	29.70	29.30	29.10	29.10	29.30	29.38	29.20	0.50	
9.20	29.20	29.60	29.70	29.50	29.55	29.50	29.50	29.40	29.10	29.00	29.00	29.20	29.20	29.90	0.30	
9.30	31.10	29.80	30.10	29.70	29.75	29.70	29.70	29.60	29.30	29.20	29.20	29.20	29.37	29.80	-1.40	
9.40	31.80	29.80	30.20	29.80	29.80	29.90	29.70	29.70	29.50	29.20	29.10	29.10	29.20	29.30	31.20	-2.00

ภาคผนวก ข.1 ผลการทดลองในกรณีดินมีความชื้นน้อยที่สุด (ต่อ)

Time	Tinlet (°C)	Ts_1 (°C)	Tf_1 (°C)	Ts_2 (°C)	Ts (°C)	Tf_2 (°C)	Tg_1 (°C)	Tg_2 (°C)	Tg_3 (°C)	Tg_4 (°C)	Tg_5 (°C)	Tg_6 (°C)	Tg (°C)	Tamb (°C)	Tf_2-Tinlet (°C)
9.50	31.10	29.60	30.20	29.60	29.60	29.90	29.80	29.40	29.20	29.10	29.10	29.20	29.30	31.20	-1.50
10.00	32.00	29.80	30.40	29.80	29.80	29.80	29.70	29.50	29.30	29.20	29.20	29.30	29.37	31.40	-2.20
10.10	30.90	29.60	30.10	29.60	29.60	29.70	29.60	29.40	29.10	29.00	28.90	29.10	29.18	31.20	-1.30
10.20	30.20	29.80	30.30	29.80	29.80	29.80	29.60	29.60	29.10	29.00	28.90	29.10	29.22	31.20	-0.40
10.30	33.50	29.80	30.70	29.90	29.85	30.00	29.70	29.60	29.30	29.10	29.00	29.30	29.33	32.50	-3.60
10.40	33.80	29.90	30.90	30.10	30.00	30.10	29.60	29.60	29.40	29.30	29.10	29.30	29.38	32.90	-3.70
10.50	33.10	29.80	31.00	30.00	29.90	30.30	29.70	29.70	29.30	29.20	29.10	29.30	29.38	32.30	-3.10
11.00	30.90	29.80	30.60	29.90	29.85	30.10	29.70	29.60	29.20	29.10	29.00	29.20	29.30	32.60	-1.00
11.10	30.90	29.60	30.20	29.70	29.65	29.80	29.60	29.50	29.30	29.10	28.90	29.10	29.25	30.90	-1.20
11.20	31.80	29.80	30.60	29.80	29.80	29.90	29.70	29.60	29.30	29.10	29.00	29.10	29.30	32.90	-2.00
11.30	31.10	29.90	30.50	29.90	29.90	30.10	29.70	29.60	29.40	29.20	29.00	29.20	29.35	31.20	-1.20
11.40	33.20	29.90	30.70	29.90	29.90	30.10	29.70	29.60	29.50	29.30	29.00	29.30	29.40	33.50	-3.30
11.50	33.10	29.90	31.00	30.00	29.95	30.30	29.70	29.50	29.40	29.20	29.10	29.20	29.35	33.20	-3.10
12.00	32.80	29.80	30.90	29.90	29.85	30.10	29.60	29.50	29.30	29.20	29.00	29.20	29.30	33.50	-2.90
12.10	32.90	30.00	31.10	30.10	30.05	30.30	29.70	29.50	29.30	29.20	29.00	29.20	29.32	34.70	-2.80
12.20	34.50	30.00	31.40	30.10	30.05	30.30	29.70	29.50	29.40	29.30	29.00	29.20	29.35	33.20	-4.40
12.30	34.10	30.00	31.10	30.10	30.05	30.30	29.60	29.50	29.30	29.20	29.00	29.20	29.30	34.50	-4.00

ภาคผนวก ข.1 ผลการทดลองในกรณีดินมีความชื้นน้อยที่สุด (ต่อ)

Time	Tinlet (°C)	Ts_1 (°C)	Tf_1 (°C)	Ts_2 (°C)	Ts (°C)	Tf_2 (°C)	Tg_1 (°C)	Tg_2 (°C)	Tg_3 (°C)	Tg_4 (°C)	Tg_5 (°C)	Tg_6 (°C)	Tg (°C)	Tamb (°C)	Tf_2-Tinlet (°C)
12.40	34.80	30.30	31.60	30.30	30.30	30.50	29.70	29.60	29.50	29.40	29.10	29.40	29.45	34.40	-4.50
12.50	32.80	30.10	31.30	30.30	30.20	30.50	29.60	29.50	29.50	29.30	29.10	29.30	29.38	34.80	-2.50
13.00	33.80	30.20	31.40	30.30	30.25	30.60	29.60	29.50	29.50	29.30	29.10	29.30	29.38	35.20	-3.50
13.10	34.30	30.30	31.50	30.40	30.35	30.70	29.80	29.70	29.50	29.40	29.20	29.30	29.48	34.50	-3.90
13.20	34.00	30.00	31.30	30.30	30.15	30.50	29.80	29.60	29.60	29.40	29.10	29.30	29.47	33.70	-3.70
13.30	33.80	30.20	31.20	30.40	30.30	30.60	29.90	29.80	29.60	29.30	29.20	29.40	29.53	33.40	-3.40
13.40	35.90	30.20	31.70	30.40	30.30	30.50	29.70	29.70	29.50	29.30	29.00	29.30	29.42	35.10	-5.50
13.50	33.00	30.10	31.40	30.40	30.25	30.50	29.80	29.70	29.50	29.30	29.10	29.30	29.45	33.30	-2.60
14.00	35.10	30.10	31.60	30.30	30.20	30.50	29.60	29.50	29.50	29.40	29.10	29.30	29.40	34.70	-4.80
14.10	33.50	30.30	31.50	30.50	30.40	30.70	29.90	29.80	29.40	29.30	29.00	29.20	29.43	33.20	-3.00
14.20	34.30	30.30	31.60	30.40	30.35	30.70	29.80	29.70	29.60	29.50	29.20	29.40	29.53	33.90	-3.90
14.30	34.30	30.20	31.40	30.40	30.30	30.50	29.80	29.70	29.60	29.40	29.20	29.30	29.50	33.60	-3.90
14.40	33.70	30.00	31.10	30.20	30.10	30.30	29.60	29.50	29.60	29.30	29.10	29.30	29.40	33.80	-3.50
14.50	33.40	30.10	31.10	30.20	30.15	30.50	29.80	29.70	29.70	29.50	29.20	29.40	29.55	32.70	-3.20
15.00	32.10	29.80	30.80	30.00	29.90	30.10	29.50	29.50	29.50	29.30	29.00	29.20	29.33	32.20	-2.10
15.10	32.80	30.10	30.90	30.20	30.15	30.40	29.80	29.70	29.40	29.20	28.90	29.10	29.35	32.10	-2.60
15.20	32.40	29.90	30.70	30.00	29.95	30.20	29.60	29.70	29.60	29.30	29.00	29.20	29.40	32.10	-2.40

ภาคผนวก ข.1 ผลการทดลองในกรณีดินมีความชื้นน้อยที่สุด

Time	Tinlet (°C)	Ts_1 (°C)	Tf_1 (°C)	Ts_2 (°C)	Ts (°C)	Tf_2 (°C)	Tg_1 (°C)	Tg_2 (°C)	Tg_3 (°C)	Tg_4 (°C)	Tg_5 (°C)	Tg_6 (°C)	Tg (°C)	Tamb (°C)	Tf_2-Tinlet (°C)
15.30	32.20	29.90	30.60	30.10	30.00	30.10	29.80	29.70	29.50	29.30	29.00	29.20	29.42	32.20	-2.10
15.40	31.80	30.00	30.60	30.10	30.05	30.10	29.70	29.60	29.40	29.30	28.90	29.10	29.33	31.70	-1.70
15.50	31.90	30.00	30.60	30.10	30.05	30.20	29.90	29.80	29.30	29.10	28.70	29.00	29.30	31.60	-1.80
16.00	31.50	30.00	30.60	30.10	30.05	30.20	29.80	29.80	29.40	29.20	28.90	29.10	29.37	31.60	-1.40
16.10	31.50	30.00	30.50	30.00	30.00	30.10	29.80	29.70	29.50	29.30	28.90	29.10	29.38	31.60	-1.50
16.20	31.30	30.00	30.50	30.00	30.00	30.10	29.80	29.70	29.20	29.00	28.70	28.90	29.22	31.30	-1.30
16.30	31.30	29.90	30.40	29.90	29.90	30.00	29.60	29.50	29.50	29.30	29.00	29.20	29.35	31.50	-1.40
16.40	31.70	30.00	30.50	30.10	30.05	30.10	29.70	29.60	29.40	29.30	29.00	29.20	29.37	31.60	-1.60
16.50	32.20	30.20	30.80	30.20	30.20	30.40	29.60	29.50	29.50	29.30	29.00	29.20	29.35	32.80	-2.00
17.00	32.30	30.00	30.70	30.10	30.05	30.20	29.40	29.30	29.40	29.40	29.10	29.30	29.32	33.00	-2.20

ภาคผนวก ข.2 ผลการทดลองในกรณีดินมีความชื้นปานกลาง

Time	Tinlet (°C)	Ts_1 (°C)	Tf_1 (°C)	Ts_2 (°C)	Ts (°C)	Tf_2 (°C)	Tg_1 (°C)	Tg_2 (°C)	Tg_3 (°C)	Tg_4 (°C)	Tg_5 (°C)	Tg_6 (°C)	Tg (°C)	Tamb (°C)	Tf_2-Tinlet (°C)
7.00	24.3	30.00	28.50	29.90	29.95	28.90	30.10	29.70	29.80	29.40	29.50	30.10	29.77	24.30	5.60
7.10	25.4	30.40	28.90	30.20	30.30	29.40	30.30	29.90	30.00	29.80	29.90	30.40	30.05	25.20	4.80
7.20	25.5	30.50	29.10	30.30	30.40	29.50	30.40	30.00	30.00	29.60	29.90	30.30	30.03	25.30	4.80
7.30	25.1	30.30	29.00	30.10	30.20	29.50	30.30	29.90	30.20	30.00	30.00	30.50	30.15	25.70	5.00
7.40	25.3	30.30	29.00	30.20	30.25	29.50	30.30	29.90	30.10	29.80	29.90	30.40	30.07	25.70	4.90
7.50	26.2	30.40	29.20	30.20	30.30	29.60	30.30	29.90	30.00	29.70	29.90	30.30	30.02	26.20	4.00
8.00	26.3	30.60	29.40	30.30	30.45	29.90	30.50	30.10	30.10	29.80	29.90	30.40	30.13	26.30	4.00
8.10	26.2	30.50	29.10	30.20	30.35	29.70	30.40	30.00	30.00	29.70	29.80	30.30	30.03	26.00	4.00
8.20	26.1	30.30	29.10	30.00	30.15	29.60	30.30	29.90	30.00	29.70	29.80	30.30	30.00	27.10	3.90
8.30	27.8	30.50	29.70	30.30	30.40	30.00	30.60	30.20	30.00	29.60	29.80	30.30	30.08	27.20	2.50
8.40	28.50	30.30	29.70	30.10	30.20	29.80	30.40	30.00	29.80	29.40	29.70	30.10	29.90	28.30	1.60
8.50	27.90	30.50	29.80	30.20	30.35	29.90	30.50	30.10	30.00	29.70	29.90	30.30	30.08	27.10	2.30
9.00	29.50	30.40	30.00	30.10	30.25	29.90	30.30	29.90	29.90	29.50	29.80	30.30	29.95	28.50	0.60
9.10	28.70	30.50	30.00	30.20	30.35	30.00	30.50	30.00	30.00	29.70	29.80	30.30	30.05	27.70	1.50
9.20	28.60	30.50	30.00	30.20	30.35	30.10	30.50	30.10	30.00	29.60	29.70	30.20	30.02	27.80	1.60
9.30	28.50	30.50	30.10	30.30	30.40	30.10	30.60	30.10	30.00	29.60	29.70	30.20	30.03	28.80	1.80
9.40	28.10	30.30	29.80	30.00	30.15	29.90	30.20	29.90	29.90	29.50	29.60	30.10	29.87	28.40	1.90

ภาคผนวก ข.2 ผลการทดลองในกรณีดินมีความชื้นปานกลาง (ต่อ)

Time	Tinlet (°C)	Ts_1 (°C)	Tf_1 (°C)	Ts_2 (°C)	Ts (°C)	Tf_2 (°C)	Tg_1 (°C)	Tg_2 (°C)	Tg_3 (°C)	Tg_4 (°C)	Tg_5 (°C)	Tg_6 (°C)	Tg (°C)	Tamb (°C)	Tf_2-Tinlet (°C)
9.50	29.10	30.30	30.00	30.10	30.20	29.90	30.40	29.90	29.80	29.40	29.50	30.10	29.85	29.00	1.00
10.00	29.40	30.50	30.20	30.40	30.45	30.10	30.50	30.10	29.90	29.40	29.50	30.10	29.92	29.20	1.00
10.10	29.90	30.50	30.40	30.20	30.35	30.10	30.40	29.90	29.90	29.60	29.60	30.20	29.93	29.10	0.30
10.20	31.80	30.70	30.60	30.50	30.60	30.50	30.50	30.10	30.00	29.70	29.70	30.20	30.03	30.20	-1.30
10.30	32.20	30.70	30.80	30.50	30.60	30.50	30.50	30.20	30.00	29.70	29.70	30.30	30.07	30.50	-1.70
10.40	30.40	30.60	30.60	30.40	30.50	30.30	30.40	29.90	30.00	29.70	29.80	30.30	30.02	30.20	0.00
10.50	31.90	30.40	30.60	30.20	30.30	30.20	30.20	29.80	30.00	29.60	29.80	30.00	29.90	30.10	-1.70
11.00	31.50	30.60	30.80	30.40	30.50	30.50	30.30	29.90	30.00	29.70	29.70	30.20	29.97	30.40	-1.10
11.10	32.10	30.80	31.00	30.60	30.70	30.60	30.50	30.20	30.10	29.70	29.70	30.20	30.07	30.90	-1.50
11.20	32.10	30.50	30.90	30.40	30.45	30.40	30.30	29.90	29.90	29.60	29.60	30.10	29.90	30.30	-1.70
11.30	31.90	30.80	31.10	30.60	30.70	30.70	30.50	30.10	30.20	29.70	29.80	30.20	30.08	31.20	-1.30
11.40	32.20	30.60	31.00	30.50	30.55	30.60	30.40	30.00	30.00	29.60	29.60	30.10	29.95	30.70	-1.70
11.50	32.40	30.80	31.20	30.60	30.70	30.80	30.50	30.10	30.10	29.70	29.70	30.20	30.05	31.50	-1.80
12.00	32.30	30.60	31.10	30.60	30.60	30.60	30.40	30.00	30.10	29.70	29.70	30.20	30.02	31.60	-1.70
12.10	32.50	30.70	31.20	30.50	30.60	30.60	30.40	30.00	30.10	29.70	29.70	30.10	30.00	32.00	-2.00
12.20	33.20	30.80	31.30	30.70	30.75	30.80	30.40	30.00	30.10	29.80	29.80	30.20	30.05	32.10	-2.50
12.30	32.40	30.90	31.40	30.80	30.85	30.90	30.40	30.10	30.20	29.80	29.80	30.30	30.10	31.50	-1.60

ภาคผนวก ข.2 ผลการทดลองในกรณีดินมีความชื้นปานกลาง (ต่อ)

Time	Tinlet (°C)	Ts_1 (°C)	Tf_1 (°C)	Ts_2 (°C)	Ts (°C)	Tf_2 (°C)	Tg_1 (°C)	Tg_2 (°C)	Tg_3 (°C)	Tg_4 (°C)	Tg_5 (°C)	Tg_6 (°C)	Tg (°C)	Tamb (°C)	Tf_2-Tinlet (°C)
12.40	32.60	30.80	31.30	30.80	30.80	30.80	30.40	30.00	30.20	29.80	29.80	30.40	30.10	31.50	-1.80
12.50	32.80	30.80	31.20	30.60	30.70	30.80	30.30	29.80	30.20	29.90	29.80	30.20	30.03	32.20	-2.20
13.00	33.20	30.90	31.50	30.80	30.85	31.00	30.40	30.10	30.20	29.90	29.80	30.30	30.12	31.90	-2.40
13.10	33.60	31.00	31.70	31.00	31.00	31.20	30.60	30.30	30.30	30.00	30.00	30.50	30.28	33.30	-2.60
13.20	34.00	31.00	31.70	30.90	30.95	31.30	30.60	30.30	30.40	30.10	30.00	30.50	30.32	32.80	-3.10
13.30	33.60	30.90	31.70	30.90	30.90	31.20	30.60	30.10	30.20	29.90	29.90	30.40	30.18	32.70	-2.70
13.40	33.40	31.00	31.70	30.90	30.95	31.30	30.70	30.30	30.50	30.20	30.10	30.60	30.40	33.00	-2.50
13.50	33.30	31.10	31.80	31.10	31.10	31.50	30.90	30.50	30.40	30.10	30.00	30.50	30.40	33.20	-2.20
14.00	34.10	31.10	31.90	31.10	31.10	31.50	30.60	30.30	30.40	30.10	30.10	30.50	30.33	33.00	-3.00
14.10	33.60	31.10	31.70	31.00	31.05	31.30	30.60	30.30	30.30	30.00	29.90	30.40	30.25	32.70	-2.60
14.20	34.30	31.10	31.90	31.10	31.10	31.40	30.50	30.10	30.40	30.10	30.10	30.50	30.28	33.80	-3.20
14.30	33.20	31.10	31.90	31.00	31.05	31.40	30.50	30.10	30.30	30.10	29.90	30.40	30.22	33.70	-2.20
14.40	33.00	31.10	31.70	31.10	31.10	31.30	30.90	30.50	30.40	30.10	29.90	30.40	30.37	32.10	-1.90
14.50	32.40	30.80	31.30	30.80	30.80	31.00	30.70	30.40	30.20	29.90	29.70	30.20	30.18	31.80	-1.60
15.00	32.40	31.00	31.40	30.80	30.90	31.10	31.10	30.70	30.30	29.90	29.70	30.20	30.32	31.60	-1.60
15.10	32.00	30.60	31.00	30.60	30.60	30.70	30.70	30.40	30.10	29.60	29.50	30.00	30.05	31.40	-1.40
15.20	31.80	30.70	30.80	30.50	30.60	30.80	30.80	30.50	30.10	29.60	29.40	29.90	30.05	31.00	-1.30

ภาคผนวก ข.2 ผลการทดลองในกรณีดินมีความชื้นปานกลาง (ต่อ)

Time	Tinlet (°C)	Ts_1 (°C)	Tf_1 (°C)	Ts_2 (°C)	Ts (°C)	Tf_2 (°C)	Tg_1 (°C)	Tg_2 (°C)	Tg_3 (°C)	Tg_4 (°C)	Tg_5 (°C)	Tg_6 (°C)	Tg (°C)	Tamb (°C)	Tf_2-Tinlet (°C)
15.30	31.70	30.80	31.10	30.70	30.75	30.70	31.00	30.50	30.10	29.60	29.50	29.90	30.10	31.00	-1.00
15.40	31.40	30.80	31.00	30.70	30.75	30.80	30.90	30.50	30.10	29.60	29.50	29.90	30.08	31.00	-0.70
15.50	31.20	30.70	30.90	30.60	30.65	30.60	30.80	30.40	30.20	29.70	29.50	30.00	30.10	31.00	-0.60
16.00	31.70	30.70	31.00	30.60	30.65	30.70	30.30	30.10	30.10	29.70	29.60	30.00	29.97	31.90	-1.10
16.10	32.40	30.70	31.00	30.60	30.65	30.70	30.20	29.80	30.10	29.80	29.70	30.00	29.93	32.50	-1.80
16.20	32.30	31.00	31.30	30.90	30.95	31.10	30.40	30.00	30.30	29.90	29.90	30.30	30.13	32.10	-1.40
16.30	32.50	31.10	31.40	30.90	31.00	31.20	30.50	30.20	30.40	30.10	30.00	30.40	30.27	32.20	-1.60
16.40	31.70	30.70	31.10	30.70	30.70	30.90	30.40	30.10	30.20	29.90	29.80	30.20	30.10	31.80	-1.00
16.50	31.70	31.00	31.10	30.90	30.95	31.00	31.00	30.60	30.40	30.00	29.90	30.30	30.37	31.30	-0.80
17.00	31.10	30.70	30.80	30.60	30.65	30.60	30.80	30.50	29.90	29.50	29.40	29.90	30.00	30.50	-0.50

ภาคผนวก ข.3 ผลการทดลองในกรณีดินมีความชื้นมากที่สุด

Time	Tinlet (°C)	Ts_1 (°C)	Tf_1 (°C)	Ts_2 (°C)	Ts (°C)	Tf_2 (°C)	Tg_1 (°C)	Tg_2 (°C)	Tg_3 (°C)	Tg_4 (°C)	Tg_5 (°C)	Tg_6 (°C)	Tg (°C)	Tamb (°C)	Tf_2-Tinlet (°C)
7.00	24	28.90	27.50	28.80	28.85	28.00	28.70	28.70	28.30	28.60	28.50	28.50	28.55	23.90	4.80
7.10	24.2	29.00	27.70	28.80	28.90	28.30	28.60	28.80	28.50	28.60	28.70	28.60	28.63	23.90	4.60
7.20	24.3	28.90	27.60	28.70	28.80	28.20	28.60	28.80	28.60	28.80	28.80	28.70	28.72	24.20	4.40
7.30	24.5	29.10	27.70	28.80	28.95	28.30	28.70	28.80	28.50	28.60	28.60	28.50	28.62	24.00	4.30
7.40	24.5	29.10	27.70	28.90	29.00	28.40	28.80	28.90	28.40	28.60	28.50	28.50	28.62	23.90	4.40
7.50	24.3	29.00	27.70	28.60	28.80	28.10	28.70	28.90	28.40	28.60	28.60	28.60	28.63	24.10	4.30
8.00	24.5	28.90	27.60	28.60	28.75	28.10	28.80	28.90	28.50	28.60	28.60	28.50	28.65	24.40	4.10
8.10	24.6	29.00	27.70	28.70	28.85	28.20	28.90	29.00	28.50	28.50	28.60	28.50	28.67	24.40	4.10
8.20	24.6	28.90	27.40	28.50	28.70	28.00	28.70	28.80	28.50	28.50	28.50	28.50	28.58	24.60	3.90
8.30	25.10	28.90	27.70	28.70	28.80	28.30	28.80	28.90	28.30	28.40	28.50	28.50	28.57	24.80	3.60
8.40	25.00	28.90	27.70	28.60	28.75	28.20	28.70	28.70	28.60	28.60	28.80	28.90	28.72	25.50	3.60
8.50	25.40	29.10	27.80	28.70	28.90	28.30	28.90	29.00	28.50	28.60	28.60	28.50	28.68	25.40	3.30
9.00	25.30	28.80	27.70	28.60	28.70	28.20	28.60	28.70	28.40	28.50	28.50	28.50	28.53	25.60	3.30
9.10	25.40	28.90	27.80	28.70	28.80	28.30	28.80	28.80	28.30	28.40	28.40	28.40	28.52	25.60	3.30
9.20	25.80	29.00	27.90	28.70	28.85	28.40	28.80	28.90	28.40	28.50	28.50	28.50	28.60	26.00	2.90
9.30	26.10	29.10	28.00	28.80	28.95	28.50	28.90	29.00	28.50	28.50	28.50	28.50	28.65	26.20	2.70
9.40	25.90	29.00	28.00	28.70	28.85	28.30	28.80	28.90	28.40	28.40	28.40	28.40	28.55	26.50	2.80

ภาคผนวก ข.3 ผลการทดลองในกรณีดินมีความชื้นมากที่สุด (ต่อ)

Time	Tinlet (°C)	Ts_1 (°C)	Tf_1 (°C)	Ts_2 (°C)	Ts (°C)	Tf_2 (°C)	Tg_1 (°C)	Tg_2 (°C)	Tg_3 (°C)	Tg_4 (°C)	Tg_5 (°C)	Tg_6 (°C)	Tg (°C)	Tamb (°C)	Tf_2-Tinlet (°C)
9.50	26.60	29.00	28.20	28.80	28.90	28.50	28.90	29.00	28.40	28.40	28.50	28.40	28.60	26.70	2.20
10.00	26.20	29.00	28.20	28.80	28.90	28.50	28.90	28.90	28.50	28.50	28.50	28.50	28.63	27.10	2.60
10.10	26.80	28.90	28.20	28.60	28.75	28.40	28.70	28.80	28.20	28.30	28.30	28.20	28.42	27.70	1.80
10.20	27.10	28.90	28.30	28.70	28.80	28.50	28.80	28.80	28.30	28.30	28.40	28.30	28.48	27.50	1.60
10.30	27.50	29.20	28.60	29.00	29.10	28.70	29.00	29.10	28.40	28.50	28.50	28.50	28.67	27.80	1.50
10.40	27.30	29.10	28.50	28.80	28.95	28.70	28.90	29.00	28.50	28.50	28.60	28.60	28.68	27.90	1.50
10.50	27.70	29.20	28.60	28.90	29.05	28.80	28.90	29.00	28.50	28.50	28.60	28.50	28.67	28.70	1.20
11.00	27.80	29.20	28.80	29.00	29.10	28.90	29.00	29.00	28.50	28.60	28.60	28.60	28.72	28.20	1.20
11.10	28.30	29.10	28.80	28.90	29.00	28.80	28.90	28.90	28.60	28.60	28.70	28.60	28.72	29.10	0.60
11.20	27.70	29.10	28.80	28.90	29.00	28.80	28.80	29.00	28.60	28.60	28.60	28.60	28.70	29.60	1.20
11.30	27.90	29.00	28.80	28.90	28.95	28.80	28.80	28.80	28.50	28.60	28.60	28.50	28.63	29.20	1.00
11.40	28.60	29.10	28.90	28.80	28.95	28.90	28.70	28.80	28.30	28.40	28.40	28.30	28.48	28.60	0.20
11.50	29.10	29.30	29.10	29.00	29.15	29.00	28.80	29.00	28.50	28.60	28.60	28.50	28.67	29.00	-0.10
12.00	29.60	29.10	29.20	28.90	29.00	29.00	28.80	28.90	28.50	28.60	28.60	28.60	28.67	30.30	-0.70
12.10	30.70	29.30	29.50	29.20	29.25	29.20	28.70	28.80	28.70	28.70	28.70	28.70	28.72	30.50	-1.50
12.20	30.60	29.30	29.60	29.10	29.20	29.20	28.90	29.00	28.70	28.80	28.80	28.70	28.82	30.50	-1.50
12.30	29.50	29.50	29.50	29.20	29.35	29.30	28.90	29.10	28.70	28.90	28.80	28.70	28.85	30.60	-0.30

ภาคผนวก ข.3 ผลการทดลองในกรณีดินมีความชื้นมากที่สุด (ต่อ)

Time	Tinlet (°C)	Ts_1 (°C)	Tf_1 (°C)	Ts_2 (°C)	Ts (°C)	Tf_2 (°C)	Tg_1 (°C)	Tg_2 (°C)	Tg_3 (°C)	Tg_4 (°C)	Tg_5 (°C)	Tg_6 (°C)	Tg (°C)	Tamb (°C)	Tf_2-Tinlet (°C)
12.40	30.10	29.20	29.40	29.00	29.10	29.10	28.80	28.80	28.50	28.60	28.50	28.40	28.60	31.40	-1.10
12.50	30.20	29.60	29.50	29.30	29.45	29.40	28.90	29.20	28.70	28.80	28.70	28.70	28.83	32.10	-0.90
13.00	30.00	29.40	29.70	29.30	29.35	29.30	29.10	29.10	28.70	28.70	28.70	28.60	28.82	30.80	-0.70
13.10	30.60	29.40	29.70	29.30	29.35	29.40	28.80	29.00	28.70	28.80	28.70	28.70	28.78	31.10	-1.30
13.20	30.80	29.40	29.60	29.20	29.30	29.30	28.90	29.00	28.70	28.80	28.60	28.60	28.77	29.90	-1.60
13.30	31.60	29.40	29.70	29.20	29.30	29.30	29.00	29.10	28.70	28.80	28.70	28.60	28.82	30.40	-2.40
13.40	30.40	29.50	29.70	29.40	29.45	29.50	29.00	29.10	28.60	28.70	28.60	28.60	28.77	30.40	-1.00
13.50	30.50	29.30	29.50	29.20	29.25	29.30	28.90	29.00	28.70	28.80	28.60	28.60	28.77	30.90	-1.30
14.00	30.20	29.30	29.60	29.10	29.20	29.20	28.80	28.80	28.60	28.80	28.60	28.60	28.70	31.70	-1.10
14.10	30.50	29.40	29.70	29.30	29.35	29.30	28.90	29.00	28.60	28.60	28.50	28.40	28.67	30.70	-1.20
14.20	30.50	29.60	29.80	29.50	29.55	29.60	28.90	29.10	28.80	28.90	28.70	28.70	28.85	31.90	-1.00
14.30	30.70	29.40	29.80	29.30	29.35	29.40	28.70	28.90	28.70	28.90	28.70	28.60	28.75	31.20	-1.40
14.40	31.50	29.60	30.00	29.50	29.55	29.70	28.80	28.90	28.90	29.00	28.70	28.80	28.85	31.90	-2.00
14.50	31.10	29.50	29.90	29.40	29.45	29.60	28.70	28.80	28.90	29.00	28.80	28.80	28.83	31.70	-1.70
15.00	31.30	29.60	30.10	29.60	29.60	29.70	28.90	29.00	29.00	29.10	28.90	28.80	28.95	31.60	-1.70
15.10	31.40	29.50	30.10	29.50	29.50	29.70	28.60	28.80	29.00	29.10	28.80	28.70	28.83	32.50	-1.90
15.20	31.30	29.70	30.20	29.60	29.65	29.80	28.80	28.90	29.10	29.20	29.00	29.00	29.00	32.70	-1.70

ภาคผนวก ข.3 ผลการทดลองในกรณีดินมีความชื้นมากที่สุด (ต่อ)

Time	Tinlet (°C)	Ts_1 (°C)	Tf_1 (°C)	Ts_2 (°C)	Ts (°C)	Tf_2 (°C)	Tg_1 (°C)	Tg_2 (°C)	Tg_3 (°C)	Tg_4 (°C)	Tg_5 (°C)	Tg_6 (°C)	Tg (°C)	Tamb (°C)	Tf_2-Tinlet (°C)
15.30	30.90	29.50	30.00	29.50	29.50	29.60	28.50	28.70	28.90	29.00	28.80	28.80	28.78	32.30	-1.40
15.40	31.70	29.80	30.40	29.70	29.75	30.00	28.80	28.90	29.10	29.20	29.00	29.00	29.00	32.80	-2.00
15.50	30.90	29.60	30.10	29.60	29.60	29.80	28.70	28.90	29.10	29.20	29.00	28.90	28.97	32.10	-1.30
16.00	30.40	29.60	29.90	29.50	29.55	29.60	29.00	29.10	29.00	29.10	28.90	28.80	28.98	30.80	-0.90
16.10	29.60	29.50	29.50	29.30	29.40	29.30	28.90	29.10	28.90	28.90	28.70	28.70	28.87	30.10	-0.30
16.20	29.50	29.50	29.40	29.20	29.35	29.30	29.00	29.20	29.00	28.90	28.60	28.60	28.88	29.70	-0.30
16.30	29.20	29.50	29.30	29.30	29.40	29.20	29.20	29.30	28.80	28.70	28.40	28.40	28.80	29.20	0.10
16.40	29.10	29.20	29.00	29.00	29.10	28.90	28.90	29.00	28.60	28.60	28.30	28.20	28.60	29.30	-0.10
16.50	29.50	29.20	29.00	29.00	29.10	29.00	28.90	29.00	28.60	28.60	28.30	28.30	28.62	29.70	-0.50
17.00	29.10	29.20	29.00	28.90	29.05	28.90	28.90	29.10	28.60	28.60	28.40	28.30	28.65	28.90	-0.20

ภาคผนวก ก.1 ผลการคำนวณสมรรถนะการทำความเย็นของท่อไนโตรเจนแบบตัวอย่างกรณีดินมีความชื้นน้อยที่สุด

Time	Dia. Tube (m)	Length (m)	Area (m ²)	Vel (m/s)	ra (kg/m ³)	Cp (J/kg-K)	m (N-s/m ²)	k (W/m-K)	n (m ² /s)	Pr	Re	Nu _d	h (W/m ² -K)	m (kg/s)	Q (W)	COP
7.00	0.08	12.50	0.005	4.05	1.18751	1006.728	0.00003095	0.02603	1.57400E-05	0.70949	20584.50	58.59	19.06	0.02417	80.31	0.67
7.10	0.08	12.50	0.005	4.05	1.18273	1006.772	0.00003101	0.02612	1.58500E-05	0.70919	20441.64	58.26	19.02	0.02408	60.60	0.51
7.20	0.08	12.50	0.005	4.05	1.18273	1006.772	0.00003101	0.02612	1.58500E-05	0.70919	20441.64	58.26	19.02	0.02408	70.30	0.59
7.30	0.08	12.50	0.005	4.05	1.18115	1006.787	0.00003102	0.02615	1.58900E-05	0.70909	20390.18	58.14	19.01	0.02405	62.94	0.52
7.40	0.08	12.50	0.005	4.05	1.17996	1006.798	0.00003104	0.02618	1.59200E-05	0.70901	20351.76	58.05	18.99	0.02402	58.04	0.48
7.50	0.08	12.50	0.005	4.05	1.17996	1006.798	0.00003104	0.02618	1.59200E-05	0.70901	20351.76	58.05	18.99	0.02402	58.04	0.48
8.00	0.08	12.50	0.005	4.05	1.17681	1006.828	0.00003107	0.02624	1.59900E-05	0.70881	20262.66	57.84	18.97	0.02396	41.01	0.34
8.10	0.08	12.50	0.005	4.05	1.17681	1006.828	0.00003107	0.02624	1.59900E-05	0.70881	20262.66	57.84	18.97	0.02396	43.42	0.36
8.20	0.08	12.50	0.005	4.05	1.17525	1006.843	0.00003109	0.02627	1.60300E-05	0.70871	20212.10	57.72	18.95	0.02393	31.32	0.26
8.30	0.08	12.50	0.005	4.05	1.17212	1006.872	0.00003113	0.02633	1.61000E-05	0.70851	20124.22	57.52	18.93	0.02386	19.22	0.16
8.40	0.08	12.50	0.005	4.05	1.17290	1006.865	0.00003112	0.02632	1.60900E-05	0.70856	20136.73	57.55	18.93	0.02388	21.64	0.18
8.50	0.08	12.50	0.005	4.05	1.17212	1006.872	0.00003113	0.02633	1.61000E-05	0.70851	20124.22	57.52	18.93	0.02386	16.82	0.14
9.00	0.08	12.50	0.005	4.05	1.17134	1006.880	0.00003114	0.02635	1.61200E-05	0.70846	20099.26	57.46	18.92	0.02385	12.00	0.10
9.10	0.08	12.50	0.005	4.05	1.17057	1006.887	0.00003115	0.02636	1.61400E-05	0.70841	20074.35	57.40	18.92	0.02383	9.60	0.08
9.20	0.08	12.50	0.005	4.05	1.17057	1006.887	0.00003115	0.02636	1.61400E-05	0.70841	20074.35	57.40	18.92	0.02383	7.20	0.06
9.30	0.08	12.50	0.005	4.05	1.16323	1006.957	0.00003124	0.02651	1.63200E-05	0.70794	19852.94	56.88	18.85	0.02368	-33.38	-0.28

ภาคผนวก ค.1 ผลการคำนวณสมรรถนะการทำความเย็นของท่อไส้คิลแบบตัวยู กรณีดินมีความชื้นน้อยที่สุด (ต่อ)

Time	Dia. Tube (m)	Length (m)	Area (m ²)	Vel (m/s)	ra (kg/m ³)	Cp (J/kg-K)	m (N-s/m ²)	k (W/m-K)	n (m ² /s)	Pr	Re	Nu _D	h (W/m ² -K)	m (kg/s)	Q (W)	COP
9.40	0.08	12.50	0.005	4.05	1.16055	1006.983	0.00003127	0.02656	1.63900E-05	0.70776	19768.15	56.68	18.82	0.02363	-45.20	-0.38
9.50	0.08	12.50	0.005	4.05	1.16323	1006.957	0.00003124	0.02651	1.63200E-05	0.70794	19852.94	56.88	18.85	0.02368	-28.61	-0.24
10.00	0.08	12.50	0.005	4.05	1.15979	1006.991	0.00003128	0.02658	1.64100E-05	0.70771	19744.06	56.63	18.81	0.02361	-52.31	-0.44
10.10	0.08	12.50	0.005	4.05	1.16400	1006.950	0.00003123	0.02649	1.63000E-05	0.70799	19877.30	56.94	18.86	0.02370	-28.63	-0.24
10.20	0.08	12.50	0.005	4.05	1.16669	1006.924	0.00003119	0.02644	1.62400E-05	0.70816	19950.74	57.11	18.88	0.02375	-9.57	-0.08
10.30	0.08	12.50	0.005	4.05	1.15410	1007.046	0.00003135	0.02670	1.65500E-05	0.70734	19577.04	56.24	18.77	0.02349	-82.81	-0.69
10.40	0.08	12.50	0.005	4.05	1.15296	1007.057	0.00003136	0.02672	1.65800E-05	0.70726	19541.62	56.15	18.75	0.02347	-87.46	-0.73
10.50	0.08	12.50	0.005	4.05	1.15561	1007.031	0.00003133	0.02667	1.65100E-05	0.70744	19624.47	56.35	18.78	0.02353	-66.33	-0.55
11.00	0.08	12.50	0.005	4.05	1.16400	1006.950	0.00003123	0.02649	1.63000E-05	0.70799	19877.30	56.94	18.86	0.02370	-19.09	-0.16
11.10	0.08	12.50	0.005	4.05	1.16400	1006.950	0.00003123	0.02649	1.63000E-05	0.70799	19877.30	56.94	18.86	0.02370	-26.25	-0.22
11.20	0.08	12.50	0.005	4.05	1.16055	1006.983	0.00003127	0.02656	1.63900E-05	0.70776	19768.15	56.68	18.82	0.02363	-45.20	-0.38
11.30	0.08	12.50	0.005	4.05	1.16323	1006.957	0.00003124	0.02651	1.63200E-05	0.70794	19852.94	56.88	18.85	0.02368	-23.85	-0.20
11.40	0.08	12.50	0.005	4.05	1.15523	1007.035	0.00003133	0.02667	1.65200E-05	0.70741	19612.59	56.32	18.78	0.02352	-73.42	-0.61
11.50	0.08	12.50	0.005	4.05	1.15561	1007.031	0.00003133	0.02667	1.65100E-05	0.70744	19624.47	56.35	18.78	0.02353	-66.33	-0.55
12.00	0.08	12.50	0.005	4.05	1.15675	1007.020	0.00003131	0.02664	1.64800E-05	0.70751	19660.19	56.43	18.79	0.02355	-64.03	-0.53
12.10	0.08	12.50	0.005	4.05	1.15637	1007.024	0.00003132	0.02665	1.64900E-05	0.70749	19648.27	56.40	18.79	0.02354	-61.64	-0.51

ภาคผนวก ค.1 ผลการคำนวณสมรรถนะการทำความเย็นของท่อไ媳น์แบบตัวยู กรณีดินมีความชื้นน้อยที่สุด (ต่อ)

Time	Dia. Tube (m)	Length (m)	Area (m ²)	Vel (m/s)	ra (kg/m ³)	Cp (J/kg-K)	m (N-s/m ²)	k (W/m-K)	n (m ² /s)	Pr	Re	Nu _b	h (W/m ² -K)	m (kg/s)	Q (W)	COP
12.20	0.08	12.50	0.005	4.05	1.15033	1007.083	0.00003139	0.02677	1.66400E-05	0.70709	19471.15	55.99	18.74	0.02342	-99.05	-0.83
12.30	0.08	12.50	0.005	4.05	1.15184	1007.068	0.00003137	0.02674	1.66100E-05	0.70719	19506.32	56.07	18.74	0.02345	-89.73	-0.75
12.40	0.08	12.50	0.005	4.05	1.14921	1007.094	0.00003141	0.02680	1.66700E-05	0.70701	19436.11	55.90	18.73	0.02340	-101.31	-0.84
12.50	0.08	12.50	0.005	4.05	1.15675	1007.020	0.00003131	0.02664	1.64800E-05	0.70751	19660.19	56.43	18.79	0.02355	-54.54	-0.45
13.00	0.08	12.50	0.005	4.05	1.15296	1007.057	0.00003136	0.02672	1.65800E-05	0.70726	19541.62	56.15	18.75	0.02347	-75.64	-0.63
13.10	0.08	12.50	0.005	4.05	1.15108	1007.076	0.00003138	0.02676	1.66200E-05	0.70714	19494.58	56.04	18.74	0.02343	-84.96	-0.71
13.20	0.08	12.50	0.005	4.05	1.15221	1007.065	0.00003137	0.02673	1.66000E-05	0.70721	19518.07	56.10	18.75	0.02346	-82.68	-0.69
13.30	0.08	12.50	0.005	4.05	1.15296	1007.057	0.00003136	0.02672	1.65800E-05	0.70726	19541.62	56.15	18.75	0.02347	-75.64	-0.63
13.40	0.08	12.50	0.005	4.05	1.14510	1007.135	0.00003146	0.02688	1.67800E-05	0.70674	19308.70	55.60	18.68	0.02331	-126.78	-1.06
13.50	0.08	12.50	0.005	4.05	1.15599	1007.028	0.00003132	0.02666	1.65000E-05	0.70746	19636.36	56.38	18.79	0.02353	-59.25	-0.49
14.00	0.08	12.50	0.005	4.05	1.14809	1007.105	0.00003142	0.02682	1.67000E-05	0.70694	19401.20	55.82	18.71	0.02337	-108.28	-0.90
14.10	0.08	12.50	0.005	4.05	1.15410	1007.046	0.00003135	0.02670	1.65500E-05	0.70734	19577.04	56.24	18.77	0.02349	-66.25	-0.55
14.20	0.08	12.50	0.005	4.05	1.15108	1007.076	0.00003138	0.02676	1.66200E-05	0.70714	19494.58	56.04	18.74	0.02343	-84.96	-0.71
14.30	0.08	12.50	0.005	4.05	1.15108	1007.076	0.00003138	0.02676	1.66200E-05	0.70714	19494.58	56.04	18.74	0.02343	-89.68	-0.75
14.40	0.08	12.50	0.005	4.05	1.15334	1007.053	0.00003136	0.02671	1.65700E-05	0.70729	19553.41	56.18	18.76	0.02348	-80.39	-0.67
14.50	0.08	12.50	0.005	4.05	1.15447	1007.042	0.00003134	0.02669	1.65400E-05	0.70736	19588.88	56.26	18.77	0.02350	-68.64	-0.57

ภาคผนวก ค.1 ผลการคำนวณสมรรถนะการทำความเย็นของท่อได้ดินแบบตัวยู กรณีดินมีความชื้นน้อยที่สุด (ต่อ)

Time	Dia. Tube (m)	Length (m)	Area (m ²)	Vel (m/s)	ra (kg/m ³)	Cp (J/kg-K)	m (N-s/m ²)	k (W/m-K)	n (m ² /s)	Pr	Re	Nu _D	h (W/m ² -K)	m (kg/s)	Q (W)	COP
15.00	0.08	12.50	0.005	4.05	1.15941	1006.994	0.00003128	0.02659	1.64200E-05	0.70769	19732.03	56.60	18.81	0.02360	-47.54	-0.40
15.10	0.08	12.50	0.005	4.05	1.15675	1007.020	0.00003131	0.02664	1.64800E-05	0.70751	19660.19	56.43	18.79	0.02355	-56.91	-0.47
15.20	0.08	12.50	0.005	4.05	1.15827	1007.005	0.0000313	0.02661	1.64400E-05	0.70761	19708.03	56.54	18.81	0.02358	-52.24	-0.44
15.30	0.08	12.50	0.005	4.05	1.15903	1006.998	0.00003129	0.02660	1.64300E-05	0.70766	19720.02	56.57	18.81	0.02359	-49.90	-0.42
15.40	0.08	12.50	0.005	4.05	1.16055	1006.983	0.00003127	0.02656	1.63900E-05	0.70776	19768.15	56.68	18.82	0.02363	-40.44	-0.34
15.50	0.08	12.50	0.005	4.05	1.16017	1006.987	0.00003127	0.02657	1.64000E-05	0.70774	19756.10	56.66	18.82	0.02362	-40.43	-0.34
16.00	0.08	12.50	0.005	4.05	1.16170	1006.972	0.00003125	0.02654	1.63600E-05	0.70784	19804.40	56.77	18.83	0.02365	-30.96	-0.26
16.10	0.08	12.50	0.005	4.05	1.16170	1006.972	0.00003125	0.02654	1.63600E-05	0.70784	19804.40	56.77	18.83	0.02365	-33.34	-0.28
16.20	0.08	12.50	0.005	4.05	1.16246	1006.965	0.00003125	0.02653	1.63400E-05	0.70789	19828.64	56.83	18.84	0.02366	-28.60	-0.24
16.30	0.08	12.50	0.005	4.05	1.16246	1006.965	0.00003125	0.02653	1.63400E-05	0.70789	19828.64	56.83	18.84	0.02366	-30.98	-0.26
16.40	0.08	12.50	0.005	4.05	1.16093	1006.979	0.00003126	0.02656	1.63800E-05	0.70779	19780.22	56.71	18.83	0.02363	-38.08	-0.32
16.50	0.08	12.50	0.005	4.05	1.15903	1006.998	0.00003129	0.02660	1.64300E-05	0.70766	19720.02	56.57	18.81	0.02359	-42.77	-0.36
17.00	0.08	12.50	0.005	4.05	1.15865	1007.002	0.00003129	0.02660	1.64400E-05	0.70764	19708.03	56.54	18.80	0.02359	-49.88	-0.42

ภาคผนวก ค.2 ผลการคำนวณสมรรถนะการทำความเย็นของท่อไtrดินแบบตัวยู กรณีดินมีความชื้นปานกลาง

Time	Dia. Tube (m)	Length (m)	Area (m ²)	Vel (m/s)	ra (kg/m ³)	Cp (J/kg-K)	m (N-s/m ²)	k (W/m-K)	n (m ² /s)	Pr	Re	Nu _d	h (W/m ² -K)	m (kg/s)	Q (W)	COP
7.00	0.08	12.50	0.005	4.05	1.18991	1006.706	0.00003092	0.02598	1.56800E-05	0.70964	20663.27	58.78	19.09	0.02422	112.18	0.93
7.10	0.08	12.50	0.005	4.05	1.18552	1006.746	0.00003097	0.02607	1.57800E-05	0.70936	20532.32	58.47	19.05	0.02413	97.19	0.81
7.20	0.08	12.50	0.005	4.05	1.18512	1006.750	0.00003098	0.02608	1.57900E-05	0.70934	20519.32	58.44	19.05	0.02413	97.16	0.81
7.30	0.08	12.50	0.005	4.05	1.18671	1006.735	0.00003096	0.02604	1.57500E-05	0.70944	20571.43	58.56	19.06	0.02416	107.01	0.89
7.40	0.08	12.50	0.005	4.05	1.18591	1006.743	0.00003097	0.02606	1.57700E-05	0.70939	20545.34	58.50	19.06	0.02414	102.08	0.85
7.50	0.08	12.50	0.005	4.05	1.18234	1006.776	0.00003101	0.02613	1.58600E-05	0.70916	20428.75	58.23	19.02	0.02407	82.39	0.69
8.00	0.08	12.50	0.005	4.05	1.18194	1006.780	0.00003101	0.02614	1.58700E-05	0.70914	20415.88	58.20	19.01	0.02406	87.21	0.73
8.10	0.08	12.50	0.005	4.05	1.18234	1006.776	0.00003101	0.02613	1.58600E-05	0.70916	20428.75	58.23	19.02	0.02407	84.81	0.71
8.20	0.08	12.50	0.005	4.05	1.18273	1006.772	0.00003101	0.02612	1.58500E-05	0.70919	20441.64	58.26	19.02	0.02408	84.84	0.71
8.30	0.08	12.50	0.005	4.05	1.17603	1006.835	0.00003108	0.02625	1.60100E-05	0.70876	20237.35	57.78	18.96	0.02394	53.03	0.44
8.40	0.08	12.50	0.005	4.05	1.17329	1006.861	0.00003112	0.02631	1.60800E-05	0.70859	20149.25	57.58	18.93	0.02389	31.26	0.26
8.50	0.08	12.50	0.005	4.05	1.17564	1006.839	0.00003109	0.02626	1.60200E-05	0.70874	20224.72	57.75	18.96	0.02393	48.19	0.40
9.00	0.08	12.50	0.005	4.05	1.16940	1006.898	0.00003116	0.02639	1.61700E-05	0.70834	20037.11	57.31	18.90	0.02381	9.59	0.08
9.10	0.08	12.50	0.005	4.05	1.17251	1006.868	0.00003113	0.02632	1.60900E-05	0.70854	20136.73	57.55	18.94	0.02387	31.24	0.26
9.20	0.08	12.50	0.005	4.05	1.17290	1006.865	0.00003112	0.02632	1.60900E-05	0.70856	20136.73	57.55	18.93	0.02388	36.06	0.30
9.30	0.08	12.50	0.005	4.05	1.17329	1006.861	0.00003112	0.02631	1.60800E-05	0.70859	20149.25	57.58	18.93	0.02389	38.48	0.32

ภาคผนวก ค.1 ผลการคำนวณสมรรถนะการทำความเย็นของท่อไดคินแบบตัวยู กรณีดินมีความชื้นปานกลาง (ต่อ)

Time	Dia. Tube	Length	Area	Vel	ra	Cp	m	k	n	Pr	Re	Nu _D	h	m	Q	COP
	(m)	(m)	(m ²)	(m/s)	(kg/m ³)	(J/kg-K)	(N-s/m ²)	(W/m-K)	(m ² /s)				(W/m ² -K)	(kg/s)	(W)	
9.40	0.08	12.50	0.005	4.05	1.17485	1006.846	0.00003111	0.02628	1.60400E-05	0.70869	20199.50	57.69	18.95	0.02392	43.35	0.36
9.50	0.08	12.50	0.005	4.05	1.17095	1006.883	0.00003114	0.02635	1.61300E-05	0.70844	20086.79	57.43	18.92	0.02384	19.20	0.16
10.00	0.08	12.50	0.005	4.05	1.16979	1006.894	0.00003116	0.02638	1.61600E-05	0.70836	20049.50	57.34	18.91	0.02381	16.78	0.14
10.10	0.08	12.50	0.005	4.05	1.16785	1006.913	0.00003118	0.02642	1.62100E-05	0.70824	19987.66	57.20	18.89	0.02377	4.79	0.04
10.20	0.08	12.50	0.005	4.05	1.16055	1006.983	0.00003127	0.02656	1.63900E-05	0.70776	19768.15	56.68	18.82	0.02363	-30.93	-0.26
10.30	0.08	12.50	0.005	4.05	1.15903	1006.998	0.00003129	0.02660	1.64300E-05	0.70766	19720.02	56.57	18.81	0.02359	-40.39	-0.34
10.40	0.08	12.50	0.005	4.05	1.16592	1006.931	0.0000312	0.02646	1.62600E-05	0.70811	19926.20	57.06	18.87	0.02374	-2.39	-0.02
10.50	0.08	12.50	0.005	4.05	1.16017	1006.987	0.00003127	0.02657	1.64000E-05	0.70774	19756.10	56.66	18.82	0.02362	-40.43	-0.34
11.00	0.08	12.50	0.005	4.05	1.16170	1006.972	0.00003125	0.02654	1.63600E-05	0.70784	19804.40	56.77	18.83	0.02365	-23.81	-0.20
11.10	0.08	12.50	0.005	4.05	1.15941	1006.994	0.00003128	0.02659	1.64200E-05	0.70769	19732.03	56.60	18.81	0.02360	-35.65	-0.30
11.20	0.08	12.50	0.005	4.05	1.15941	1006.994	0.00003128	0.02659	1.64200E-05	0.70769	19732.03	56.60	18.81	0.02360	-40.41	-0.34
11.30	0.08	12.50	0.005	4.05	1.16017	1006.987	0.00003127	0.02657	1.64000E-05	0.70774	19756.10	56.66	18.82	0.02362	-28.54	-0.24
11.40	0.08	12.50	0.005	4.05	1.15903	1006.998	0.00003129	0.02660	1.64300E-05	0.70766	19720.02	56.57	18.81	0.02359	-38.02	-0.32
11.50	0.08	12.50	0.005	4.05	1.15827	1007.005	0.0000313	0.02661	1.64400E-05	0.70761	19708.03	56.54	18.81	0.02358	-37.99	-0.32
12.00	0.08	12.50	0.005	4.05	1.15865	1007.002	0.00003129	0.02660	1.64400E-05	0.70764	19708.03	56.54	18.80	0.02359	-40.38	-0.34
12.10	0.08	12.50	0.005	4.05	1.15789	1007.009	0.0000313	0.02662	1.64500E-05	0.70759	19696.05	56.52	18.80	0.02357	-45.10	-0.38

ภาคผนวก ค.1 ผลการคำนวณสมรรถนะการทำความเย็นของท่อใต้ดินแบบตัวยู กรณีดินมีความชื้นปานกลาง (ต่อ)

Time	Dia. Tube	Length	Area	Vel	ra	Cp	m	k	n	Pr	Re	Nu _d	h	m	Q	COP
	(m)	(m)	(m ²)	(m/s)	(kg/m ³)	(J/kg-K)	(N-s/m ²)	(W/m-K)	(m ² /s)				(W/m ² -K)	(kg/s)	(W)	
12.20	0.08	12.50	0.005	4.05	1.15523	1007.035	0.00003133	0.02667	1.65200E-05	0.70741	19612.59	56.32	18.78	0.02352	-56.84	-0.47
12.30	0.08	12.50	0.005	4.05	1.15827	1007.005	0.0000313	0.02661	1.64400E-05	0.70761	19708.03	56.54	18.81	0.02358	-35.62	-0.30
12.40	0.08	12.50	0.005	4.05	1.15751	1007.013	0.00003131	0.02663	1.64600E-05	0.70756	19684.08	56.49	18.80	0.02356	-42.71	-0.36
12.50	0.08	12.50	0.005	4.05	1.15675	1007.020	0.00003131	0.02664	1.64800E-05	0.70751	19660.19	56.43	18.79	0.02355	-47.43	-0.40
13.00	0.08	12.50	0.005	4.05	1.15523	1007.035	0.00003133	0.02667	1.65200E-05	0.70741	19612.59	56.32	18.78	0.02352	-52.10	-0.43
13.10	0.08	12.50	0.005	4.05	1.15372	1007.050	0.00003135	0.02670	1.65600E-05	0.70731	19565.22	56.21	18.76	0.02349	-56.77	-0.47
13.20	0.08	12.50	0.005	4.05	1.15221	1007.065	0.00003137	0.02673	1.66000E-05	0.70721	19518.07	56.10	18.75	0.02346	-63.78	-0.53
13.30	0.08	12.50	0.005	4.05	1.15372	1007.050	0.00003135	0.02670	1.65600E-05	0.70731	19565.22	56.21	18.76	0.02349	-56.77	-0.47
13.40	0.08	12.50	0.005	4.05	1.15447	1007.042	0.00003134	0.02669	1.65400E-05	0.70736	19588.88	56.26	18.77	0.02350	-49.70	-0.41
13.50	0.08	12.50	0.005	4.05	1.15485	1007.039	0.00003134	0.02668	1.65300E-05	0.70739	19600.73	56.29	18.77	0.02351	-42.62	-0.36
14.00	0.08	12.50	0.005	4.05	1.15184	1007.068	0.00003137	0.02674	1.66100E-05	0.70719	19506.32	56.07	18.74	0.02345	-61.40	-0.51
14.10	0.08	12.50	0.005	4.05	1.15372	1007.050	0.00003135	0.02670	1.65600E-05	0.70731	19565.22	56.21	18.76	0.02349	-54.40	-0.45
14.20	0.08	12.50	0.005	4.05	1.15108	1007.076	0.00003138	0.02676	1.66200E-05	0.70714	19494.58	56.04	18.74	0.02343	-68.44	-0.57
14.30	0.08	12.50	0.005	4.05	1.15523	1007.035	0.00003133	0.02667	1.65200E-05	0.70741	19612.59	56.32	18.78	0.02352	-42.63	-0.36
14.40	0.08	12.50	0.005	4.05	1.15599	1007.028	0.00003132	0.02666	1.65000E-05	0.70746	19636.36	56.38	18.79	0.02353	-40.29	-0.34
14.50	0.08	12.50	0.005	4.05	1.15827	1007.005	0.0000313	0.02661	1.64400E-05	0.70761	19708.03	56.54	18.81	0.02358	-33.24	-0.28

ภาคผนวก ค.1 ผลการคำนวณสมรรถนะการทำความเย็นของท่อไส้ดินแบบตัวยู กรณีดินมีความชื้นปานกลาง (ต่อ)

Time	Dia. Tube	Length	Area	Vel	ra	Cp	m	k	n	Pr	Re	Nu _D	h	m	Q	COP
	(m)	(m)	(m ²)	(m/s)	(kg/m ³)	(J/kg-K)	(N-s/m ²)	(W/m-K)	(m ² /s)				(W/m ² -K)	(kg/s)	(W)	
15.00	0.08	12.50	0.005	4.05	1.15827	1007.005	0.0000313	0.02661	1.64400E-05	0.70761	19708.03	56.54	18.81	0.02358	-30.87	-0.26
15.10	0.08	12.50	0.005	4.05	1.15979	1006.991	0.00003128	0.02658	1.64100E-05	0.70771	19744.06	56.63	18.81	0.02361	-30.91	-0.26
15.20	0.08	12.50	0.005	4.05	1.16055	1006.983	0.00003127	0.02656	1.63900E-05	0.70776	19768.15	56.68	18.82	0.02363	-23.79	-0.20
15.30	0.08	12.50	0.005	4.05	1.16093	1006.979	0.00003126	0.02656	1.63800E-05	0.70779	19780.22	56.71	18.83	0.02363	-23.80	-0.20
15.40	0.08	12.50	0.005	4.05	1.16208	1006.968	0.00003125	0.02653	1.63500E-05	0.70786	19816.51	56.80	18.84	0.02366	-14.29	-0.12
15.50	0.08	12.50	0.005	4.05	1.16285	1006.961	0.00003124	0.02652	1.63300E-05	0.70791	19840.78	56.86	18.85	0.02367	-14.30	-0.12
16.00	0.08	12.50	0.005	4.05	1.16093	1006.979	0.00003126	0.02656	1.63800E-05	0.70779	19780.22	56.71	18.83	0.02363	-23.80	-0.20
16.10	0.08	12.50	0.005	4.05	1.15827	1007.005	0.0000313	0.02661	1.64400E-05	0.70761	19708.03	56.54	18.81	0.02358	-40.37	-0.34
16.20	0.08	12.50	0.005	4.05	1.15865	1007.002	0.00003129	0.02660	1.64400E-05	0.70764	19708.03	56.54	18.80	0.02359	-28.50	-0.24
16.30	0.08	12.50	0.005	4.05	1.15789	1007.009	0.0000313	0.02662	1.64500E-05	0.70759	19696.05	56.52	18.80	0.02357	-30.86	-0.26
16.40	0.08	12.50	0.005	4.05	1.16093	1006.979	0.00003126	0.02656	1.63800E-05	0.70779	19780.22	56.71	18.83	0.02363	-19.04	-0.16
16.50	0.08	12.50	0.005	4.05	1.16093	1006.979	0.00003126	0.02656	1.63800E-05	0.70779	19780.22	56.71	18.83	0.02363	-16.66	-0.14
17.00	0.08	12.50	0.005	4.05	1.16323	1006.957	0.00003124	0.02651	1.63200E-05	0.70794	19852.94	56.88	18.85	0.02368	-11.92	-0.10

ภาคผนวก ค.1 ผลการคำนวณสมรรถนะการทำความเย็นของท่อไนโตรเจนแบบตัวยู กรณีดินมีความชื้นมากที่สุด

Time	Dia. Tube	Length	Area	Vel	ra	Cp	m	k	n	Pr	Re	Nu _D	h	m	Q	COP
	(m)	(m)	(m ²)	(m/s)	(kg/m ³)	(J/kg-K)	(N-s/m ²)	(W/m-K)	(m ² /s)				(W/m ² -K)	(kg/s)	(W)	
7.00	0.08	12.50	0.005	4.05	1.19112	1006.695	0.00003091	0.02596	1.56500E-05	0.70971	20702.88	58.87	19.10	0.02425	97.64	0.81
7.10	0.08	12.50	0.005	4.05	1.19032	1006.702	0.00003092	0.02597	1.56700E-05	0.70966	20676.45	58.81	19.09	0.02423	100.02	0.83
7.20	0.08	12.50	0.005	4.05	1.18991	1006.706	0.00003092	0.02598	1.56800E-05	0.70964	20663.27	58.78	19.09	0.02422	95.11	0.79
7.30	0.08	12.50	0.005	4.05	1.18911	1006.713	0.00003093	0.02600	1.57000E-05	0.70959	20636.94	58.71	19.08	0.02421	92.61	0.77
7.40	0.08	12.50	0.005	4.05	1.18911	1006.713	0.00003093	0.02600	1.57000E-05	0.70959	20636.94	58.71	19.08	0.02421	95.04	0.79
7.50	0.08	12.50	0.005	4.05	1.18991	1006.706	0.00003092	0.02598	1.56800E-05	0.70964	20663.27	58.78	19.09	0.02422	92.67	0.77
8.00	0.08	12.50	0.005	4.05	1.18911	1006.713	0.00003093	0.02600	1.57000E-05	0.70959	20636.94	58.71	19.08	0.02421	87.73	0.73
8.10	0.08	12.50	0.005	4.05	1.18871	1006.717	0.00003094	0.02601	1.57100E-05	0.70956	20623.81	58.68	19.08	0.02420	87.70	0.73
8.20	0.08	12.50	0.005	4.05	1.18871	1006.717	0.00003094	0.02601	1.57100E-05	0.70956	20623.81	58.68	19.08	0.02420	82.83	0.69
8.30	0.08	12.50	0.005	4.05	1.18671	1006.735	0.00003096	0.02604	1.57500E-05	0.70944	20571.43	58.56	19.06	0.02416	77.83	0.65
8.40	0.08	12.50	0.005	4.05	1.18711	1006.732	0.00003095	0.02604	1.57500E-05	0.70946	20571.43	58.56	19.06	0.02417	77.85	0.65
8.50	0.08	12.50	0.005	4.05	1.18552	1006.746	0.00003097	0.02607	1.57800E-05	0.70936	20532.32	58.47	19.05	0.02413	70.46	0.59
9.00	0.08	12.50	0.005	4.05	1.18591	1006.743	0.00003097	0.02606	1.57700E-05	0.70939	20545.34	58.50	19.06	0.02414	70.48	0.59
9.10	0.08	12.50	0.005	4.05	1.18552	1006.746	0.00003097	0.02607	1.57800E-05	0.70936	20532.32	58.47	19.05	0.02413	70.46	0.59
9.20	0.08	12.50	0.005	4.05	1.18392	1006.761	0.00003099	0.02610	1.58200E-05	0.70926	20480.40	58.35	19.04	0.02410	63.09	0.53
9.30	0.08	12.50	0.005	4.05	1.18273	1006.772	0.00003101	0.02612	1.58500E-05	0.70919	20441.64	58.26	19.02	0.02408	58.18	0.48

ภาคผนวก ค.1 ผลการคำนวณสมรรถนะการทำความเย็นของท่อไนโตรเจนแบบตัวอย่างกรณีดินมีความชื้นมากที่สุด (ต่อ)

Time	Dia. Tube	Length	Area	Vel	ra	Cp	m	k	n	Pr	Re	Nu _D	h	m	Q	COP
	(m)	(m)	(m ²)	(m/s)	(kg/m ³)	(J/kg-K)	(N-s/m ²)	(W/m-K)	(m ² /s)				(W/m ² -K)	(kg/s)	(W)	
9.40	0.08	12.50	0.005	4.05	1.18353	1006.765	0.000031	0.02611	1.58300E-05	0.70924	20467.47	58.32	19.03	0.02409	58.22	0.49
9.50	0.08	12.50	0.005	4.05	1.18075	1006.791	0.00003103	0.02616	1.59000E-05	0.70906	20377.36	58.11	19.00	0.02404	45.98	0.38
10.00	0.08	12.50	0.005	4.05	1.18234	1006.776	0.00003101	0.02613	1.58600E-05	0.70916	20428.75	58.23	19.02	0.02407	55.73	0.46
10.10	0.08	12.50	0.005	4.05	1.17996	1006.798	0.00003104	0.02618	1.59200E-05	0.70901	20351.76	58.05	18.99	0.02402	38.70	0.32
10.20	0.08	12.50	0.005	4.05	1.17878	1006.809	0.00003105	0.02620	1.59400E-05	0.70894	20326.22	57.99	18.99	0.02400	33.82	0.28
10.30	0.08	12.50	0.005	4.05	1.17721	1006.824	0.00003107	0.02623	1.59800E-05	0.70884	20275.34	57.87	18.98	0.02397	28.95	0.24
10.40	0.08	12.50	0.005	4.05	1.17799	1006.817	0.00003106	0.02621	1.59600E-05	0.70889	20300.75	57.93	18.98	0.02398	33.80	0.28
10.50	0.08	12.50	0.005	4.05	1.17642	1006.831	0.00003108	0.02625	1.60000E-05	0.70879	20250.00	57.81	18.97	0.02395	26.52	0.22
11.00	0.08	12.50	0.005	4.05	1.17603	1006.835	0.00003108	0.02625	1.60100E-05	0.70876	20237.35	57.78	18.96	0.02394	26.52	0.22
11.10	0.08	12.50	0.005	4.05	1.17407	1006.854	0.00003111	0.02629	1.60600E-05	0.70864	20174.35	57.64	18.94	0.02390	12.03	0.10
11.20	0.08	12.50	0.005	4.05	1.17642	1006.831	0.00003108	0.02625	1.60000E-05	0.70879	20250.00	57.81	18.97	0.02395	26.52	0.22
11.30	0.08	12.50	0.005	4.05	1.17564	1006.839	0.00003109	0.02626	1.60200E-05	0.70874	20224.72	57.75	18.96	0.02393	21.69	0.18
11.40	0.08	12.50	0.005	4.05	1.17290	1006.865	0.00003112	0.02632	1.60900E-05	0.70856	20136.73	57.55	18.93	0.02388	7.21	0.06
11.50	0.08	12.50	0.005	4.05	1.17095	1006.883	0.00003114	0.02635	1.61300E-05	0.70844	20086.79	57.43	18.92	0.02384	-2.40	-0.02
12.00	0.08	12.50	0.005	4.05	1.16901	1006.902	0.00003117	0.02639	1.61800E-05	0.70831	20024.72	57.29	18.90	0.02380	-14.38	-0.12
12.10	0.08	12.50	0.005	4.05	1.16477	1006.942	0.00003122	0.02648	1.62800E-05	0.70804	19901.72	57.00	18.87	0.02371	-35.81	-0.30

ภาคผนวก ค.1 ผลการคำนวณสมรรถนะการทำความเย็นของท่อไถดินแบบตัวยู กรณีดินมีความชื้นมากที่สุด (ต่อ)

Time	Dia. Tube (m)	Length (m)	Area (m ²)	Vel (m/s)	ra (kg/m ³)	Cp (J/kg-K)	m (N-s/m ²)	k (W/m-K)	n (m ² /s)	Pr	Re	Nu _D	h (W/m ² -K)	m (kg/s)	Q (W)	COP
12.20	0.08	12.50	0.005	4.05	1.16515	1006.939	0.00003121	0.02647	1.62700E-05	0.70806	19913.95	57.03	18.87	0.02372	-33.44	-0.28
12.30	0.08	12.50	0.005	4.05	1.16940	1006.898	0.00003116	0.02639	1.61700E-05	0.70834	20037.11	57.31	18.90	0.02381	-4.79	-0.04
12.40	0.08	12.50	0.005	4.05	1.16708	1006.920	0.00003119	0.02643	1.62300E-05	0.70819	19963.03	57.14	18.88	0.02376	-23.92	-0.20
12.50	0.08	12.50	0.005	4.05	1.16669	1006.924	0.00003119	0.02644	1.62400E-05	0.70816	19950.74	57.11	18.88	0.02375	-19.13	-0.16
13.00	0.08	12.50	0.005	4.05	1.16747	1006.917	0.00003119	0.02642	1.62200E-05	0.70821	19975.34	57.17	18.88	0.02377	-16.75	-0.14
13.10	0.08	12.50	0.005	4.05	1.16515	1006.939	0.00003121	0.02647	1.62700E-05	0.70806	19913.95	57.03	18.87	0.02372	-28.66	-0.24
13.20	0.08	12.50	0.005	4.05	1.16438	1006.946	0.00003122	0.02649	1.62900E-05	0.70801	19889.50	56.97	18.86	0.02370	-35.80	-0.30
13.30	0.08	12.50	0.005	4.05	1.16132	1006.976	0.00003126	0.02655	1.63700E-05	0.70781	19792.30	56.74	18.83	0.02364	-54.75	-0.46
13.40	0.08	12.50	0.005	4.05	1.16592	1006.931	0.0000312	0.02646	1.62600E-05	0.70811	19926.20	57.06	18.87	0.02374	-21.51	-0.18
13.50	0.08	12.50	0.005	4.05	1.16554	1006.935	0.00003121	0.02646	1.62600E-05	0.70809	19926.20	57.05	18.87	0.02373	-28.67	-0.24
14.00	0.08	12.50	0.005	4.05	1.16669	1006.924	0.00003119	0.02644	1.62400E-05	0.70816	19950.74	57.11	18.88	0.02375	-23.92	-0.20
14.10	0.08	12.50	0.005	4.05	1.16554	1006.935	0.00003121	0.02646	1.62600E-05	0.70809	19926.20	57.05	18.87	0.02373	-28.67	-0.24
14.20	0.08	12.50	0.005	4.05	1.16554	1006.935	0.00003121	0.02646	1.62600E-05	0.70809	19926.20	57.05	18.87	0.02373	-21.50	-0.18
14.30	0.08	12.50	0.005	4.05	1.16477	1006.942	0.00003122	0.02648	1.62800E-05	0.70804	19901.72	57.00	18.87	0.02371	-31.04	-0.26
14.40	0.08	12.50	0.005	4.05	1.16170	1006.972	0.00003125	0.02654	1.63600E-05	0.70784	19804.40	56.77	18.83	0.02365	-42.87	-0.36
14.50	0.08	12.50	0.005	4.05	1.16323	1006.957	0.00003124	0.02651	1.63200E-05	0.70794	19852.94	56.88	18.85	0.02368	-35.77	-0.30

ภาคผนวก ค.1 ผลการคำนวณสมรรถนะการทำความเย็นของท่อไนโตรเจนแบบตัวழู กรณีดินมีความชื้นมากที่สุด (ต่อ)

Time	Dia. Tube (m)	Length (m)	Area (m ²)	Vel (m/s)	ra (kg/m ³)	Cp (J/kg-K)	m (N-s/m ²)	k (W/m-K)	n (m ² /s)	Pr	Re	Nu _p	h (W/m ² -K)	m (kg/s)	Q (W)	COP
15.00	0.08	12.50	0.005	4.05	1.16246	1006.965	0.00003125	0.02653	1.63400E-05	0.70789	19828.64	56.83	18.84	0.02366	-38.13	-0.32
15.10	0.08	12.50	0.005	4.05	1.16208	1006.968	0.00003125	0.02653	1.63500E-05	0.70786	19816.51	56.80	18.84	0.02366	-40.50	-0.34
15.20	0.08	12.50	0.005	4.05	1.16246	1006.965	0.00003125	0.02653	1.63400E-05	0.70789	19828.64	56.83	18.84	0.02366	-35.74	-0.30
15.30	0.08	12.50	0.005	4.05	1.16400	1006.950	0.00003123	0.02649	1.63000E-05	0.70799	19877.30	56.94	18.86	0.02370	-31.02	-0.26
15.40	0.08	12.50	0.005	4.05	1.16093	1006.979	0.00003126	0.02656	1.63800E-05	0.70779	19780.22	56.71	18.83	0.02363	-40.46	-0.34
15.50	0.08	12.50	0.005	4.05	1.16400	1006.950	0.00003123	0.02649	1.63000E-05	0.70799	19877.30	56.94	18.86	0.02370	-26.25	-0.22
16.00	0.08	12.50	0.005	4.05	1.16592	1006.931	0.0000312	0.02646	1.62600E-05	0.70811	19926.20	57.06	18.87	0.02374	-19.12	-0.16
16.10	0.08	12.50	0.005	4.05	1.16901	1006.902	0.00003117	0.02639	1.61800E-05	0.70831	20024.72	57.29	18.90	0.02380	-7.19	-0.06
16.20	0.08	12.50	0.005	4.05	1.16940	1006.898	0.00003116	0.02639	1.61700E-05	0.70834	20037.11	57.31	18.90	0.02381	-4.79	-0.04
16.30	0.08	12.50	0.005	4.05	1.17057	1006.887	0.00003115	0.02636	1.61400E-05	0.70841	20074.35	57.40	18.92	0.02383	0.00	0.00
16.40	0.08	12.50	0.005	4.05	1.17095	1006.883	0.00003114	0.02635	1.61300E-05	0.70844	20086.79	57.43	18.92	0.02384	-4.80	-0.04
16.50	0.08	12.50	0.005	4.05	1.16940	1006.898	0.00003116	0.02639	1.61700E-05	0.70834	20037.11	57.31	18.90	0.02381	-11.99	-0.10
17.00	0.08	12.50	0.005	4.05	1.17095	1006.883	0.00003114	0.02635	1.61300E-05	0.70844	20086.79	57.43	18.92	0.02384	-4.80	-0.04